

بِسْمِ اللّٰهِ الرَّحْمٰنِ الرَّحِيْمِ



دانشگاه صنعتی شاهرود

دانشکده : فیزیک

گروه: فیزیک هسته ای

معادلات دی کی پی و سالپی تر بدون اسپین در مدل هسته ای پتانسیل

دانشجو : صابر زرین کمر

استاد راهنما : پروفسور علی اکبر رجبی

رساله دکتری جهت اخذ مدرک دکتری

سال و ماه انتشار : بهمن ۹۱

پیوست نشماره ۷
دانشگاه صنعتی شاھروود

دانشکده: فیزیک

گروه: هسته‌ای

رساله دکتری

معادلات دی کی بی و سالپیتر بدون اسپین در مدل هسته ای پتانسیل

تاریخ ۱۳۹۱/۱۱/۲۴ توسط کمیته تخصصی زیر جهت اخذ رساله دکتری مورد ارزیابی و با درجه کاربر مورد برش قرار گرفت.

امضاء	اساتید مشاور	امضاء	اساتید راهنمای
	نام و نام خانوادگی: نام و نام خانوادگی:		نام و نام خانوادگی: علی اکبر رجبی
	نام و نام خانوادگی:		نام و نام خانوادگی:

امضاء	نماينده تحصيلات تكميلي	امضاء	اساتيد داور
	نام و نام خانوادگی: دکتر حسین مهریان		نام و نام خانوادگی: دکتر حسین مودیان
	نام و نام خانوادگی: دکتر حسین توکلی عنبران		نام و نام خانوادگی: دکتر حسین مهریان
			نام و نام خانوادگی: دکتر علی اصغر مولوی

به پدر و مادرم

برای بیچ و امیدهای سال‌های شان

به همسرم

برای شکری‌بایی و مهربانی بی‌حدش

به خواهر و برادرم

که دنیا‌ای منند.

از

اساتی دم، که فراتر از واژه مدبی و نشانم، پروفسور علی اکبر رجبی و دکتر حسن حسن آبادی

اساتی د دانشکده فیزیک و به ویژه : دکتر حسین موحدیان، دکتر حسین عشقی، دکتر سعید حسامی

دوستان بزرگوارم، آقایان مهندس حامد رحیم اف، مهندس علی رحمانی ، مهدی کمالی ، ابراهیم می رمنظری،

سرکار خانم ها سعی ه حسن آبادی، بنت الهدی ای از زلولو، الهام مقصودی، سعی ه رحمانی، الهام جوادی منش

و خانواده صبورم، که وجودشان لبخند خوب خداست،

ممونم

دانشجو تایی د می نماید که مطالب مندرج در این رساله نتیجه تحقیقات خودش می باشد و در صورت استفاده از نتایج دیگران مرجع آن را ذکر نموده است.

کلیه حقوق مادی مترتب از نتایج مطالعات ، آزمایشات و نوآوری ناشی از تحقیق موضوع این رساله متعلق به دانشگاه صنعتی شاهرود می باشد.

ماه و سال

فهرست مطالب

۱	فصل یک
۲۱	مقدمه
۵	فصل دو
۵	معادلات سالپیتر بدون اسپین و دی-کی-پی
۵	۱-۲ معادله سالپیتر بدون اسپین
۷	۱-۱-۲ حالت خاص جرم های مساوی
۷	۲-۱-۲ معادله سالپیتر بدون اسپین (تک جسمی)
۸	۳-۱-۲ کرانهای بالای تحلیلی
۹	۴-۱-۲ نامساوی های عملگری
۹	۵-۱-۲ کران شرودینگری
۱۰	۶-۱-۲ یک کران مجدوری
۱۱	۷-۱-۲ تعمیم نتایج
۱۲	۸-۱-۲ روش وردشی
۱۴	۲-۲ معادله دی-کی-پی
۱۹	فصل سه
۱۹	روشهای تحلیلی
۲۰	۱-۳ مقدمه ای بر مکانیک کوانتمی ابرتقارنی
۲۳	۱-۳-۱ معادله دیراک را در حضور تقارن های اسپینی و شبه اسپینی
۲۴	۲-۱-۳ حد تقارن اسپینی
۲۶	۳-۱-۳ حد تقارن شبه اسپینی
۲۶	۲-۳ روش NU
۲۷	۱-۲-۳ فرم پارامتریک روش
۲۹	۳-۳ روش حدس زدن
۳۱	فصل چهار
۳۱	معادله سالپیتر بدون اسپین تحت برهمنکنندهای مختلف
۳۲	۱-۴ پتانسیل نمایی

۳۵	۲-۴ پتانسیل یوکاو
۳۸	۳-۴ پتانسیل وودز-ساکسون
۴۳	۴-۴ سالپیتر برای هالسن
۴۵	
	۴-۵ معادله سالپیتر تحت برهمنکنش کولنی هسته نرم
۴۷	۱-۵-۴ حالت خاص $f=0$
۵۲	۶-۴ کرنل
۵۴	فصل پنج
۵۴	معادله دی-کی-پی تحت برهمنکنشهای مختلف
۵۵	۱-۵ دی کی پی تحت پتانسیل نمایی
۵۶	۲-۵ پتانسیل یوکاو
۵۵	۱-۲-۵ حالتهای مقید
۵۵	۳-۵ دی کی پی تحت وودز-ساکسون
۵۶	۴-۵ معادله دی کی پی تحت یک برهمنکنش برداری هالسن
۶۲	۵-۵ معادله دی کی پی در حضور برهمنکنش اسکالر کولنی
۶۴	۶-۵ معادله دی کی پی تحت پتانسیلمهای اسکالار و برداری کرنل
۷۰	۷-۵ دی کی پی تحت دنگ فن
۷۵	فصل شش
۷۶	بررسی
۷۷	۱-۶ بررسی
۷۸	جدول ۱.۶. مشخصات مزون B به ازای $\mu = 0.318$
۷۹	جدول ۳.۶. مشخصات مزون D به ازای $\mu = 0.368$
۸۰	فصل هفت
۸۰	نتیجه گیری و پیشنهادات
۸۲	منابع و مأخذ
	چکیده انگلیسی

b

1. S. Zarrinkamar, A. A. Rajabi and H. Hassanabadi, Dirac equation for the harmonic scalar and vector potentials and linear plus coulomb-like tensor potential; the SUSY approach, *Ann. Phys. (New York)* 325 (2010) 1720.
2. S. Zarrinkamar, A. A. Rajabi and H. Hassanabadi, Dirac equation in the presence of coulomb and linear terms in $(1 + 1)$ dimensions; the supersymmetric approach, *Ann. Phys. (New York)* 325 (2010) 2522.
3. S. Zarrinkamar, A. A. Rajabi, H. Hassanabadi and H. Rahimov, Analytical treatment of the two-body spinless Salpeter equation with the Hulthén potential *Phys. Scr.* 84 (2011) 065008.
4. B. H. Yazarloo, H. Hassanabadi, S. Zarrinkamar and A. A. Rajabi, Duffin-Kemmer-Petiau equation under a scalar Coulomb interaction, *Phys. Rev. C* 84 (2011) 064003.
5. S. Zarrinkamar, A. A. Rajabi, H. Hassanabadi and H. Rahimov, DKP Equation Under a Vector HULTHÉN-TYPE Potential: AN Approximate Solution, *Mod. Phys. Lett. A* 26 (2011) 1621.
6. S. Hassanabadi, A. A. Rajabi and S. Zarrinkamar, Cornell and Kratzer Potentials Within the Semi-relativistic Treatment, *Mod. Phys. Lett. A* 27 (2012) 1250057.
7. S. Zarrinkamar, A. A. Rajabi and H. Hassanabadi, Solutions of the Two-Body Salpeter Equation Under an Exponential Potential for Any l-State, *Few-Body Sys.* 52 (2012) 165.
8. S. Hassanabadi, A. A. Rajabi, B. H. Yazarloo, S. Zarrinkamar and H. Hassanabadi, Quasi-Analytical Solutions of DKP Equation under the Deng-Fan Interaction, *AHEP* 804652 (2012) doi:10.1155/2012/804652.
9. S. Hassanabadi, A. A. Rajabi, S. Zarrinkamar and H. Hassanabadi, DKP equation under vector and scalar Cornell interactions, *Phys. Elem. Part. Nucl. Lett. Theor.* 10 (2013) 28.

10. S. Zarrinkamar, A. A. Rajabi, B. H. Yazarloo and H. Hassanabadi, the Soft-core Coulomb potential in the semi-relativistic two-body basis, *Few-Body Sys.* (2013) 10.1007/s00601-012-0527-7.
11. S. Zarrinkamar, A. A. Rajabi, B. H. Yazarloo and H. Hassanabadi, An approximate solution of the DKP equation under the Hulthén vector potential, *Chin. Phys. C* (2013).
12. H. Hassanabadi, B. H. Yazarloo, S. Zarrinkamar, A. A. Rajabi, DKP equation under scalar and vector Cornell Interactions, accepted in *Phys. Elem. Part. Nucl. Lett.* (2013).
13. S. Zarrinkamar, A. A. Rajabi and H. Hassanabadi, The exponential potential within a semi-relativistic two-body formulation via Nikiforov-Uvarov technique, 15th physical Chemistry conference, Tehran university, Tehran, Iran (2012).
14. S. Zarrinkamar, A. A. Rajabi and H. Hassanabadi, The Schrodinger Equation under a q-deformed Morse plus Coulomb interaction, 15th Physical Chemistry Conference, Tehran University, Tehran (2012).

۱۵- زرین کمر، صابر، رجبی، علی اکبر، حسن ابادی، حسن : معادله دی کی پس تحت یک پتانسیل برداری نمایی، دومین کنفرانس سالیانه ذرات بنیادی و میدان ها ، دانشگاه سمنان، سمنان ۱۳۹۰.

چکی‌ده فارسی

مدل پتانسیل کماکان یکی از مدل‌های مورد بحث در فیزیک هسته‌ای نظری و ذرات بنیادی است. مهم‌ترین موضوع، و به نوعی دشوارترین قسمت کار، در این مدل پیدا کردن جواب‌های معادله مورد بررسی تحت یک پتانسیل موفق است. تاکنون کارهای بسیار زیادی بر روی معادلات شناخته شده مکانیک کوانتومی غیرنسبیتی و نسبیتی، و به طور مشخص معادلات شرودی‌نگر، دیراک و کلین-گوردون، انجام شده است. در این رساله دو معادله دی-کی-پی و سالپی‌تر بدون اسپین را در نظر می-گیریم که علی‌رغم ساختار جذاب‌کمتر مورد بررسی قرار گرفته‌اند. معادله اول هم قابلیت بررسی ذرات نسبیتی اسپین صفر (که مورد بحث ما است) و هم ذرات نسبیتی اسپین یک را دارد. معادله دوم، که پس از یک سری از تقریب‌ها از معادله بتنه-سالپی‌تر منتج می‌شود، دارای ماهیت نیمه-نسبیتی بوده و در یک فرمول‌بندی دو جسمی معروفی می‌شود. و در ابتدا، با روش‌های کاملاً تحلیلی به حل این معادلات تحت پتانسیل‌های موفق مانند نمایی، کولنی، هالسن، وودز-ساکسون، یوکاوا و کرنل خواهیم پرداخت و سپس برخی مزون‌های اسپین صفر را بررسی می‌کنیم.

کلید واژه: معادله دی-کی-پی، معادله سالپی‌تر بدون اسپین، سیستم دوجسمی، مدل پتانسیل.

فصل یک

مقدمه

معادلات موج مکانیک کوانتومی کماکان یکی از جذاب‌ترین گزینه‌ها برای بررسی سیستم‌های فیزیکی به شمار می‌روند. معادله موج غیرنسبیتی شرودینگر^۱، علی‌رغم قدمتی که دارد، هنوز یکی از مسائل باز ریاضی‌فیزیک است و جواب‌های تحلیلی دقیق این معادله حتی برای پرکاربردترین پتانسیل‌های فیزیکی مانند ترکیب جملات هارمونیک و کولنی و یا کرنل، هنوز ارائه نشده‌اند.

در محدوده نسبیتی، گزینه‌های رایج و آشنا عبارتند از معادلات دیراک^۲ و کلین-گوردون^۳ که به ترتیب ذرات نسبیتی با اسپین $\frac{1}{2}$ و 0 را توصیف می‌کنند. این معادلات با روش‌های مختلفی توسط افراد بسیاری مورد بررسی قرار گرفته‌اند و جواب‌های تحلیلی و عددی بسیاری در اختیار هستند. دلیل این موضوع این است که این دو معادله در بسیاری از موارد به یک معادله شبه-شرودینگر تبدیل می‌شوند که از روش‌های مرسوم مکانیک کوانتومی غیرنسبیتی قابل حل هستند. این معادلات در حضور پتانسیل‌های رایج مانند نمایی، کولنی، هارمونیک و ... حل شده‌اند. چند نمونه از این حل‌های تحلیلی عبارتند از مکانیک کوانتومی ابرتقارنی^۴، روش نیکوفروو-ووارورو^۵، روش وردشی^۶، تبدیلات کانونی^۷، جبر لی^۸، روش کسرهای دنباله‌دار^۹ و غیره. اما دو معادله بسیار پرکاربرد دی-کی-پی^{۱۰} و سالپیتر بدون اسپین^{۱۱} کمتر مورد توجه قرار گرفته‌اند. معادله دوم، همان‌طور که از عنوانش برمی‌آید، برای توصیف ذرات اسپین صفر به کار می‌رود و می‌توان آن را به عنوان رایج‌ترین جایگزین معادله بته-سالپیتر سه‌بعدی دانست که برای توصیف

¹ Schrödinger

² Dirac

³ Klein-Gordon

⁴ Supersymmetry quantum mechanics

⁵ Nikiforov-Uvarov

⁶ Variation

⁷ Canonical transformation

⁸ Lie algebras

⁹ Continued fractions

¹⁰ Duffin-Kemmer-Petiau (DKP)

¹¹ spinless Salpeter equation

حالتهای مقید در نظریه کوانتمی میدان به کار می‌رود. از طرفی، معادله بته-سالپیتر^۱ هم اثرات نسبیتی را دربرمی‌گیرد و هم برای توصیف کوارک‌ها به کار می‌رود که جز بنیادی مواد هسته‌ای و مزون‌ها هستند.

از آنجایی که نمی‌توان حل کاملی برای این معادله ارائه داد، ناگزیر هستیم بر روی نزدیکترین گزینه کار-کنیم. نتایج به دست آمده از معادله سالپیتر همخوانی قابل قبولی با الکتروودی‌نامیک و کرومودی‌نامیک کوانتمی دارد. به طور مشخص، توصیف هادرон‌ها بر اساس این معادله به عنوان یک روش استاندارد شناخته می‌شود. اما مشکل از این‌جا ناشی می‌شود که این معادله به صورت تحلیلی قابل حل نیست. به همین خاطر، اغلب معادله‌های منتج از این معادله در فیزیک هسته‌ای نظری مورد استفاده قرار می‌گیرند: یعنی معادله سالپیتر کاهش‌یافته^۲ و معادله سالپیتر بدون اسپین. معادله اخیر قابل تعمیم به سیستم‌های دوجسمی نیز هست، اما مشکلی که وجود دارد غیرموضعی بودن معادله است. بنابراین، ناگزیر از تقریب‌هایی برای حل معادله استفاده می‌کنیم تا معادله از فرم غیرموضعی^۳ خارج شود. در قدم بعدی پتانسیل-های رایج مانند نمایی، کولنی، هالسن^۴ و کرنل را در نظر گرفته و با استفاده از تکنیک‌های تحلیلی و بدون بهره‌گیری از روش‌های پرزنتمت و وقت‌گیر عددی به حل مسئله می‌پردازیم. معادله دی-کی-پی، همانند معادله کلین-گوردون، می‌تواند دو پتانسیل‌برداری و اسکالار را در خود بگنجاند. در غیاب پتانسیل اسکالار، کار کردن با این معادله به مراتب ساده‌تر از وقتیست که پتانسیل اسکالار حاضر است. حتی در مثال‌های ساده جواب‌ها به فرم معادله‌هیون ظاهر می‌شوند که بسیار پیچیده‌تر از معادلات فوق-هندسی هستند. مهمترین ویژگی این معادله این است که می‌تواند هم ذرات اسپین صفر و هم ذرات اسپین‌یک را به طور نسبیتی بررسی نماید. این نکته وقتی با ارزش‌تر به نظر می‌رسد که توجه داشته باشیم مقالات حاضر درباره معادله پروکا و ذرات اسپین‌یک بسیار محدود هستند. برجسته‌ترین دلیل این موضوع هم شاید پیجیدگی معادله پروکا باشد.

¹ Bethe-Salpeter

² Reduced saltpeter equation

³ nonlocal

⁴ Hulthén

فصل دو

معادلات سالپیتر بودن اسپین و دی-کی-پی

۱-۲ معادله سالپیتر بدون اسپین

چارچوب مناسب برای توصیف حالات مقید در نظریه کوانتمی میدان نسبیتی، معادله بته-سالپیتر است.

حالت مقید $\langle M |$ یک فرمیون و یک پادفرمیون با اسپین $\frac{1}{2}$ را در نظر بگیرید که دارای جرم‌های

M_1, M_2 و تکانه‌های P_1, P_2 هستند. در فرمول‌بندی بته-سالپیتر، این حالت مقید با دامنه بته-سالپیتر Ψ

توصیف می‌شود که یک تبدیل فوریه عملگرهای میدان به فرم زیر است:

$$\Psi(P) = \exp(iKX_{CM}) \int d^4X \exp(iPX) \langle 0 | T(\psi(X_1)\bar{\psi}_2(X_2)) | M(K) \rangle, \quad (1-1-2)$$

که در این رابطه مطابق معمول X_{CM} تکانه نسبی، $P = P_1 + P_2$ مختصه مرکز جرم و

مختصه نسبی است. دامنه در معادله

$$S_1^{-1}(P_1)\Psi(P)S_2^{-1}(-P_2) = \frac{i}{(2\pi)^4} \int d^4K (P, Q) \Psi(Q), \quad (2-1-2)$$

صدق می‌کند که دارای دو جز دینامیکی زیر است:

- انتشارگر فرمیونی کامل ذره $S(P, M)$ نشان داده می‌شود و اغلب با فرم آزادش

تقریب زده می‌شود:

$$S_0^{-1}(P, M) = -i(\gamma_\mu P^\mu - M), \quad (3-1-2)$$

- کرنل برهمنشی که به نوعی جمع دیاگرام‌های فینمن است و در پایین‌ترین مرتبه الکترودینامیک

کوانتمی عبارتست از:

$$K(P, Q) = \frac{e^2}{(P-Q)^2} \gamma^\mu \otimes \gamma_\mu, \quad (4-1-2)$$

اکنون تقریب پایا را درنظر می‌گیریم، یعنی فرض می‌کنیم کرنل تنها به سه-تکانه‌های نسبی حالت اولیه

\vec{Q} و حالت نهایی \vec{Q}' وابسته است:

$$K(P, Q) = K(\vec{P}, \vec{Q}). \quad (5-1-2)$$

اکنون تابع موج مستقل از زمان $\Phi(\vec{P})$ را تعریف می‌کنیم:

$$\Phi(\vec{P}) \equiv \int dP_0 \Psi(\vec{P}, P_0), \quad (6-1-2)$$

و در نهایت می‌رسیم به

$$\Phi(\vec{P}) \equiv \int \frac{d^3 Q}{(2\pi)^3} \left[\frac{\Lambda_1^+ \gamma_0 K(\vec{P}, \vec{Q}) \Phi(\vec{Q}) \gamma_0 (\Lambda_2^+)^c}{E - \sqrt{\vec{P}_1^2 + M_1^2} - \sqrt{\vec{P}_2^2 + M_2^2}} - \frac{\Lambda_1^- \gamma_0 K(\vec{P}, \vec{Q}) \Phi(\vec{Q}) \gamma_0 (\Lambda_2^-)^c}{E + \sqrt{\vec{P}_1^2 + M_1^2} + \sqrt{\vec{P}_2^2 + M_2^2}} \right], \quad (7-1-2)$$

که عملگرهای تصویر انرژی عبارتند از

$$\Lambda_i^\pm \equiv \frac{\sqrt{\vec{P}_i^2 + M_i^2} \pm \gamma_0 (\vec{\gamma} \cdot \vec{P}_i + M_i)}{2\sqrt{\vec{P}_i^2 + M_i^2}}, \quad (8-1-2)$$

$$(\Lambda_i^\pm)^c \equiv (C^{-1} \Lambda_i^\pm C)^T = \Lambda_i^\mp, \quad (9-1-2)$$

و C ماتریس همیوغ بار است. اکنون با صرف نظر کردن از جمله دوم سمت راست معادله سالپیتر و در نظر گرفتن تقریب

$$E - \sqrt{\vec{P}_1^2 + M_1^2} - \sqrt{\vec{P}_2^2 + M_2^2} \ll E + \sqrt{\vec{P}_1^2 + M_1^2} + \sqrt{\vec{P}_2^2 + M_2^2}, \quad (10-1-2)$$

به معادله سالپیتر کاهاش یافته می‌رسیم

$$\begin{aligned} & \left(E - \sqrt{\vec{P}_1^2 + M_1^2} - \sqrt{\vec{P}_2^2 + M_2^2} \right) \Phi(\vec{P}) = \\ & \Phi(\vec{P}) \equiv \int \frac{d^3 Q}{(2\pi)^3} \Lambda_1^+ \gamma_0 K(\vec{P}, \vec{Q}) \Phi(\vec{Q}) \gamma_0 (\Lambda_2^+)^c, \end{aligned} \quad (11-1-2)$$

با صرف نظر کردن از درجات آزادی اسپینی، این فرض که کرنل از نوع کنولوشن باشد، یعنی

$$K(\vec{P}, \vec{Q}) = K(\vec{P} - \vec{Q}), \quad (12-1-2)$$

و محدود کردن بحث به حالت‌های با انرژی مثبت داریم

$$\left[\sqrt{\vec{P}_1^2 + M_1^2} + \sqrt{\vec{P}_2^2 + M_2^2} + V(\vec{X}) \right] \psi = E \psi. \quad (13-1-2)$$

که معادله سالپیتر بدون اسپین نام دارد و شامل جمله برهم‌کنشی است. به طور خاص، در چارچوب

مرکز جرم سیستم دو جسمی داریم

$$H|\psi\rangle = E|\psi\rangle, \quad (14-1-2)$$

که

$$H = \sqrt{\vec{P}_1^2 + M_1^2} + \sqrt{\vec{P}_2^2 + M_2^2} + V(\vec{X}), \quad (15-1-2)$$

۱-۱-۲ حالت خاص جرم‌های مساوی

در حالت خاص سیستمی با جرم‌های مساوی $M_1 = M_2 = M$ ، می‌توان معادله دو جسمی را به‌سادگی به یک معادله معادل تک‌جسمی تبدیل کرد. برای مثال، معادله نیمه-نسبیتی زیر را که شامل یک پتانسیل توانی است

$$H = 2\sqrt{\vec{P}^2 + M^2} + \sum_{n \in Z} k_n R^n, \quad R \equiv |\vec{X}|, \quad (16-1-2)$$

به همراه تبدیل

$$\begin{aligned} \vec{p} &= \lambda \vec{P}, \\ \vec{x} &= \frac{\vec{X}}{\lambda}, \end{aligned} \quad (17-1-2)$$

که

$$[\vec{x}, \vec{p}] = [\vec{X}, \vec{P}], \quad (18-1-2)$$

در نظر بگیرید. با انتخاب هامیلتونی نیمه-نسبیتی

$$\begin{aligned} H &= \sqrt{4\vec{P}^2 + 4M^2} + \sum_{n \in Z} k_n R^n \\ &= \sqrt{\vec{P}^2 + 4M^2} + \sum_{n \in Z} k_n 2^n r^n, \end{aligned} \quad (19-1-2)$$

و در نظر گرفتن

$$\begin{aligned} m &= 2M, \\ a_n &= 2^n k_n, \end{aligned} \quad (20-1-2)$$

به هامیلتونی تک-جسمی معادل زیر می‌رسیم

$$H = \sqrt{\vec{p}^2 + m^2} + \sum_{n \in Z} a_n r^n, \quad r \equiv |\vec{x}|, \quad (21-1-2)$$

۲-۱-۲ معادله سالپیتر بدون اسپین (تک جسمی)

با توجه به بحث بالا، اکنون تنها کافیست هامیلتونی خودالحاقی

$$H = T + V, \quad (22-1-2)$$

را وارد بحث کنیم که T نشان دهنده ریشه عملگر نسبیتی انرژی جنبشی (آزاد) ذرهای به جرم m و تکانه \vec{p} است:

$$T = T(\vec{p}) = \sqrt{\vec{p}^2 + m^2}, \quad (23-1-2)$$

و $(\vec{x}) V$ یک عملگر برهم‌کنش مستقل از زمان است. بنابراین، معادله سالپیتر بدون اسپین عبارتست از

$$H |\chi_k\rangle = E_k |\chi_k\rangle, \quad (24-1-2)$$

۹

$$E_k \equiv \frac{\langle \chi_k | H | \chi_k \rangle}{\langle \chi_k | \chi_k \rangle}, \quad (25-1-2)$$

و می‌توان این معادله را به عنوان ساده‌ترین تعمیم نسبیتی معادله شرویدینگر در نظر گرفت.

۳-۱-۲ کران‌های بالای تحلیلی

اصل کمینه-بیشینه

می‌توان این اصل را به چند بیان مختلف بیان نمود. در اینجا کاربردی‌ترین نوع آن را در نظر می‌گیریم.

فرض کنید H یک عملگر خودالحاقی باشد که از پایی‌ن کران‌دار است و

$$E_k \leq \sup_{|\psi\rangle \in D_{k+1}} \frac{\langle \psi | H | \psi \rangle}{\langle \psi | \psi \rangle}, \quad \text{for } k = 0, 1, 2, \dots, \quad (26-1-2)$$

که

$$E_0 \leq E_1 \leq E_2 \dots \dots \quad (27-1-2)$$

یک زیر فضای D بعدی از دامنه H باشد.

با این شرایط، k امین ویژه مقدار در نامساوی زیر صدق می‌کند.

$$E_k \leq \sup_{|\psi\rangle \in D_{k+1}} \frac{\langle \psi | O | \psi \rangle}{\langle \psi | \psi \rangle} \quad \text{for } k = 0, 1, 2, \dots \dots \quad (28-1-2)$$

۴-۱-۲ نامساوی های عملگری

نیازی به گفتن نیست که ما به دنبال جایگزین مناسب‌تری برای عملگر انرژی جنبشی هستیم. بنابراین باید روش کمینه‌بیشینه را برای یک نامساوی عملگری به کار بگیریم. نامساوی $H \leq O$ را درنظر بگیرید، با این کار داریم:

$$\begin{aligned} E_k &\equiv \frac{\langle \chi_k | H | \chi_k \rangle}{\langle \chi_k | \chi_k \rangle} \\ &\leq \sup_{|\psi\rangle \in D_{k+1}} \frac{\langle \psi | H | \psi \rangle}{\langle \psi | \psi \rangle} \\ &\leq \sup_{|\psi\rangle \in D_{k+1}} \frac{\langle \psi | O | \psi \rangle}{\langle \psi | \psi \rangle}. \end{aligned} \quad (29-1-2)$$

اکنون فرض کنید که زیرفضای $(k+1)$ -بعدی D_{k+1} در این نامساوی‌ها توسط $(k+1)$ ویژه‌تابع اولیه عملگر علامت زده می‌شود و

$$\hat{E}_0 \leq \hat{E}_1 \leq \hat{E}_2 \dots . \quad (30-1-2)$$

در این صورت

$$\sup_{|\psi\rangle \in D_{k+1}} \frac{\langle \psi | O | \psi \rangle}{\langle \psi | \psi \rangle} = \hat{E}_k, \quad (31-1-2)$$

در نتیجه ویژه‌مقدار E_k از بالا با ویژه‌مقدار متناظر \hat{E}_k کراندار است و

$$E_k \leq \hat{E}_k, \quad (32-1-2)$$

۵-۱-۲ کران شرودینگری

ساده‌ترین کران بالای این نظریه از هامیلتونی شرودینگر متناظر به دست می‌آید. با استفاده از مثبت بودن

مجذور عملگر $(T - m)$ داریم

$$\begin{aligned} 0 &\leq (T - m)^2 \\ &= T^2 + m^2 - 2mT \\ &= \vec{p}^2 + 2m^2 - 2mT. \end{aligned} \quad (33-1-2)$$

با فرض مثبت بودن m داریم

$$T \leq m + \frac{\vec{p}^2}{2m}, \quad (34-1-2)$$

و در نتیجه برای هامیلتونی سالپیتر داریم

$$H \leq H_S, \quad (35-1-2)$$

که در آن هامیلتونی شرودینگر عبارت است از

$$H_S = m + \frac{\vec{p}^2}{2m} + V, \quad (36-1-2)$$

برای مثال، برای پتانسیل کولنی انرژی متناظر هامیلتونی شرودینگر برابر است با

$$E_{S,n} = m \left(1 - \frac{\alpha^2}{2n^2} \right), \quad (37-1-2)$$

که اعداد کوانتومی با رابطه زیر مرتبطند

$$\begin{aligned} n &= n_r + l + 1, \\ n_r &= 0, 1, 2, \dots, \\ l &= 0, 1, 2, \dots . \end{aligned} \quad (38-1-2)$$

۶-۱-۲ یک کران مجذوری

برای رسیدن به منظورمان، مجذور هامیلتونی را درنظر بگیرید

$$Q \equiv H^2 = T^2 + V^2 + VT + TV, \quad (39-1-2)$$

و ویژه مقادیر این معادله را می‌توان از همان معادله ویژه‌مقداری اصلی حل کرد

$$Q|\chi_k\rangle = E_k^2 |\chi_k\rangle, \quad (40-1-2)$$

اکنون مثبت بودن عملگر خود الحاقی $(T - m - V)$ منجر می‌شود به

$$\begin{aligned} 0 &\leq (T - m - V)^2 \\ &= T^2 + m^2 + V^2 - 2mT + 2mV - TV - VT, \end{aligned} \quad (41-1-2)$$

و چون

$$0 \leq m \leq T, \quad (42-1-2)$$

می‌توان به یک نامساوی مفید برای عملگر پادجایه‌جایی $VT + TV$ انرژی جنبشی و پتانسیل رسید:

$$\begin{aligned}
TV + VT &\leq T^2 + m^2 + V^2 - 2mT + 2mV \\
&\equiv \vec{p}^2 + 2m^2 + V^2 - 2mT + 2mV \\
&\leq \vec{p}^2 + V^2 + 2mV.
\end{aligned} \tag{43-1-2}$$

با درنظرداشتن معادله اخیر، داریم

$$Q \leq R, \tag{44-1-2}$$

که

$$R \equiv 2\vec{p}^2 + m^2 + 2V^2 + 2mV. \tag{45-1-2}$$

و با توجه به اصل کمینه-بیشینه، مجدور ویژه مقادیر انرژی E_k معادله سالپیتر بدون اسپین از بالا با

رابطه زیر محدود به ویژه مقادیر $\mathcal{E}_{R,K}$ عملگر R هستند:

$$E_k \leq \sqrt{\mathcal{E}_{R,K}}, \tag{46-1-2}$$

تنها برای پتانسیل کولنی است که عملگر R دارای همان ساختار هامیلتونی شرودینگر است با این تفاوت

که یک عدد کوانتمومی زاویه ای موثر داریم که از رابطه $L(L+1) = l(l+1) + \alpha^2$ به دست می‌آید و بدین

معناست که

$$L = \frac{\sqrt{1+4[l(l+1)+\alpha^2]}-1}{2}, \quad l = 0, 1, 2, \dots \tag{47-1-2}$$

بنابراین ویژه مقادیر عملگر R عبارتند از

$$\mathcal{E}_{R,N} = m^2 \left(1 - \frac{\alpha^2}{2N^2} \right), \quad N = n_r + L + 1, \quad n_r = 0, 1, 2, \dots \tag{48-1-2}$$

۷-۱-۲ تعمیم نتایج

می‌توان با اندکی تغییر کران‌های شرودینگری را بهتر کرد. برای این کار از ایده مثبت بودن مجدور عملگر $\mu - T$ استفاده می‌کنیم که μ یک پارامتر حقیقی دلخواه با بعد جرم است:

$$\begin{aligned} 0 &\leq (T - \mu)^2 \\ &= T^2 + \mu^2 - 2\mu T \\ &\equiv \vec{p}^2 + m^2 + \mu^2 - 2\mu T. \end{aligned} \quad (49-1-2)$$

با طور معادل

$$T \leq \frac{\vec{p}^2 + m^2 + \mu^2}{2\mu}. \quad (50-1-2)$$

این رابطه را می‌توان بر حسب هامیلتونی‌ها مطابق زیر نوشت

$$H \leq \hat{H}_S(\mu), \quad \text{with } \hat{H}_S(\mu) = \frac{\vec{p}^2 + m^2 + \mu^2}{2\mu}, \quad (51-1-2)$$

با درنظر گرفتن مجدد اصل کمینه‌بیشینه،

$$E_k \leq \hat{E}_{S,k}(\mu), \quad \mu > 0, \quad (52-1-2)$$

و در نتیجه

$$E_k \leq \min_{\mu > 0} \hat{E}_{S,k}(\mu), \quad (53-1-2)$$

برای پتانسیل کولنی،

$$\hat{E}_{S,n}(\mu) = \frac{1}{2\mu} \left[m^2 + \mu^2 \left(1 - \frac{\alpha^2}{n^2} \right) \right], \quad n = n_r + l + 1, \quad (54-1-2)$$

و با کمینه‌کردن $\hat{E}_{S,n}$ نسبت به پارامتر μ داریم

$$\min_{\mu > 0} \hat{E}_{S,k}(\mu) = \sqrt{1 - \frac{\alpha^2}{n^2}}, \quad \text{for } \alpha \leq \alpha_c, \quad (55-1-2)$$

این کران‌ها برای تمام مقادیر ثابت جفت‌شدگی کولنی α که $\alpha \leq \alpha_c$ و همچنان تمام ترازهای برانگیخته برقرار است و کران‌های شرودینگری را بهبود می‌بخشد.

۸-۱-۲ روش وردشی

در این وضعیت روش کمینه-بیشینه تبدیل می‌شود به

$$E_0 \leq \frac{\langle \psi | H | \psi \rangle}{\langle \psi | \psi \rangle}, \quad (56-1-2)$$

برای بهینه کردن جواب مجموعه‌ای از حالت‌های حدسی $\{|\psi_\lambda\rangle\}$ را در نظر می‌گیریم. سپس مقدار انتظاری هامیلتونی را نسبت به حالت حدسی $\{|\psi_\lambda\rangle\}$ محاسبه می‌کنیم:

$$E(\lambda) \equiv \frac{\langle \psi_\lambda | H | \psi_\lambda \rangle}{\langle \psi_\lambda | \psi_\lambda \rangle}, \quad (57-1-2)$$

در مرحله بعدی $E(\lambda)$ کمی نه می‌کند انتخاب می‌کنیم و سپس $E(\lambda_{\min})$ را محاسبه می‌نماییم. با انجام این روند به یک کران بالای بهینه شده برای حالت پایه می‌رسیم:

$$E_0 \leq E(\lambda_{\min}), \quad (58-1-2)$$

برای رهایی از فرم رادیکالی در هامیلتونی، از ایده ساده

$$\langle \psi | O | \psi \rangle^2 \leq \langle \psi | O^2 | \psi \rangle \langle \psi | \psi \rangle, \quad (59-1-2)$$

با طور معادل

$$\frac{|\langle \psi | O | \psi \rangle|}{\langle \psi | \psi \rangle} \leq \sqrt{\frac{\langle \psi | O^2 | \psi \rangle}{\langle \psi | \psi \rangle}}. \quad (60-1-2)$$

استفاده می‌کنیم

$$\frac{|\langle \psi | T | \psi \rangle|}{\langle \psi | \psi \rangle} \leq \sqrt{\frac{\langle \psi | T^2 | \psi \rangle}{\langle \psi | \psi \rangle}}, \quad (61-1-2)$$

با اعمال این نامساوی به هامیلتونی نیمه-نسبی‌تی H داریم

$$\begin{aligned}
E_0 &\leq \frac{\langle \psi | H | \psi \rangle}{\langle \psi | \psi \rangle} \\
&= \frac{\langle \psi | T + V | \psi \rangle}{\langle \psi | \psi \rangle} \\
&\leq \sqrt{\frac{\langle \psi | T^2 | \psi \rangle}{\langle \psi | \psi \rangle}} + \frac{\langle \psi | V | \psi \rangle}{\langle \psi | \psi \rangle} \\
&\equiv \sqrt{\frac{\langle \psi | \vec{p}^2 | \psi \rangle}{\langle \psi | \psi \rangle} + m^2} + \frac{\langle \psi | V | \psi \rangle}{\langle \psi | \psi \rangle}.
\end{aligned} \tag{62-1-2}$$

در این وضعیت تنها کافیست مقادیر انتظاری \vec{p}^2 و V محاسبه شوند. برای پتانسیل کولنی، با در نظر گرفتن تابع حدسی اتم هیدروژن، یعنی

$$\psi_\lambda(x) = \sqrt{\frac{\lambda^3}{\pi}} \exp(-\lambda r), \quad \lambda > 0, \tag{63-1-2}$$

داریم

$$\frac{\langle \psi_\lambda | \vec{p}^2 | \psi_\lambda \rangle}{\langle \psi_\lambda | \psi_\lambda \rangle} = \lambda^2, \tag{64-1-2}$$

$$\frac{\langle \psi_\lambda | r^{-1} | \psi_\lambda \rangle}{\langle \psi_\lambda | \psi_\lambda \rangle} = \lambda, \tag{65-1-2}$$

با وارد کردن این مقادیر انتظاری در عبارت‌های بالا به کران بالای تک متغیره

$$E_0 \leq \sqrt{\lambda^2 + m^2} - \alpha \lambda, \tag{66-1-2}$$

می‌رسیم که مینیمم مطلق آن

$$E_0 \leq m\sqrt{1-\alpha^2}, \tag{67-1-2}$$

است و در نتیجه

$$E_{s,0} = m \left(1 - \frac{\alpha^2}{2} \right). \tag{68-1-2}$$

۲-۲ معادله‌ی دی-کی-پی

در فیزیک ذرات بنیادی برای توصیف ذرات در مکانیک کوانتومی غیرنسبیتی از معادله شرودینگر و در مکانیک کوانتومی نسبیتی از معادلات کلاین-گوردن (ذرات با اسپین صفر)، دیراک (ذرات با اسپین $\frac{1}{2}$)، پروکا^۱ (ذرات با اسپین ۱) و دافین-کمر-پتیو (ذرات با اسپین صفر و ۱) استفاده می‌شود.

در این فصل سعی بر آن داریم به بررسی معادله دی-کی-پی بپردازیم که بیش از هفتاد سال پیش معرفی شده است. این معادله فیزیکدانان نظری را قادر می‌ساخت که هم ذرات با اسپین صفر و هم اسپین ۱ را در قالب یک معادله در بخش نسبیتی مورد بررسی قرار دهند [۱۲-۹]. این معادله برای بررسی و تحلیل برهمکنش‌های نسبیتی هادرون‌های با اسپین صفر و ۱ که با هسته، به عنوان جایگزین معادله‌های مرتبه‌ی دوم کلاین-گوردن و پروکا استفاده شده است. معادله دی-کی-پی تعییمیم مستقیم از معادله دیراک است که در آن ماتریس‌های β جایگزین ماتریس‌های گاما شده‌اند با این تفاوت که جبر پیچیده‌ای با عنوان جبر دی-کی-پی در آن درنظر گرفته می‌شود. این معادله به طور معمول در دو قالب پنج مولفه‌ای و ده مولفه‌ای نمایش داده می‌شود که بهترتی ب برای بوزون‌های اسپین صفر و اسپین ۱ استفاده می‌شوند. معادله برای ذرات با اسپین صفر، تحت پتانسیل برداری دارای ساختار ریاضی کسانی با همتای شناخته شده‌اش یعنی معادله کلاین-گوردن دارد و در نتیجه طی سال‌ها، جامعه‌ی فیزیکی این طور تصور می‌کردند که این معادلات کاملاً همارز هستند، اگر چه در حال حاضر میدانیم که این هم ارزی به طور کامل قابل قبول نیست [۱۳-۱۵]. این معادله کاربردهای بیشتری در مقایسه با معادله پروکا و کلاین-گوردن در مطالعه‌ی برهمکنش‌ها دارد [۱۶، ۱۷].

هامیلتونی دی-کی-پی در حضور برهمکنش‌های اسکالر و برداری به صورت معادله زیر است [۱۸-۲۰] :

^۱ Proca Equation

$$\left(\beta \vec{p}c + mc^2 + U_s + \beta^0 U_v^o\right) \psi(\vec{r}) = \beta^0 E \psi(\vec{r}), \quad (1-2-2)$$

که

$$\psi(\vec{r}) = \begin{pmatrix} \psi_{upper} \\ i\psi_{lower} \end{pmatrix}, \quad (2-2-2)$$

و برای مؤلفه‌های بالا و پایین داریم:

$$\psi_{upper} \equiv \begin{pmatrix} \phi \\ \varphi \end{pmatrix}, \quad \psi_{lower} \equiv \begin{pmatrix} A_1 \\ A_2 \\ A_3 \end{pmatrix}. \quad (3-2-2)$$

U_s, U_v^o بیانگر برهمنش‌های اسکالر و برداری و β^0 ماتریس‌های 5×5 هستند که به صورت زیر ر

تعربی فرمی شوند

$$\beta^0 = \begin{pmatrix} \theta & \tilde{0} \\ \bar{0}_T & 0 \end{pmatrix}, \quad \beta^i = \begin{pmatrix} \tilde{0} & \rho^i \\ -\rho_T^i & 0 \end{pmatrix}, \quad (4-2-2)$$

که $\tilde{0}$ و $\bar{0}$ ماتریس‌های صفر 2×2 , 2×3 و 3×3 می‌باشند، و

$$\theta = \begin{pmatrix} 0 & 1 \\ 1 & 0 \end{pmatrix}, \quad \rho^1 = \begin{pmatrix} -1 & 0 & 0 \\ 0 & 0 & 0 \end{pmatrix}, \quad \rho^2 = \begin{pmatrix} 0 & -1 & 0 \\ 0 & 0 & 0 \end{pmatrix}, \quad \rho^3 = \begin{pmatrix} 0 & 0 & -1 \\ 0 & 0 & 0 \end{pmatrix}. \quad (5-2-2)$$

پس از محاسبات، معادله در سه بعد به صورت زیر نوشته می‌شود [۱۲-۹]

$$\begin{aligned} (mc^2 + U_s)\phi &= (E - U_v^o)\varphi + \hbar c \vec{\nabla} \cdot \vec{A}, \\ \vec{\nabla} \phi &= (mc^2 + U_s)\vec{A}, \\ (mc^2 + U_s)\varphi &= (E - U_v^o)\phi. \end{aligned} \quad (6-2-2)$$

که $\vec{A} = (A_1, A_2, A_3)$ می‌باشد و ψ به طور همزمان ویژه توابع J^2 و J_3 است

$$\begin{aligned} J^2 \begin{pmatrix} \psi_{upper} \\ \psi_{lower} \end{pmatrix} &= \begin{pmatrix} L^2 \psi_{upper} \\ (L + S)^2 \psi_{lower} \end{pmatrix} = J(J+1) \begin{pmatrix} \psi_{upper} \\ \psi_{lower} \end{pmatrix}, \\ J_3 \begin{pmatrix} \psi_{upper} \\ \psi_{lower} \end{pmatrix} &= \begin{pmatrix} L_3 \psi_{upper} \\ (L_3 + S_3) \psi_{lower} \end{pmatrix} = M \begin{pmatrix} \psi_{upper} \\ \psi_{lower} \end{pmatrix}, \end{aligned} \quad (7-2-2)$$

جواب عمومی را به صورت رابطه (۴-۸) در نظر می‌گیریم

$$\psi_{JM}(r) = \begin{pmatrix} f_{nJ}(r)Y_{JM}(\Omega) \\ g_{nJ}(r)Y_{JM}(\Omega) \\ i\sum_L h_{nJL}(r)Y_{JL1}^M(\Omega) \end{pmatrix}, \quad (8-2-2)$$

که f_{nJ} از مرتبه‌ی J هستند، و $Y_{JL1}^M(\Omega)$ بردارهای بهنجارشده هارمونیک‌های کروی و

g_{nJ} توابع موج شعاعی هستند. معادلات بالا منجر به جفت معادلات دیفرانسیل زیر می‌شوند [۱۸]

[۲۰]

$$\begin{aligned} (E_{n,J} - U_v^0)F_{n,J}(r) &= (mc^2 + U_s)G_{n,J}(r), \\ \left(\frac{dF_{n,J}(r)}{dr} - \frac{J+1}{r}F_{n,J}(r) \right) &= -\frac{1}{\alpha_J}(mc^2 + U_s)H_{1,n,J}(r), \\ \left(\frac{dF_{n,J}(r)}{dr} + \frac{J}{r}F_{n,J}(r) \right) &= \frac{1}{\zeta_J}(mc^2 + U_s)H_{-1,n,J}(r), \\ -\alpha_J \left(\frac{dH_{1,n,J}(r)}{dr} + \frac{J+1}{r}H_{1,n,J}(r) \right) + \zeta \left(\frac{dH_{-1,n,J}(r)}{dr} - \frac{J}{r}H_{-1,n,J}(r) \right) &= \\ \frac{1}{\hbar c} \left((mc^2 + U_s)F_{n,J}(r) - (E_{n,J} - U_v^0)G_{n,J}(r) \right), \end{aligned} \quad (9-2-2)$$

که پس از جداسازی نتیجه می‌دهد [۱۸] :

$$\begin{aligned} \frac{d^2F_{n,J}(r)}{dr^2} \left[1 + \frac{\zeta_J^2}{\alpha_J^2} \right] \\ - \frac{dF_{n,J}(r)}{dr} \left[\frac{U'_s}{(m+U_s)} \left(1 + \frac{\zeta_J^2}{\alpha_J^2} \right) \right] \\ + F_{n,J}(r) \left[-\frac{J(J+1)}{r^2} \left(1 + \frac{\zeta_J^2}{\alpha_J^2} \right) + \frac{U'_s}{(m+U_s)} \left(\frac{J+1}{r} - \frac{\zeta_J^2}{\alpha_J^2} \frac{J}{r} \right) - \frac{1}{\alpha_J^2} \left((m+U_s)^2 - (E_{n,J} - U_v^0)^2 \right) \right] = 0, \end{aligned} \quad (10-2-2)$$

که

$$\begin{aligned} \zeta_J &= \sqrt{J/(2J+1)}, \\ \alpha_J &= \sqrt{\frac{J+1}{2J+1}}, \\ f_{nJ}(r) &= F(r)/r, \\ g_{nJ}(r) &= G(r)/r, \\ h_{nJJ\pm 1} &= H_{\pm 1}/r. \end{aligned} \quad (11-2-2)$$

با در نظر گرفتن $U_s = 0$ به فرمول معروف معادله (۱۱-۴) می‌رسیم

$$\left(\frac{d^2}{dr^2} - \frac{J(J+1)}{r^2} + (E_{n,J} - U_v^0)^2 - m^2 \right) F_{n,J}(r) = 0. \quad (11-2-2)$$

فصل سه

روش‌های تحلیلی

روش‌های تحلیلی

در این رساله چند نمونه از روش‌های تحلیلی توانمند از جمله مکانیک کوانتومی ابرتقارنی، روش نیکی‌فروو-وواروو و روش حدس‌زدن را معرفی می‌کنیم.

۱-۳ مقدمه ای بر مکانیک کوانتومی ابرتقارنی

در مکانیک کوانتومی، فوق بارها^۱ (اگرچه این ترجمه خیلی مناسب نیست، بنا به محدودیتهای زبانی از آن استفاده می‌کنیم) دو ویژه‌حالت اورتونمال یک هامیلتونی را که دارای ویژه‌مقادیر یکسانی هستند به هم مرتبط می‌سازد. یکی از کاربردی‌ترین مدل‌های ابرتقارنی مدلی است که توسط ویتن^۲ فرمول‌بندی شده و مشتمل بر دو فوق بار است. برای ساده‌تر شدن بحث، با فوق‌بارهای مختلط زیر کار می‌کنیم [4]

$$Q = \begin{pmatrix} 0 & A \\ 0 & 0 \end{pmatrix}, \quad Q^\dagger = \begin{pmatrix} 0 & 0 \\ A^\dagger & 0 \end{pmatrix}, \quad (1-1-3)$$

که در آن عملگرهای خلق و فنا مطابق زیر تعریف می‌شوند

$$A = ip + \Phi(x), \quad A^\dagger = -ip + \Phi(x), \quad (2-1-3)$$

و هامیلتونی ابرتقارنی عبارتست از

$$H = \begin{pmatrix} H_+ & 0 \\ 0 & H_- \end{pmatrix}, \quad (3-1-3)$$

که

$$H_\pm = \frac{p^2}{2m} + V_\pm(x), \quad (4-1-3)$$

و

$$V_\pm(x) = \Phi^2(x) \pm \Phi'(x), \quad (5-1-3)$$

از طرف دیگر شرط

$$A\phi_E^\mp(x) = \sqrt{E}\phi_E^\mp(x), \quad (6-1-3)$$

یا به طور معادله دیفرانسیل مرتبه اول

$$\left(\mp \frac{\partial}{\partial x} + \Phi(x) \right) \phi_E^\mp = \sqrt{E} \phi_E^\mp, \quad (7-1-3)$$

¹ Supercharges

² Witten

یک ابرتقارن خوب^۱ است، یعنی $E_0 = 0$ و

$$\phi_0^-(x) = Ce^{-U}, \quad (8-1-3)$$

که C ثابت بهنجارش است و ابرپتانسیل U ^۲ به راحتی از رابطه زیر به دست می‌آید

$$U(x) = \int_{x_0}^x dz \Phi(z), \quad (9-1-3)$$

بنابراین تا اینجا توانسته‌ایم تابع موج حالت پایه را به راحتی محاسبه کنیم. از معادله (۳) می‌توان دید که

$$\phi_0^-(x) \propto \frac{1}{\phi_0^+(x)}, \quad (10-1-3)$$

اکنون به معرفی شرط ناوردایی شکل^۳ می‌پردازیم. اگر شرط

$$V_+(a_0, x) = V_-(a_1, x) + R(a_1), \quad (11-1-3)$$

برقرار باشد، پتانسیل‌های همراه در اصطلاح دارای ناوردایی شکل هستند. در رابطه اخیر، a_1 مجموعه‌ای

جدید از پارامترهاست که به طور یکتا از طریق نگاشت $F: a_0 \mapsto a_1 = F(a_0)$ از مجموعه قدیمی

تعیین می‌شود و جمله باقیمانده $R(a_1)$ شامل متغیر x نیست. در واقع، ناوردایی شکل به این معناست که

پتانسیل معادله شرودینگر، صرف نظر از یک جمله ثابت، به عنوان یک پتانسیل همراه جدید $V_-(a_1, x)$

تفسیر می‌شود که مرتبط با یک پتانسیل ابرتقارنی $\Phi(a_1, x)$ است. در صورت برقراری این شرط، همه‌چیز

ساده شده و ویژه مقادیر انرژی و تمام توابع موج مرتب بالاتر به راحتی از روابط زیر قابل محاسبه هستند

: [3, 4]

$$E_n = \sum_{s=1}^n R(a_s) \quad (12-1-3)$$

$$\phi_n^-(a_0, x) = \prod_{s=0}^{n-1} \left(\frac{A^\dagger(a_s)}{[E_n - E_s]^{1/2}} \right) \phi_0^-(a_n, x) \quad (13-1-3)$$

$$\phi_0^-(a_n, x) = C \exp \left\{ - \int_0^x dz \Phi(a_n, z) \right\} \quad (14-1-3)$$

در این رابطه

¹ Good-SUSY

² Superpotential

³ Shape invariance

$$A_s^\dagger = -\frac{\partial}{\partial x} + \Phi(a_s, x), \quad (15-1-3)$$

و بنابراین اطلاعات دقیق هامیلتونی‌های زیر قابل حصول هستند

$$H_s = -\frac{\partial^2}{\partial x^2} + V_-(a_s, x) + E_s, \quad (16-1-3)$$

قابل ذکر است که ویژه‌توابع انرژی هامیلتونی‌های

$$H_s \phi_{n-s}^-(a_s, x) = E_n \phi_{n-s}^-(a_s, x) , \quad n \geq s \quad (17-1-3)$$

با رابطه زیر به هم مرتبطند

$$\phi_{n-s}^-(a_s, x) = \frac{A^\dagger}{[E_n - E_s]^{1/2}} \phi_{n-(s+1)}^-(a_{s+1}, x) \quad (18-1-3)$$

به بیان ساده‌تر، اگر جواب معادله ریکاتی^۱ و شرط ناوردایی شکل برقرار باشند، تمام اطلاعات سیستم قابل محاسبه است. اکنون به بررسی یک مثال ساده می‌پردازیم. اگر

$$\Phi(x) = ax + \frac{b}{x}, \quad (19-1-3)$$

تابع موج حالت پایه مطابق زیر به دست می‌آید

$$\psi_{10}(x) = N_{10} e^{-\frac{a}{2}x^2} x^{+b}, \quad (20-1-3)$$

و پتانسیل‌های همراه عبارتند از

$$V_+ = \Phi^2(x) + \Phi'(x) = a^2 x^2 + \frac{b(b+1)}{x^2} + (-2ab + a),$$

$$V_- = \Phi^2(x) - \Phi'(x) = a^2 x^2 + \frac{b(b-1)}{x^2} + (-2ab - a), \quad (21-1-3)$$

اگر نگاشتی مطابق

$$b \rightarrow b' = b + 1, \quad (22-1-3)$$

را درنظر بگیریم، می‌بینیم که صرف‌نظر از یک جمله ثابت، پتانسیل‌ها یکسان هستند، یعنی شرط ناوردایی

شکل برقرار است. در نتیجه

¹ Riccati

$$b_1 = b_0 + 1 \Rightarrow b_s = b_0 + s \quad (23-1-3)$$

و

$$R(a_s) = -2a(b_{s-1} - b_s) \quad (24-1-3)$$

از طرف دیگر

$$b_s = b + s$$

$$b_{s-1} = b + (s-1) \quad (25-1-3)$$

بنابراین

$$E_n = \sum_{s=1}^n R(a_s) = R(a_1) + R(a_2) + \dots + R(a_{s-1}) + R(a_s), \quad (26-1-3)$$

مثال فیزیکی این مدل ساده، یک نوسانگر هماهنگ سه بعدی با ابرپتانسیل

$$\Phi = \frac{1}{2} \omega r - \frac{(l+1)}{r}, \quad (27-1-3)$$

و پتانسیل ابرتقارنی

$$V_- = \frac{1}{4} \omega^2 r^2 + \frac{l(l+1)}{r} - \left(l + \frac{3}{2} \omega \right), \quad (28-1-3)$$

است که دارای ویژه توابع و ویژه مقادیر زیر است

$$y^{\frac{(l+1)}{2}} \exp\left(-\frac{1}{2}y\right) L_n^{l+\frac{1}{2}}(y), \quad y = \frac{1}{2} \omega r^2$$

$$E_n = 2\omega n, \quad (29-1-3)$$

که $L_n^{l+\frac{1}{2}}(y)$ تابع لاکر هستند.

۳-۱-۱ معادله دیراک را در حضور تقارن های اسپینی و شبیه اسپینی

معادله دیراک عبارتست از [38-40]

$$H = \vec{\alpha} \cdot \vec{p} + \beta(m+S) + V - i\beta \vec{\alpha} \cdot \hat{r} U \quad (30-1-3)$$

که S, V, U به ترتیب پتانسیل های اسکالر، برداری و تانسوری هستند و ماتریس های مرسوم را در نظر

می گیریم. تابع موج کلی عبارتست از

$$\Psi_{njmk} = \begin{pmatrix} f_{nk}(\vec{r}) \\ g_{nk}(\vec{r}) \end{pmatrix} = \begin{pmatrix} i \frac{f_{nk}(r)}{r} \varphi_{jmk}^l(\hat{r}) \\ i \frac{g_{nk}(r)}{r} \varphi_{jm(-k)}^{\tilde{l}}(\hat{r}) \end{pmatrix}, \quad (31-1-3)$$

که φ_{jmk}^l هماهنگ‌های کروی اسپینی هستند و رابطه بین اعداد کوانتمی عبارتست از

$$k = \begin{cases} -(l+1) = -(j + \frac{1}{2}), & j = l + \frac{1}{2}, \quad aligned \text{ spin } (k < 0) \\ l = +(j + \frac{1}{2}), & j = l - \frac{1}{2}, \quad j = l + \frac{1}{2} \quad unaligned \text{ spin } (k > 0) \end{cases}, \quad (32-1-3)$$

می‌توان نشان داد مولفه‌های بالا و پایین به ترتیب در معادلات شبه-شروع‌دینگر زیر صدق می‌کنند

$$\begin{aligned} & \left(-\frac{d^2}{dr^2} + \frac{k(k+1)}{r^2} - \frac{2k}{r}U + \frac{dU}{dr} + U^2 \right) g_k(r) \\ & - \frac{d\Delta}{dr} \left(\frac{d}{dr} + \frac{k}{r} - U \right) g_k(r) \\ & = + (E + m - \Delta)(E - m - \Sigma) g_k(r), \end{aligned} \quad (33-1-3)$$

$$\begin{aligned} & \left(-\frac{d^2}{dr^2} + \frac{k(k-1)}{r^2} - \frac{2k}{r}U - \frac{dU}{dr} + U^2 \right) f_k(r) \\ & - \frac{d\Sigma}{dr} \left(\frac{d}{dr} - \frac{k}{r} + U \right) f_k(r) \\ & = + (E + m - \Delta)(E - m - \Sigma) f_k(r), \end{aligned} \quad (34-1-3)$$

که

$$\begin{aligned} \Sigma(r) &= V(r) + S(r), \\ \Delta(r) &= V(r) - S(r), \end{aligned} \quad (35-1-3)$$

که با نمادگذاری انتخاب شده نیز همخوانی دارد.

۳-۱-۲ حد تقارن اسپینی

در دو قسمت بعدی، حد های اسپینی و شباهی اسپینی را در معرفی می‌کنیم که در بررسی تغییر شکل،

باندهای مشابه و گشتاور مغناطیسی هسته‌ها کاربرد دارند [۴۲-۴۴]

در حالت اسپینی، $(r)\Delta$ را صفر در نظر می‌گیریم. بنابراین با در نظر گرفتن یک جمله هارمونیک در کنار

یک جمله تانسوری که هر دو جمله کولنی و خطی را دارد

$$\begin{aligned} U(r) &= -\frac{\alpha}{r} + \beta r, \\ \Sigma(r) &= Ar^2, \\ \Delta(r) &= 0, \end{aligned} \quad (36-1-3)$$

معادله متناظر تبدیل می‌شود به

$$\left[-\frac{d^2}{dr^2} + \frac{(k+\alpha)(k+\alpha+1)}{r^2} + (\beta^2 + A(E_{nk} + m))r^2 + (-2k\beta + \beta - 2\alpha\beta) \right] g_k(r) = \\ ((E_{nk}^2 - m^2))g_k(r), \quad (37-1-3)$$

اکنون با در ذهن داشتن مثال ابرتقارنی قبل، ابرپتانسیل را مطابق زیر انتخاب می‌کنیم

$$\Phi(r) = \frac{(k+\alpha)}{r} + \sqrt{\beta^2 + A(E_{nk} + m)}r, \quad (38-1-3)$$

که متناظر با پتانسیل ابرتقارنی

$$V_- = \frac{(k+\alpha)(k+\alpha+1)}{r^2} + (\beta^2 + A(E_{nk} + m))r^2 + 2\left(k + \alpha - \frac{1}{2}\right)\sqrt{\beta^2 + A(E_{nk} + m)} \quad (39-1-3)$$

است. این معادله را با استفاده از مکانیک کوانتموی ابر تقارنی حل کنیم. به این منظور می‌نویسیم

$$\left[-\frac{d^2}{dr^2} + \frac{(k+\alpha)(k+\alpha+1)}{r^2} + (\beta^2 + A(E_{nk} + m))r^2 + 2\left(k + \alpha - \frac{1}{2}\right)\sqrt{\beta^2 + A(E_{nk} + m)} \right] g_k(r) = \\ \varepsilon_{nk} g_k(r) \\ \varepsilon_{nk} = \left((E_{nk}^2 - m^2) + (2k\beta - \beta + 2\alpha\beta) + 2\left(k + \alpha - \frac{1}{2}\right)\sqrt{\beta^2 + A(E_{nk} + m)} \right), \quad (40-1-3)$$

که

$$\tilde{k} = k + \alpha = \begin{cases} -(l+1) & \text{for } j = (l+1/2) \\ l & \text{for } j = (l-1/2) \end{cases}, \quad (41-1-3)$$

بنابراین،

$$\begin{aligned} \varepsilon_{nk} &= \left((E_{nk}^2 - m^2) + (2k\beta - \beta + 2\alpha\beta) + 2\left(k + \alpha - \frac{1}{2}\right)\sqrt{\beta^2 + A(E_{nk} + m)} \right) = \\ &4N\sqrt{\beta^2 + A(E_{nk} + m)}, \end{aligned} \quad (42-1-3)$$

یا به طور معادل

$$\left(E_{nk}^2 - m^2\right) = 2\sqrt{\beta^2 + A(E_{nk} + m)} \left(2N - \left(k + \alpha - \frac{1}{2}\right)\right) - (2k\beta - \beta + 2\alpha\beta), \quad (43-1-3)$$

که عدد کواتومی اصلی ما عبارتست از

$$N = n + \tilde{k} + \frac{1}{2}, \quad (44-1-3)$$

و ویژه توابع عبارتند از

$$g_k(r) = y^{\frac{(k+\alpha+1)}{2}} \exp\left(-\frac{1}{2}y\right) L_n^{(k+\alpha)+\frac{1}{2}}(y),$$

$$y = (\beta^2 + A(E_{nk} + m))^{\frac{1}{2}} r^2, \quad (45-1-3)$$

۳-۱-۳ حد تقارن شبہ/اسپینی

این بار حد شبہ اسپینی را در نظر می‌گیریم که در آن $\Sigma(r) = Ar^2$ صفر و $\Delta(r) = 0$ است:

$$\left(-\frac{d^2}{dr^2} + \frac{(\alpha+k-1)(\alpha+k)}{r^2} + r^2(A(E_{nk} - m) + \beta^2) + (-2k\beta - 2\alpha\beta - \beta)\right) f_k(r) =$$

$$(E_{nk}^2 - m^2) f_k(r), \quad (46-1-3)$$

که آن را به فرم زیر بازنویسی می‌کنیم

$$\left(-\frac{d^2}{dr^2} + \frac{(\alpha+k-1)(\alpha+k)}{r^2} + r^2(A(E_{nk} - m) + \beta^2) + 2\left(\alpha+k - \frac{3}{2}\right)\sqrt{\beta^2 + A(E_{nk} - m)}\right) =$$

$$\varepsilon'_{nk} f_k(r), \quad (47-1-3)$$

و با استدلالی مطابق وضعیت قبل

$$\varepsilon'_{nk} = \left((E_{nk}^2 - m^2) + (2k\beta + 2\alpha\beta + \beta) + 2\left(k + \alpha - \frac{3}{2}\right)\sqrt{\beta^2 + A(E_{nk} - m)} \right),$$

$$\varepsilon'_{nk} = 4N\sqrt{\beta^2 + A(E_{nk} - m)}, \quad (48-1-3)$$

$$f_k(r) = y^{\frac{(\alpha+k)}{2}} \exp\left(-\frac{1}{2}y\right) L_n^{\alpha+k-\frac{1}{2}}(y),$$

$$y = \sqrt{A(E_{nk} - m) + \beta^2} r^2, \quad (49-1-3)$$

روش NU ۲-۳

این روش برای حل بسیاری از معادلات ریاضی فیزیک از فیزیک ذرات گرفته تا کیهان شناسی و

فیزیک سیاه چاله ها کاربرد داشته است. معادله ای به فرم را در نظر بگیرید:

$$\psi''(s) + \frac{\tilde{\tau}(s)}{\sigma(s)} \psi'(s) + \frac{\tilde{\sigma}(s)}{\sigma^2(s)} \psi(s) = 0, \quad (1-2-3)$$

$\sigma(s)$ و $\tilde{\sigma}(s)$ چند جمله ای هایی حداکثر از مرتبه دو هستند و حداکثر مرتبه $(\tilde{\tau})$ ک است. با استفاده

از تبدیل

$$\psi(s) = W(s)\Phi(s), \quad (2-2-3)$$

معادله قبل تبدیل می شود به

$$\sigma(s)\Phi''(s) + \tau(s)\Phi'(s) + \lambda\Phi(s) = 0, \quad (3-2-3)$$

که

$$\tau(s) = \tilde{\tau}(s) + 2\pi(s), \quad \tau'(s) < 0. \quad (4-2-3)$$

معادله اصلی ما ک جواب خصوصی درجه دارد و

$$\lambda = \lambda_n = -n\tau'(s) - \frac{n(n-1)}{2}\sigma''(s), \quad \text{with } n = 0, 1, 2, \dots. \quad (5-2-3)$$

برای به دست آوردن انرژی سیستم، ناگزیریم جواب معادله

$$\pi(s) = \frac{\sigma'(s) - \tilde{\tau}(s)}{2} \pm \sqrt{\left(\frac{\sigma'(s) - \tilde{\tau}(s)}{2}\right)^2 - \tilde{\sigma}(s) + k\sigma(s)},$$

$$\lambda = k + \pi'(s), \quad (6-2-3)$$

را پیدا کنیم که در ان λ ک ثابت است. عبارت زیر رادیکال باشد توان دوی ک عبارت درجه یک

باشد چرا که $\pi(s)$ از درجه یک است و می توان جواب معادله اولیه بر حسب فرمول رودریگز نوشت

$$\Phi_n(s) = \frac{C_n}{\rho(s)} \frac{d^n}{ds^n} [\sigma^n(s)\rho(s)], \quad (7-2-3)$$

در این رابطه C_n ثابت بهنجارش است و تابع وزن در رابطه

$$[\sigma(s)\rho(s)]' = \tau(s)\rho(s). \quad (8-2-3)$$

صدق می‌کند. ضریب دیگر در رابطه لگاریتمی

$$\frac{d}{ds} \ln W(s) = \frac{\sigma(s)}{\pi(s)}. \quad (9-2-3)$$

صدق می‌کند.

۱-۲-۳ فرم پارامتریک روش

در فرم پارامتری این روش، کار ساده‌تر شده است. معادله

$$\left\{ \frac{d^2}{ds^2} + \frac{\alpha_1 - \alpha_2 s}{s(1 - \alpha_3 s)} \frac{d}{ds} + \frac{1}{[s(1 - \alpha_3 s)]^2} [-\xi_1 s^2 + \xi_2 s - \xi_3] \right\} \psi = 0 \quad (10-2-3)$$

را در نظر بگیری. طبق روش پارامتریک، ویژه توابع عبارتند از

$$\psi(s) = s^{\alpha_{12}} (1 - \alpha_3 s)^{-\alpha_{12} - \frac{\alpha_{13}}{\alpha_3}} P_n^{(\alpha_{10}-1, \frac{\alpha_{11}}{\alpha_3} - \alpha_{10}-1)} (1 - 2\alpha_3 s) \quad (11-2-3)$$

و ویژه مقادیر انرژی از رابطه

تعیین می‌شوند که در آن

$$\alpha_2 n - (2n+1)\alpha_5 + (2n+1)(\sqrt{\alpha_9} + \alpha_3 \sqrt{\alpha_8}) + n(n-1)\alpha_3 + \alpha_7 + 2\alpha_3\alpha_8 + 2\sqrt{\alpha_8\alpha_9} = 0, \quad (12-2-3)$$

۹

$$\alpha_4 = \frac{1}{2}(1 - \alpha_1),$$

$$\alpha_5 = \frac{1}{2}(\alpha_2 - 2\alpha_3),$$

$$\alpha_6 = \alpha_5^2 + \xi_1,$$

$$\alpha_7 = 2\alpha_4\alpha_5 - \xi_2,$$

$$\alpha_8 = \alpha_4^2 + \xi_3,$$

$$\alpha_9 = \alpha_3\alpha_7 + \alpha_3^2\alpha_8 + \alpha_6,$$

$$\alpha_{10} = \alpha_1 + 2\alpha_4 + 2\sqrt{\alpha_8},$$

$$\begin{aligned}\alpha_{11} &= \alpha_2 - 2\alpha_5 + 2(\sqrt{\alpha_9} + \alpha_3\sqrt{\alpha_8}), \\ \alpha_{12} &= \alpha_4 + \sqrt{\alpha_8} \\ \alpha_{13} &= \alpha_5 - (\sqrt{\alpha_9} + \alpha_3\sqrt{\alpha_8}).\end{aligned}\quad (13-2-3)$$

در حالت خاص $\alpha_3 = 0$, از روابط

$$\lim_{\alpha_3 \rightarrow 0} P_n^{(\alpha_{10}-1, \frac{\alpha_{11}}{\alpha_3}, \alpha_{10}-1)}(1-2\alpha_3 s) = L_n^{\alpha_{10}-1}(\alpha_{11}s), \quad (14-2-3)$$

۹

$$\lim_{\alpha_3 \rightarrow 0} (1-\alpha_3 s)^{-\alpha_{12}-\frac{\alpha_{13}}{\alpha_3}} = e^{\alpha_{13}s}, \quad (15-2-3)$$

داریم

$$\psi(s) = s^{\alpha_{12}} e^{\alpha_{13}s} L_n^{\alpha_{10}-1}(\alpha_{11}s), \quad (16-2-3)$$

۳-۳ روش حدس زدن^۱

در بسیاری از معادلات نمی‌توان جوابی دقیق پیدا کرد. در چنین مواردی می‌توان با حل یک معادله

ریکاتی جوابی مناسب برای مسئله حدس زد. برای روشن شدن موضوع جوابی به فرم

$$R_n(x) = f_n(x) \exp(g_n(x)), \quad (1-3-3)$$

را در نظر می‌گیریم که در آن

$$f_n(x) = \begin{cases} 1, & \text{if } n=0 \\ \prod_{i=1}^n (x - \alpha_i^n), & \text{if } n \geq 1 \end{cases}. \quad (2-3-3)$$

اگر جواب حالت پایه را در نظر بگیریم، می‌عنی

$$R_0(x) = \exp(g_0(x)), \quad (3-3-3)$$

و در معادله شرودینگر جایگذاری کنیم به یک معادله ریکاتی می‌رسیم که طرف دوم آن پتانسیل

معادله شرودینگر است، می‌عنی

$$g_0''(x) + g_0'^2(x) \equiv G'(x) + G^2(x) = V_{eff}(x). \quad (4-3-3)$$

¹ Ansatz

به طور مثال، پتانسیل مورس را در نظر بگیریم

$$V(r) = D_e \left[q - \exp(-\alpha x) \right]^2 = \\ D_e \exp(-2a(r - r_e)) - 2qD_e \exp(-a(r - r_e)) + q^2 D_e, \quad (5-3-3)$$

معادله شرودینگر متناظر عبارتست از

$$\left[\frac{d^2}{dr^2} - \frac{2\mu}{\hbar^2} V(r) - \frac{(D+2l-1)(D+2l-3)}{4r^2} + \frac{2\mu E_{n,l}}{\hbar^2} \right] R_{n,l}(r) = 0, \quad (6-3-3)$$

با باسط تابع نمایی داریم:

$$g''(x) + g'^2(x) \equiv G'(x) + G^2(x) = \\ A_4 x^4 + A_3 x^3 + A_2 x^2 + A_1 x + A_0 + \frac{A_{-1}}{x} + \frac{A_{-2}}{x^2}. \quad (7-3-3)$$

معادله ریکاتی متناظر عبارتست از

$$g''(x) + g'^2(x) \equiv G'(x) + G^2(x) = A_4 x^4 + A_3 x^3 + A_2 x^2 + A_1 x + A_0 + \frac{A_{-1}}{x} + \frac{A_{-2}}{x^2}. \quad (8-3-3)$$

که جوابی به فرم زیر دارد

$$g(x) = \alpha x^3 + \beta x^2 + \gamma x + \delta \ln x. \quad (9-3-3)$$

با قرار دادن این جواب در معادله و مساوی قرار دادن توانهای متناظر داریم:

$$\begin{aligned}
& \left(\frac{2\mu a^2}{\hbar^2} \left(D_e e^{2ar_e} - 2qD_e e^{ar_e} + q^2 D_e \right) + \frac{2\mu E_{n,l} a^2}{\hbar^2} \right) = \gamma^2 + 2\beta, \\
& \frac{2\mu a^2}{\hbar^2} \left(2D_e e^{2ar_e} - qD_e e^{ar_e} \right) = 6\alpha\delta + 4\beta\gamma + 4\beta\delta + 6\alpha, \\
& \frac{2\mu a^2}{\hbar^2} \left(2D_e e^{2ar_e} - qD_e e^{ar_e} \right) = 4\beta^2 + 6\alpha\gamma, \\
& \frac{2\mu a^2}{\hbar^2} \left(\frac{4D_e e^{2ar_e}}{3} - \frac{qD_e e^{ar_e}}{3} \right) = 12\alpha\beta, \\
& \frac{2\mu a^2}{\hbar^2} \left(\frac{2D_e e^{2ar_e}}{3} - \frac{qD_e e^{ar_e}}{12} \right) = 9\alpha^2, \\
& \frac{2\mu a^2 C}{\hbar^2} = 2\gamma\delta, \\
& \frac{\mu a^4 (D+2l-1)(D+2l-3)}{2\hbar^2} = \delta^2 - \delta. \tag{10-3-3}
\end{aligned}$$

که جواب مسئله را تعیین می‌کند. این روش علیرغم سادگی در حل بسیاری از مسایل فیزیک، از فیزیک ذرات و هسته‌ای گرفته تا کیهان‌شناسی مورد استفاده قرار گرفته است.

فصل چهار

معادله سالپی‌تر بدون اسپی‌ن دو جسمی تحت برهم‌کنش‌های مختلف

معادله سالپیتر بدون اسپین را می‌توان به عنوان تقریب مناسبی برای معادله بته-سالپیتر درنظرگرفت که برای توصیف حالت‌های مقید در نظریه میدان نسبیتی به کار می‌رود. در نگاهی دیگر این معادله تعمیم معادله موج غیرنسبیتی شرودینگر به محدوده نسبیتی است. در این معادله بستگی زمانی و همچنین درجات آزادی اسپینی در نظر گرفته نمی‌شوند.

بر خلاف سایر معادلاتی که معمولاً با آن‌ها کار می‌کنیم، این معادله دارای جواب‌های تحلیلی دقیق نیست و در حل آن ناگزیر از استفاده از روش‌های تقریبی هستیم. جنبه‌های مختلف این معادله و پیشنهادات بسیار خوب و جالبی برای حل آن در کارهای W. Lucha, F. F. Schoberl, R. Hall ارائه شده‌اند [۲۴-۱۰]. در این قسمت، ما این معادله را تحت پتانسیلی نمایی در نظر می‌گیریم که در بسیاری از سیستم‌های فیزیکی کاربرد دارند [۲۵-۳۳].

۱-۴ پتانسیل نمایی

معادله سالپیتر بدون اسپین برای دو ذره که تحت پتانسیلی با تقارن کروی برهم‌کنش می‌کنند، در سیستم مرکز جرم عبارتست از ۳۴۳۴۳۴۳۴

$$\left[\sum_{i=1,2} \sqrt{\Delta + m_i^2} + V(r) - M \right] \chi(r) = 0, \quad \Delta = \nabla^2 \quad (1-1-4)$$

که $\chi(r) = Y_{lm}(\theta, \phi)R_{nl}(r)$ برای ذرات سنگین، تقریب [۳۵-۳۹]

$$\sum_{i=1,2} \sqrt{\Delta + m_i^2} = m_1 + m_2 - \frac{\Delta}{2\mu} - \frac{\Delta^2}{8\eta^3} - \dots, \quad (2-1-4)$$

که در آن

$$\mu = \frac{m_1 m_2}{m_1 + m_2}, \quad \eta = \mu \left(\frac{m_1 m_2}{m_1 m_2 - 3\mu^2} \right)^{1/3}, \quad (3-1-4)$$

تقریبی کاملاً منطقی است. با جایگذاری داریم [۴۰-۴۵]

$$\left[\frac{-\hbar^2}{2\mu} \frac{d^2}{dr^2} + \frac{l(l+1)\hbar^2}{2\mu r^2} + W_{nl}(r) - \frac{W_{nl}^2(r)}{2\tilde{m}} \right] \psi_{nl}(r) = 0, \quad (4-1-4)$$

که

$$W_{nl}(r) = V(r) - E_{nl}(r), \\ \tilde{m} = \eta^3 / \mu^2 = (m_1 m_2 \mu) / (m_1 m_2 - 3\mu^2). \quad (5-1-4)$$

اکنون یک پتانسیل نمایی به فرم $V(r) = v_0 e^{-a(r-r_0)}$ را درنظر می‌گیریم که در توصیف سیستم‌های با انرژی بالا کاربرد دارد. با این جایگذاری داریم

$$\left[\frac{-\hbar^2}{2\mu} \frac{d^2}{dr^2} + \frac{l(l+1)\hbar^2}{2\mu r^2} + (v_0 e^{-a(r-r_0)} - E_{nl}) - \frac{(v_0^2 e^{-2a(r-r_0)} + E_{nl}^2 - 2v_0 e^{-a(r-r_0)} E_{nl})}{2\tilde{m}} \right] \psi_{nl}(r) = 0. \quad (6-1-4)$$

اکنون برای حل تحلیلی معادله از تقریب

$$\frac{1}{r^2} \approx (C_0 + C_1 e^{-\alpha x} + C_2 e^{-2\alpha x}), \quad (7-1-4)$$

استفاده می‌کنیم که در آن

$$x = \frac{r - r_0}{r_0}, \\ \alpha = ar_0 \\ C_0 = \frac{1}{r_0^2} \left(1 - \frac{3}{\alpha} + \frac{3}{\alpha^2} \right), \\ C_1 = \frac{1}{r_0^2} \left(\frac{4}{\alpha} - \frac{6}{\alpha^2} \right), \\ C_2 = \frac{1}{r_0^2} \left(\frac{-1}{\alpha} + \frac{3}{\alpha^2} \right). \quad (8-1-4)$$

با جایگذاری رابطه اخیر در معادله (4) داریم

$$\left[-\frac{d^2}{dx^2} + e^{-\alpha x} r_0^2 \left(C_1 l(l+1) + \frac{2\mu v_0}{\hbar^2} + \frac{2v_0 E_{nl} \mu}{\tilde{m} \hbar^2} \right) + e^{-2\alpha x} r_0^2 \left(-\frac{\mu v_0^2}{\tilde{m} \hbar^2} + C_2 l(l+1) \right) + r_0^2 \left(+C_0 l(l+1) - \frac{2\mu E_{nl}}{\hbar^2} - \frac{\mu E_{nl}^2}{\tilde{m} \hbar^2} \right) \right] \times \psi_{nl}(x) = 0 \quad (9-1-4)$$

اکنون یک مثال ابرتقارنی دیگر را مرور می‌کنیم. اگر ابرپتانسیل را مطابق

$$\Phi(x) = A - B \exp(-\alpha x), \quad (10-1-4)$$

انتخاب کنیم، داریم

$$\begin{cases} V_+(x) = \Phi^2(x) + \Phi'(x) = A^2 + B^2 \exp(-2\alpha x) - 2B(A + \alpha/2)\exp(-\alpha x) \\ V_-(x) = \Phi^2(x) - \Phi'(x) = A^2 + B^2 \exp(-2\alpha x) - 2B(A - \alpha/2)\exp(-\alpha x) \end{cases}, \quad (11-1-4)$$

همان‌طور که در قسمت مربوط به حدود تقارنی معادله دیراک به اختصار اشاره شد، این پتانسیل‌ها تحت

یک نگاشت به فرم

$$A_1 = F(A) = A - \alpha. \quad (12-1-4)$$

دارای ناوردايی‌شکل هستند. بنابر اين ، مشابه آنچه قبلًا گفته شد، داریم

$$\begin{aligned} A_1 &= F(A) = A - \alpha, \\ A_2 &= F(A_1) = A_1 - \alpha = A - 2\alpha, \\ &\vdots \\ A_s &= F(A_{s-1}) = A - n\alpha, \end{aligned} \quad (13-1-4)$$

و با استفاده از رابطه ویژه‌مقادیر انرژی و توابع موج به ترتیب عبارتند از

$$\begin{aligned} E_n &= \sum_{s=1}^n R(A_s) = R(A_1) + R(A_2) + \cdots + R(A_n) \\ &= (A^2 - A_1^2) + (A_1^2 - A_2^2) + \cdots + (A_{n-1}^2 - A_n^2) \\ &= A^2 - A_n^2 = A^2 - (A - n\alpha)^2. \end{aligned} \quad (14-1-4)$$

۶

$$\begin{aligned} y^{s-n} \exp(-y/2) L_n^{2s-2n}(y) \\ y = (2B/\alpha) \exp(-\alpha x), \\ s = A/\alpha. \end{aligned} \quad (15-1-4)$$

اکنون می‌بینیم که باز هم یک معادله شبه-شروع‌دینگر تحت پتانسیل روزن-مورس داریم و بنابراین

$$B^2 = r_0^2 \left(-\frac{\mu v_0^2}{\tilde{m} \hbar^2} + C_2 l(l+1) \right), \quad (16-1-4)$$

$$r_0^2 \left(C_1 l(l+1) + \frac{2\mu v_0}{\hbar^2} + \frac{2v_0 E_{nl} \mu}{\tilde{m} \hbar^2} \right) = -2 \sqrt{r_0^2 \left(-\frac{\mu v_0^2}{\tilde{m} \hbar^2} + C_2 l(l+1) \right)} (A + \alpha/2), \quad (17-1-4)$$

$$A = \frac{r_0^2 \left(C_1 l(l+1) + \frac{2\mu v_0}{\hbar^2} + \frac{2v_0 E_{nl} \mu}{\tilde{m} \hbar^2} \right)}{-2 \sqrt{r_0^2 \left(-\frac{\mu v_0^2}{\tilde{m} \hbar^2} + C_2 l(l+1) \right)}} - \alpha/2, \quad (18-1-4)$$

۹

$$\begin{aligned} & \left(\left(2r_0 \sqrt{\left(-\frac{\mu v_0^2}{\tilde{m} \hbar^2} + C_2 l(l+1) \right)} / \alpha \right) \exp(-\alpha x) \right)^{\frac{r_0 \left(C_1 l(l+1) + \frac{2\mu v_0}{\hbar^2} + \frac{2v_0 E_{nl} \mu}{\tilde{m} \hbar^2} \right)}{-2\alpha \sqrt{\left(-\frac{\mu v_0^2}{\tilde{m} \hbar^2} + C_2 l(l+1) \right)}} - 1/2 - n} \\ & \times \exp(-\left(2r_0 \sqrt{\left(-\frac{\mu v_0^2}{\tilde{m} \hbar^2} + C_2 l(l+1) \right)} / \alpha \right) \exp(-\alpha x) / 2) \\ & \times L_n^{-\alpha \sqrt{\left(-\frac{\mu v_0^2}{\tilde{m} \hbar^2} + C_2 l(l+1) \right)}} \left(\left(2r_0 \sqrt{\left(-\frac{\mu v_0^2}{\tilde{m} \hbar^2} + C_2 l(l+1) \right)} / \alpha \right) \exp(-\alpha x) \right), \end{aligned} \quad (19-1-4)$$

رابطه ابرزی نیز عبارتست از

$$\begin{aligned} & r_0^2 \left(C_0 l(l+1) - \frac{2\mu E_{nl}}{\hbar^2} - \frac{\mu E_{nl}^2}{\tilde{m} \hbar^2} \right) = \\ & \left(\frac{r_0 \left(C_1 l(l+1) + \frac{2\mu v_0}{\hbar^2} + \frac{2v_0 E_{nl} \mu}{\tilde{m} \hbar^2} \right)}{2 \sqrt{\left(C_2 l(l+1) - \frac{\mu v_0^2}{\tilde{m} \hbar^2} \right)}} + \left(N + \frac{1}{2} \right) \alpha \right)^2, \end{aligned} \quad (20-1-4)$$

۲-۴ پتانسیل یوکاوا^۱

در این قسمت پتانسیل معروف یوکاوا را درنظرمی‌گیریم:

¹ Yukawa

$$V(r) = V_0 \frac{e^{-\alpha r}}{r}, \quad (1-2-4)$$

معادله سالپی‌تر متناظر عبارتست از

$$\left[\frac{-\hbar^2}{2\mu} \frac{d^2}{dr^2} + \frac{l(l+1)\hbar^2}{2\mu r^2} + (V_0 \frac{e^{-\alpha r}}{r} - E_{n,l}) - \frac{1}{2\tilde{m}} (V_0 \frac{e^{-\alpha r}}{r} - E_{n,l})^2 \right] \psi_{n,l}(r) = 0. \quad (2-2-4)$$

در ابتدا تقریب‌های

$$\frac{1}{r^2} \approx \frac{4\alpha^2 e^{-2\alpha r}}{(1-e^{-2\alpha r})^2}, \quad (3-2-4)$$

and

$$\frac{1}{r} \approx \frac{2\alpha e^{-\alpha r}}{(1-e^{-2\alpha r})}, \quad (4-2-4)$$

را معرفی می‌کنیم. با این کار می‌رسیم به

$$\begin{aligned} & \left[\frac{d^2}{dr^2} - 4\alpha^2 l(l+1) \frac{e^{-2\alpha r}}{(1-e^{-2\alpha r})^2} - \frac{2\mu}{\hbar^2} (2V_0\alpha \frac{e^{-2\alpha r}}{1-e^{-2\alpha r}} - E_{n,l}) + \frac{\mu}{\hbar^2 \tilde{m}} (2V_0\alpha \frac{e^{-2\alpha r}}{1-e^{-2\alpha r}} - E_{n,l})^2 \right] \\ & \times \psi_{n,l}(r) = 0. \end{aligned} \quad (5-2-4)$$

برای حل این معادله ابتدا تبدیل $z = e^{-2\alpha r}$ را معرفی می‌کنیم. با این کار داریم

$$\begin{aligned} & \left[\frac{d^2}{dz^2} + \frac{1-z}{z(1-z)} \frac{d}{dz} + \frac{1}{[z(1-z)]^2} \left\{ -\left(-\frac{\mu}{\hbar^2 \alpha^2} (V_0 + \frac{E_{n,l}}{2}) - \frac{\mu V_0^2}{\hbar^2 \tilde{m}} - \frac{\mu E_{n,l}^2}{4\hbar^2 \tilde{m} \alpha^2} + \frac{\mu V_0 E_{n,l}}{\hbar^2 \tilde{m} \alpha^2}\right) z^2 \right. \right. \\ & + \left. \left. (-l(l+1) - \frac{\mu V_0}{\hbar^2 \alpha} - \frac{\mu E_{n,l}}{\hbar^2 \alpha^2} - \frac{\mu E_{n,l}^2}{2\hbar^2 \tilde{m} \alpha^2} - \frac{\mu V_0 E_{n,l}}{\hbar^2 \tilde{m} \alpha^2}) z \right. \right. \\ & \left. \left. - \left(-\frac{\mu E_{n,l}^2}{4\hbar^2 \tilde{m} \alpha^2} - \frac{\mu E_{n,l}}{2\hbar^2 \alpha^2}\right)\right\} \right] \psi_{n,l}(z) = 0. \end{aligned} \quad (6-2-4)$$

و پارامترهای مورد نیاز در روش NU عبارتند از

$$\begin{aligned} \xi_1 &= -\frac{\mu}{\hbar^2 \alpha^2} (V_0 + \frac{E_{n,l}}{2}) - \frac{\mu V_0^2}{\hbar^2 \tilde{m}} - \frac{\mu E_{n,l}^2}{4\hbar^2 \tilde{m} \alpha^2} + \frac{\mu V_0 E_{n,l}}{\hbar^2 \tilde{m} \alpha^2}, \\ \xi_2 &= -l(l+1) - \frac{\mu V_0}{\hbar^2 \alpha} - \frac{\mu E_{n,l}}{\hbar^2 \alpha^2} - \frac{\mu E_{n,l}^2}{2\hbar^2 \tilde{m} \alpha^2} - \frac{\mu V_0 E_{n,l}}{\hbar^2 \tilde{m} \alpha^2}, \\ \xi_3 &= -\frac{\mu E_{n,l}^2}{4\hbar^2 \tilde{m} \alpha^2} - \frac{\mu E_{n,l}}{2\hbar^2 \alpha^2}, \\ \alpha_1 &= \alpha_2 = \alpha_3 = 1. \end{aligned} \quad (7-2-4)$$

و معادله انرژی متناظر عبارتست از

$$n + \frac{1}{2}(2n+1) + (2n+1)(\sqrt{\frac{1}{4} + \xi_1 + \xi_3 - \xi_2 + \sqrt{\xi_3}}) + n(n-1) - \xi_2 + 2\xi_3 + 2\sqrt{\xi_3(\frac{1}{4} + \xi_1 + \xi_3 - \xi_2)} = 0, \quad (8-2-4)$$

نوابع موج هم عبارتند از

$$\psi_{n,l}(z) = z^{\alpha_{12}}(1-z)^{-\alpha_{12}-\alpha_{13}} p_n^{(\alpha_{10}-1, \alpha_{11}-\alpha_{10}-1)}(1-2z). \quad (9-2-4)$$

۴۵

$$\begin{aligned}
 \alpha_4 &= 0, \\
 \alpha_5 &= -\frac{1}{2}, \\
 \alpha_6 &= \frac{1}{4} + \xi_1, \\
 \alpha_7 &= -\xi_2, \\
 \alpha_8 &= \xi_3, \\
 \alpha_9 &= \frac{1}{4} + \xi_1 + \xi_3 - \xi_2, \\
 \alpha_{10} &= 1 + 2\sqrt{\xi_3}, \\
 \alpha_{11} &= 2 + 2\left(\sqrt{\frac{1}{4} + \xi_1 + \xi_3 - \xi_2} + \sqrt{\xi_3}\right), \\
 \alpha_{12} &= \sqrt{\xi_3}, \\
 \alpha_{13} &= -\frac{1}{2} - \left(\sqrt{\frac{1}{4} + \xi_1 + \xi_3 - \xi_2} + \sqrt{\xi_3}\right). \quad (10-2-4)
 \end{aligned}$$

و در نتیجه

$$\psi(s) = s^{\alpha_{12}}(1-\alpha_3 s)^{-\alpha_{13}} p_n^{(\alpha_{10}-1, \alpha_{11}-\alpha_{10}-1)}(1-2\alpha_3 s), \quad (11-2-4)$$

جدول ۱.۴ ارزی ای و کاوا برای سیستم انرژی پتانسیل به

$$\alpha = 0.001, V_0 = -0.7, \mu = \frac{1}{2}, \tilde{m} = 2 \text{ and } \hbar = 1$$

$ n,l\rangle$	$E_{0,l}$	$ n,l\rangle$	$E_{1,l}$	$ n,l\rangle$	$E_{2,l}$	$ n,l\rangle$	$E_{3,l}$
$ 0,0\rangle$	0.2917844975	$ 1,0\rangle$	0.2909912076	$ 2,0\rangle$	0.2901983486	$ 3,0\rangle$	0.2894059234

$ 0,1\rangle$	0.2917807046	$ 1,1\rangle$	0.2909874117	$ 2,1\rangle$	0.2901945495	$ 3,1\rangle$	0.2894021212
$ 0,2\rangle$	0.2917731190	$ 1,2\rangle$	0.2909798198	$ 2,2\rangle$	0.2901869514	$ 3,2\rangle$	0.2893945169
$ 0,3\rangle$	0.2917617409	$ 1,3\rangle$	0.2909684324	$ 2,3\rangle$	0.2901755547	$ 3,3\rangle$	0.2893831108
$ 0,4\rangle$	0.2917465708	$ 1,4\rangle$	0.2909532499	$ 2,4\rangle$	0.2901603597	$ 3,4\rangle$	0.2893679034
$ 0,5\rangle$	0.2917276092	$ 1,5\rangle$	0.2909342727	$ 2,5\rangle$	0.2901413671	$ 3,5\rangle$	0.2893488952
$ 0,6\rangle$	0.2917048569	$ 1,6\rangle$	0.2909115017	$ 2,6\rangle$	0.2901185774	$ 3,6\rangle$	0.2893260870
$ 0,7\rangle$	0.2916783146	$ 1,7\rangle$	0.2908849377	$ 2,7\rangle$	0.2900919917	$ 3,7\rangle$	0.2892994795
$ 0,8\rangle$	0.2916479835	$ 1,8\rangle$	0.2908545817	$ 2,8\rangle$	0.2900616108	$ 3,8\rangle$	0.2892690739
$ 0,9\rangle$	0.2916138645	$ 1,9\rangle$	0.2908204348	$ 2,9\rangle$	0.2900274360	$ 3,9\rangle$	0.2892348711
$ 0,10\rangle$	0.2915759590	$ 1,10\rangle$	0.2907824983	$ 2,10\rangle$	0.2899894685	$ 3,10\rangle$	0.2891968726

۳-۴ پتانسیل وودز-ساکسون^۱

$$V(r) = -\frac{V_0}{1 + \exp(\frac{r - R_0}{a})}, \quad (1-3-4)$$

و معادله متناظر تبدیل می‌شود به

$$\left[\frac{-\hbar^2}{2\mu} \frac{d^2}{dr^2} + \frac{l(l+1)\hbar^2}{2\mu r^2} + \left(-\frac{V_0}{1 + \exp(\frac{r - R_0}{a})} - E_{n,l} \right) - \frac{1}{2\tilde{m}} \left(-\frac{V_0}{1 + \exp(\frac{r - R_0}{a})} - E_{n,l} \right)^2 \right] \psi_{n,l}(r) = 0. \quad (2-3-4)$$

با تبدیلی به فرم

$$x = \frac{r - R_0}{R_0}, \quad \alpha = \frac{R_0}{a} \quad (3-3-4)$$

معادله سالپیتر تبدیل می‌شود به

¹ Woods-Saxon

$$\left[\frac{1}{R_0^2} \frac{d^2}{dx^2} - \frac{l(l+1)}{R_0^2(1+x)^2} - \frac{2\mu}{\hbar^2} \left(-\frac{V_0}{1+\exp(\alpha x)} - E_{n,l} \right) + \frac{\mu}{\hbar^2 \tilde{m}} \left(-\frac{V_0}{1+\exp(\alpha x)} - E_{n,l} \right)^2 \right] \psi_{n,l}(x) = 0. \quad (4-3-4)$$

برای این که بتوان جوابی کلی را به دست آورد، تقریب زیر را معرفی می‌کنیم:

$$\frac{1}{r^2} \approx \frac{1}{R_0^2} \frac{1}{(1+x)^2} \approx \frac{1}{R_0^2} \left(C_0 + \frac{C_1}{1+\exp(\alpha x)} + \frac{C_2}{(1+\exp(\alpha x))^2} \right) \quad (5-3-4)$$

که

$$\begin{aligned} C_0 &= 1 - \frac{4}{\alpha} + \frac{12}{\alpha^2}, \\ C_1 &= \frac{8}{\alpha} - \frac{48}{\alpha^2}, \\ C_2 &= \frac{48}{\alpha^2}, \end{aligned} \quad (6-3-4)$$

با استفاده از این تقریب، داریم

$$\left\{ \frac{1}{R_0^2} \frac{d^2}{dx^2} - \frac{l(l+1)}{R_0^2} \left(C_0 + \frac{C_1}{1+\exp(\alpha x)} + \frac{C_2}{(1+\exp(\alpha x))^2} \right) - \frac{2\mu}{\hbar^2} \left(-\frac{V_0}{1+\exp(\alpha x)} - E_{n,l} \right) + \frac{\mu}{\hbar^2 \tilde{m}} \left(-\frac{V_0}{1+\exp(\alpha x)} - E_{n,l} \right)^2 \right\} \psi_{n,l}(x) = 0. \quad (7-3-4)$$

اکنون با استفاده از $y = e^{\alpha x}$ این معادله را به فرم

$$\left[\frac{d^2}{dy^2} + \frac{1+y}{y(1+y)} \frac{d}{dy} + \frac{1}{[y(1+y)]^2} \left\{ -\left(-\frac{C}{\alpha^2}\right)y^2 + \left(\frac{B}{\alpha^2} + \frac{2C}{\alpha^2}\right)y - \left(-\frac{A}{\alpha^2} - \frac{B}{\alpha^2} - \frac{C}{\alpha^2}\right) \right\} \right] \psi_{n,l}(y) = 0 \quad (8-3-4)$$

می‌نویسیم که در آن

$$\begin{aligned} A &= -l(l+1)C_2 + \frac{\mu V_0^2 R_0^2}{\hbar^2 \tilde{m}}, \\ B &= -l(l+1)C_1 + \frac{2\mu V_0 R_0^2}{\hbar^2} + \frac{2\mu V_0 R_0^2}{\hbar^2 \tilde{m}}, \\ C &= -l(l+1)C_0 + \frac{2\mu E_{n,l} R_0^2}{\hbar^2} + \frac{\mu E_{n,l}^2 R_0^2}{\hbar^2 \tilde{m}}, \end{aligned} \quad (9-3-4)$$

همان‌طور که واضح است، این معادله به فرم فوق‌هندسی تبدیل شده است و پارامترهای مورد نیاز

ubarند از

$$\xi_1 = -\frac{C}{\alpha^2}, \quad \xi_2 = \frac{B+2C}{\alpha^2}, \quad \xi_3 = \frac{-A-B-C}{\alpha^2}$$

$$\alpha_1 = 1, \quad \alpha_2 = \alpha_3 = -1$$

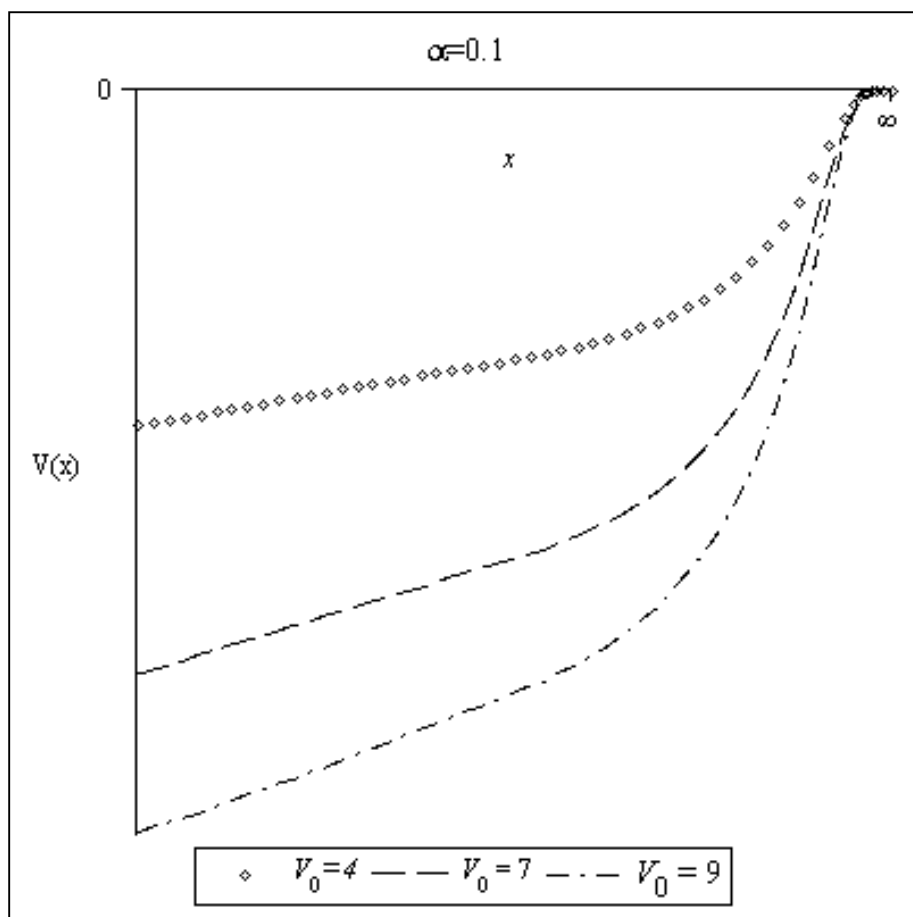
$$\begin{aligned} \alpha_4 &= 0, \quad \alpha_5 = \frac{1}{2}, \quad \alpha_6 = \frac{1}{4} + \xi_1, \quad \alpha_7 = -\xi_2, \quad \alpha_8 = \xi_3 \\ \alpha_9 &= \frac{1}{4} + \xi_1 + \xi_3 + \xi_2, \quad \alpha_{10} = 1 + 2\sqrt{\xi_3}, \\ \alpha_{11} &= -2 + 2(\sqrt{\frac{1}{4} + \xi_1 + \xi_3 + \xi_2} - \sqrt{\xi_3}), \quad \alpha_{12} = \sqrt{\xi_3}, \\ \alpha_{13} &= \frac{1}{2} - (\sqrt{\frac{1}{4} + \xi_1 + \xi_3 + \xi_2} - \sqrt{\xi_3}), \end{aligned} \tag{10-3-4}$$

در نتیجه

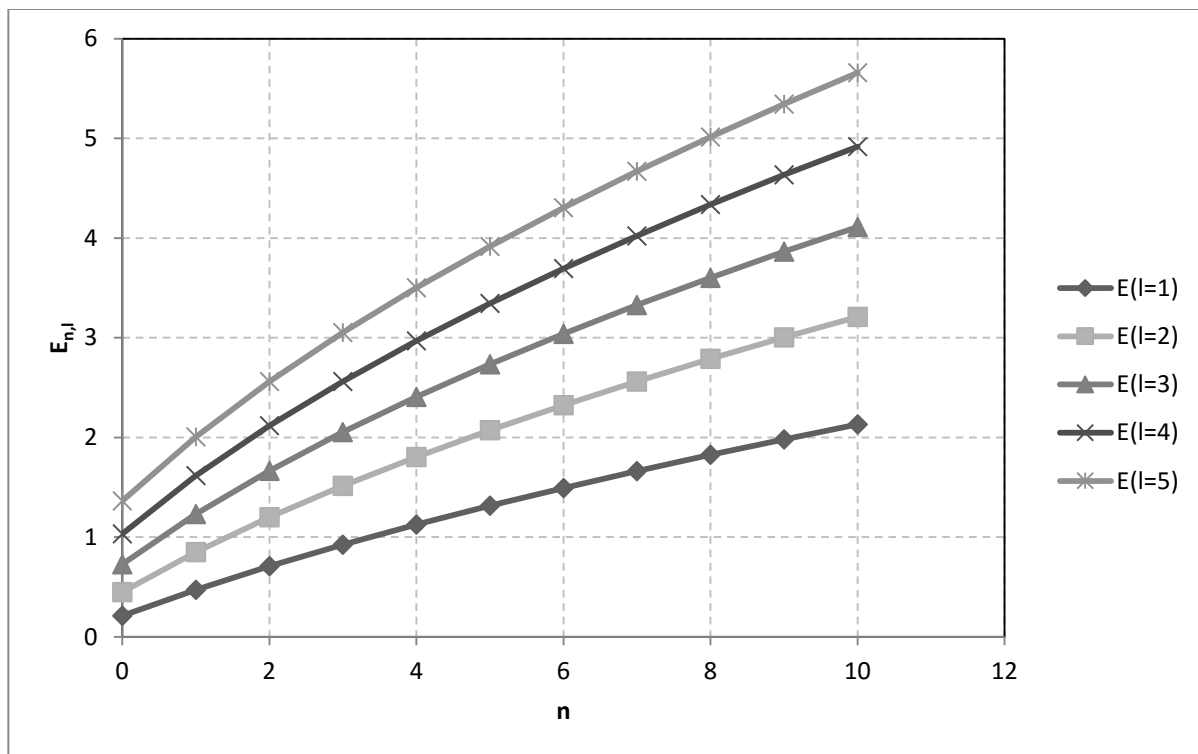
$$\begin{aligned} -n - \frac{1}{2}(2n+1) + (2n+1)(\sqrt{\frac{1}{4} + \xi_1 + \xi_3 + \xi_2} - \sqrt{\xi_3}) - n(n-1) \\ -\xi_2 - 2\xi_3 + 2\sqrt{\xi_3(\frac{1}{4} + \xi_1 + \xi_3 + \xi_2)} = 0, \end{aligned} \tag{11-3-4}$$

$$\psi_{n,l}(y) = y^{\alpha_{12}}(1+y)^{-\alpha_{12}+\alpha_{13}} p_n^{(\alpha_{10}-1, -\alpha_{11}-\alpha_{10}-1)}(1+2y). \tag{12-3-4}$$

در جدول طیف انرژی سیستم گزارش داده شده است.



شکل ۱.۴. پتانسیل وودز-ساکسون



شکل ۲.۴. انرژی پتانسیل وودز-ساکسون به ازای $\alpha = 0.1, V_0 = 0.02, \mu = \frac{1}{2}, \tilde{m} = 2, r_0 = 4$ and $\hbar = 1$

جدول ۳.۴. انرژی سیستم برای پتانسیل وودز-ساکسون به ازای

$$\alpha = 0.1, V_0 = 0.02, \mu = \frac{1}{2}, \tilde{m} = 2, r_0 = 4 \text{ and } \hbar = 1$$

$ n,l\rangle$	$E_{0,l}$	$ n,l\rangle$	$E_{1,l}$	$ n,l\rangle$	$E_{2,l}$	$ n,l\rangle$	$E_{3,l}$
---------------	-----------	---------------	-----------	---------------	-----------	---------------	-----------

$ 0,0\rangle$	-0.727861667	$ 1,0\rangle$	-1.140284105	$ 2,0\rangle$	-0.068680033	$ 3,0\rangle$	-0.046192722
$ 0,1\rangle$	0.479792734	$ 1,1\rangle$	1.143856306	$ 2,1\rangle$	1.687396737	$ 3,1\rangle$	2.157965985
$ 0,2\rangle$	0.861986096	$ 1,2\rangle$	1.830828599	$ 2,2\rangle$	2.597613966	$ 3,2\rangle$	3.251614486
$ 0,3\rangle$	1.246292653	$ 1,3\rangle$	2.440449462	$ 2,3\rangle$	3.373570362	$ 3,3\rangle$	4.165344056
$ 0,4\rangle$	1.634619139	$ 1,4\rangle$	3.006699480	$ 2,4\rangle$	4.074709669	$ 3,4\rangle$	4.979661087
$ 0,5\rangle$	2.026402250	$ 1,5\rangle$	3.544193272	$ 2,5\rangle$	4.726269886	$ 3,5\rangle$	5.728248822
$ 0,6\rangle$	2.420929093	$ 1,6\rangle$	4.061037315	$ 2,6\rangle$	5.342083410	$ 3,6\rangle$	6.429394261
$ 0,7\rangle$	2.817613025	$ 1,7\rangle$	4.562305120	$ 2,7\rangle$	5.930747284	$ 3,7\rangle$	7.094401062
$ 0,8\rangle$	3.216004433	$ 1,8\rangle$	5.051413663	$ 2,8\rangle$	6.498035879	$ 3,8\rangle$	7.730840669
$ 0,9\rangle$	3.615762715	$ 1,9\rangle$	5.530783459	$ 2,9\rangle$	7.048041296	$ 3,9\rangle$	8.34407392
$ 0,10\rangle$	4.016628558	$ 1,10\rangle$	6.002194502	$ 2,10\rangle$	7.583780839	$ 3,10\rangle$	8.93805517

۴-۴ سالپیتر برای هالسن^۱

این بار پتانسیل هالسن زیر را در نظر می‌گیریم

$$V(r) = -\frac{V_0}{e^{\alpha r} - 1}, \quad (1-4-4)$$

که V_0, α ثابت هستند. با انتخاب $\psi_{nl}(r) = \frac{U_{n,l}(r)}{r}$ معادله قبل تبدیل می‌شود به

$$\left[\frac{-\hbar^2}{2\mu} \frac{d^2}{dr^2} + \frac{l(l+1)\hbar^2}{2\mu r^2} - \frac{V_0}{e^{\alpha r} - 1} - E_{nl} - \frac{1}{2\tilde{m}} \frac{V_0^2}{(e^{\alpha r} - 1)^2} - \frac{E_{nl}^2}{2\tilde{m}} - \frac{V_0 E_{nl}}{2\tilde{m}(e^{\alpha r} - 1)} \right] U_{n,l}(r) = 0, \quad (2-4-4)$$

قبل از اینکه ادامه دهیم، از تقریب قابل قبول ۴۷

$$\frac{1}{r^2} \approx \frac{\alpha^2}{(e^{\alpha r} - 1)^2}, \quad (3-4-4)$$

استفاده می‌کنیم. با این کار داریم

¹ Hulthén

$$\left\{ \frac{d^2}{dr^2} + \frac{2\mu V_0 - \frac{\mu V_0 E_{nl}}{\tilde{m}}}{\hbar^2(1-e^{-\alpha r})} e^{-\alpha r} - \frac{l(l+1)\alpha^2 - \frac{\mu V_0^2}{\tilde{m}\hbar^2}}{(1-e^{-\alpha r})^2} e^{-2\alpha r} + \frac{2\mu E_{nl}}{\hbar^2} + \frac{\mu E_{nl}^2}{\tilde{m}\hbar^2} \right\} U_{n,l}(r) = 0, \quad (4-4-4)$$

اکنون با تغییر متغیر $z = e^{-\alpha r}$ و انتخاب

$$A = \frac{2\mu V_0 - \frac{\mu V_0 E_{nl}}{\tilde{m}}}{\hbar^2},$$

$$B = -l(l+1)\alpha^2 - \frac{\mu V_0^2}{\tilde{m}\hbar^2},$$

$$C = \frac{2\mu E_{nl}}{\hbar^2} + \frac{\mu E_{nl}^2}{\tilde{m}\hbar^2}, \quad (5-4-4)$$

می‌رسیم به

$$\left\{ \frac{d^2}{dz^2} + \frac{(1-z)}{z(1-z)} \frac{d}{dz} + \frac{1}{z^2(1-z)^2} \left[\frac{1}{\alpha^2} (-A + B + C) z^2 + \frac{1}{\alpha^2} (-2C + A) z + \frac{1}{\alpha^2} C \right] \right\} U_{n,l}(z) = 0, \quad (6-4-4)$$

با مقایسه داریم

$$\begin{aligned} \alpha_1 &= 1, \\ \alpha_2 &= 1, \\ \alpha_3 &= 1 \\ \xi_1 &= \frac{-1}{\alpha^2} (-A + B + C), \\ \xi_2 &= \frac{1}{\alpha^2} (-2C + A) \\ \xi_3 &= \frac{-1}{\alpha^2} C \end{aligned}$$

و سایر ضرایب مطابق زیر به دست می‌آیند

$$\alpha_4 = 0,$$

$$\alpha_5 = -\frac{1}{2},$$

$$\alpha_6 = \frac{1}{4} + \xi_1,$$

$$\alpha_7 = -\xi_2$$

$$\alpha_8 = \xi_3$$

$$\alpha_9 = -\xi_2 + \xi_3 + \frac{1}{4} + \xi_1$$

$$\alpha_{10} = 1 + 2\sqrt{\xi_3},$$

$$\alpha_{11} = 2(\sqrt{-\xi_2 + \xi_3 + \frac{1}{4} + \xi_1} + \sqrt{\xi_3})$$

$$\alpha_{12} = \sqrt{\xi_3},$$

$$\alpha_{13} = -\frac{1}{2} - (\sqrt{-\xi_2 + \xi_3 + \frac{1}{4} + \xi_1} + \sqrt{\xi_3}), \quad (7-4-4)$$

در نتیجه

$$n + \frac{1}{2}(2n+1) + (2n+1)(\sqrt{-\xi_2 + \xi_3 + \frac{1}{4} + \xi_1} + \sqrt{\xi_3}) + n(n-1) - \xi_2 - 2\xi_2\xi_3 + 2\sqrt{\xi_3(-\xi_2 + \xi_3 + \frac{1}{4} + \xi_1)} = 0, \quad (8-4-4)$$

یا

$$n + \frac{1}{2}(2n+1) + (2n+1)(\sqrt{-[\frac{1}{\alpha^2}(-2C+A)] + [\frac{-1}{\alpha^2}C] + \frac{1}{4} + [\frac{-1}{\alpha^2}(-A+B+C)]} + \sqrt{\xi_3}) + n(n-1) - [\frac{1}{\alpha^2}(-2C+A)] - 2[\frac{1}{\alpha^2}(-2C+A)](\frac{-1}{\alpha^2}C) + 2\sqrt{(\frac{-1}{\alpha^2}C)(-[\frac{1}{\alpha^2}(-2C+A)] + (\frac{-1}{\alpha^2}C) + \frac{1}{4} + [\frac{-1}{\alpha^2}(-A+B+C)])} = 0, \quad (9-4-4)$$

و ویژه توابع عبارتند از

$$U_{n,l}(z) = z^{\sqrt{\xi_3}} (1-z)^{-\sqrt{\xi_3} - \frac{1}{2} - (\sqrt{-\xi_2 + \xi_3 + \frac{1}{4} + \xi_1} + \sqrt{\xi_3})} P_n^{(1+2\sqrt{\xi_3}-1, 2(\sqrt{-\xi_2 + \xi_3 + \frac{1}{4} + \xi_1} + \sqrt{\xi_3})-1+2\sqrt{\xi_3}-1)} (1-2z), \quad (10-4-4)$$

۴-۵ معادله سالپیتر تحت برهمنش کولنی هسته نرم^۱

این پتانسل عبارتست از

$$V(r) = \frac{g}{r} - \frac{f}{r + \beta}, \quad (1-5-4)$$

معادله متناظر دارای فرم زیر است

$$\begin{aligned} & [\frac{d^2}{dr^2} - (2\mu g + \frac{2\mu gf}{\beta \tilde{m}} + \frac{2gE_{n,l}\mu}{\tilde{m}}) \frac{1}{r} + (\frac{\mu g^2}{\tilde{m}} - l(l+1)) \frac{1}{r^2} \\ & + (2\mu f + \frac{2gf\mu}{\beta \tilde{m}} + \frac{2fE_{n,l}\mu}{\tilde{m}}) \frac{1}{r + \beta} + \frac{\mu f^2}{\tilde{m}} \frac{1}{(r + \beta)^2} + 2\mu(E_{n,l} + \frac{E_{n,l}^2}{2\tilde{m}})]\psi_{n,l}(r) = 0. \end{aligned} \quad (2-5-4)$$

اکنون جوابی مطابق زیر را معرفی می‌کنیم

$$\psi_{n,l}(r) = h_n(r) \exp(s_l(r)), \quad (3-5-4)$$

که در آن

$$h_n(r) = \begin{cases} 1, & \text{if } n=0 \\ \prod_{i=1}^n (r - \alpha_i^n), & \text{if } n \geq 1 \end{cases}, \quad (4-5-4)$$

$$s_l(r) = \delta \ln(r) + \eta \ln(r + \beta) + \xi r. \quad (6-5-4)$$

پس از قراردادن این جواب در معادله می‌رسیم به

$$\begin{aligned} \psi''_{0,l}(r) = & \\ & [(\frac{2\delta\eta}{\beta} + 2\delta\xi) \frac{1}{r} + (\delta^2 - \delta) \frac{1}{r^2} + (-\frac{2\delta\eta}{\beta} + 2\eta\xi) \frac{1}{r + \beta} + (\eta^2 - \eta) \frac{1}{(r + \beta)^2} + \xi^2] \psi_{0,l}(r). \end{aligned} \quad (7-5-4)$$

با جایگذاری جواب پیشنهادی و مساوی قراردادن توانها می‌رسیم به

$$\begin{aligned}
\frac{2\delta\eta}{\beta} + 2\delta\xi &= (2\mu g + \frac{2\mu gf}{\beta\tilde{m}} + \frac{2gE_{0,l}\mu}{\tilde{m}}), \\
\delta^2 - \delta &= -\frac{\mu g^2}{\tilde{m}} + l(l+1), \\
-\frac{2\delta\eta}{\beta} + 2\eta\xi &= -(2\mu f + \frac{2gf\mu}{\beta\tilde{m}} + \frac{2fE_{0,l}\mu}{\tilde{m}}), \\
\eta^2 - \eta &= -\frac{\mu f^2}{\tilde{m}}, \\
\xi^2 &= -2\mu(E_{0,l} + \frac{E_{0,l}^2}{2\tilde{m}}). \tag{8-5-4}
\end{aligned}$$

که طیف ارزشی را تعیین می‌کنند. اکنون حالت بعدی را در نظر می‌گیریم. در این وضعیت

$$h_1(r) = r - a_1^1. \tag{9-5-4}$$

و معادله شبہ‌شروعی نگر ما تبدیل می‌شود به

$$\begin{aligned}
\psi''_{1,l}(r) &= [(\frac{2\delta\eta}{\beta} + 2\delta\xi)\frac{1}{r} + (\delta^2 - \delta)\frac{1}{r^2} + (-\frac{2\delta\eta}{\beta} + 2\eta\xi)\frac{1}{r+\beta} + (\eta^2 - \eta)\frac{1}{(r+\beta)^2} + \xi^2 \\
&\quad + \frac{2\delta}{r(r-a_1^1)} + \frac{2\eta}{(r+\beta)(r-a_1^1)} + \frac{2\xi}{r-a_1^1}] \psi_{1,l}(r), \tag{10-5-4}
\end{aligned}$$

۱

$$\begin{aligned}
(r-a_1^1)\psi''_{1,l}(r) &= [(-\frac{2a_1^1\delta\eta}{\beta} - 2a_1^1\delta\xi + \delta^2 + \delta)\frac{1}{r} - a_1^1(\delta^2 - \delta)\frac{1}{r^2} \\
&\quad + (\eta^2 + \eta + (-a_1^1 - \beta)(-\frac{2\delta\eta}{\beta} + 2\eta\xi))\frac{1}{r+\beta} \\
&\quad - (a_1^1 + \beta)(\eta^2 - \eta)\frac{1}{(r+\beta)^2} + (-a_1^1\xi^2 + 2\xi + 2\eta\xi + 2\xi\delta) + \xi^2 r] \psi_{1,l}(r), \tag{11-5-4}
\end{aligned}$$

از طرف دیگر

$$\begin{aligned}
(r-a_1^1)\psi''_{1,l}(r) &= \\
[-(a_1^1(2\mu g + \frac{2\mu gf}{\tilde{m}\beta} + \frac{2\mu gE_{1,l}}{\tilde{m}}) - l(l+1) + \frac{\mu g^2}{\tilde{m}})\frac{1}{r} + a_1^1(\frac{\mu g^2}{\tilde{m}} - l(l+1))\frac{1}{r^2} \\
&\quad - (-(\beta + a_1^1)(2\mu f + \frac{2\mu gf}{\tilde{m}\beta} + \frac{2\mu fE_{1,l}}{\tilde{m}}) + \frac{\mu f^2}{\tilde{m}})\frac{1}{r+\beta} \\
&\quad + (\beta + a_1^1)\frac{\mu f^2}{\tilde{m}}\frac{1}{(r+\beta)^2} - (-2\mu g + 2\mu f - \frac{2\mu gE_{1,l}}{\tilde{m}} + \frac{2\mu fE_{1,l}}{\tilde{m}}) \\
&\quad - 2\mu a_1^1(E_{1,l} + \frac{E_{1,l}^2}{2\tilde{m}})) - 2\mu(E_{1,l} + \frac{E_{1,l}^2}{2\tilde{m}})r] \psi_{1,l}(r). \tag{12-5-4}
\end{aligned}$$

و با مساوی قراردادن طرفی ن متناظر

$$\begin{aligned}
 -\frac{2a_1^1\delta\eta}{\beta} - 2a_1^1\delta\xi + \delta^2 + \delta &= -(a_1^1(2\mu g + \frac{2\mu gf}{\tilde{m}\beta} + \frac{2\mu gE_{1,l}}{\tilde{m}}) - l(l+1) + \frac{\mu g^2}{\tilde{m}}), \\
 -(\delta^2 - \delta) &= (\frac{\mu g^2}{\tilde{m}} - l(l+1)), \\
 \eta^2 + \eta + (-a_1^1 - \beta)(-\frac{2\delta\eta}{\beta} + 2\eta\xi) &= -(-(\beta + a_1^1)(2\mu f + \frac{2\mu gf}{\tilde{m}\beta} + \frac{2\mu fE_{1,l}}{\tilde{m}}) + \frac{\mu f^2}{\tilde{m}}), \\
 -(\eta^2 - \eta) &= \frac{\mu f^2}{\tilde{m}}, \\
 -a_1^1\xi^2 + 2\xi + 2\eta\xi + 2\xi\delta &= -(-2\mu g + 2\mu f - \frac{2\mu gE_{1,l}}{\tilde{m}} + \frac{2\mu fE_{1,l}}{\tilde{m}}) - 2\mu a_1^1(E_{1,l} + \frac{E_{1,l}^2}{2\tilde{m}}), \\
 \xi^2 = -2\mu(E_{1,l} + \frac{E_{1,l}^2}{2\tilde{m}}), & \tag{13-5-4}
 \end{aligned}$$

که طیف انرژی را تعیین می‌کند. در واقع با داشتن $E_{1,l}, \delta, \eta, \xi, f, a_1^1, \mu, \tilde{m}, \beta, g$ ، موارد قابل

$m_1 = 1, m_2 = 1, g = -0.5, \beta = \frac{1}{2}$ محاسبه هستند. به ازای مقادیر انرژی در جدول گزارش داده شده

است. حالت‌های بالاتر با انتخاب $h_3(r) = (r - \alpha_1^3)(r - \alpha_2^3)(r - \alpha_3^3)$ و $h_2(r) = (r - \alpha_1^2)(r - \alpha_2^2)$

قابل محاسبه هستند.

۴-۵-۱ حالت خاص $f=0$

این حالت عملاً همان پتانسیل کولنی است: $V(r) = \frac{g}{r}$. در چنین وضعیتی معادله سالپیتر تبدیل

می‌شود به

$$[\frac{d^2}{dr^2} - \frac{l'(l'+1)}{r^2} + \frac{g'}{r} + E'_{n,l}] \psi_{n,l}(r) = 0, \tag{14-5-4}$$

که

$$\begin{aligned} l' &= \frac{1}{2} \left[-1 \pm \sqrt{1 + 4 \left(-\frac{\mu g^2}{\tilde{m}} + l(l+1) \right)} \right] \\ g' &= 2\mu g + \frac{2gE_{n,l}\mu}{\tilde{m}}, \\ E'_{n,l'} &= 2\mu(E_{n,l} + \frac{E_{n,l}^2}{2\tilde{m}}), \end{aligned} \quad (15-5-4)$$

تابع موج این معادله دقیقاً قابل حل است و

$$\psi_{0,l'}(r) = r^{l'+1} \exp(-\sqrt{-E'_{0,l'}} r) \quad (16-5-4)$$

و انرژی متناظر با آن عبارتست از

$$\begin{aligned} E_{0,l'} &= \frac{1}{2} \frac{1}{\left(\frac{4\mu^2 g^2}{\tilde{m}^2} + 4(l'+1)^2 \frac{\mu}{\tilde{m}} \right)} \left(-\left(\frac{8\mu^2 g^2}{\tilde{m}} + 8\mu(l'+1) \right) \right. \\ &\quad \left. \pm \sqrt{\left(\frac{8\mu^2 g^2}{\tilde{m}^2} + 8\mu(l'+1) \right)^2 - 16\mu^2 g^2 \left(\frac{4\mu^2 g^2}{\tilde{m}^2} + 4(l'+1)^2 \frac{\mu}{\tilde{m}} \right)} \right). \end{aligned} \quad (17-5-4)$$

اکنون این جواب دقیق را با جواب خود مقایسه می‌کنیم. به ازای $\phi = 0$ داریم

$$\begin{aligned} 2\delta\xi &= -(2\mu g + \frac{2gE_{0,l'}\mu}{\tilde{m}}), \\ \delta^2 - \delta &= l'(l'+1), \\ \xi^2 &= -2\mu(E_{0,l'} + \frac{E_{0,l'}^2}{2\tilde{m}}), \end{aligned} \quad (18-5-4)$$

و

$$\xi = -\sqrt{-2\mu(E_{0,l'} + \frac{E_{0,l'}^2}{2\tilde{m}})}, \quad (19-5-4)$$

$$\delta = l'+1, \quad (20-5-4)$$

این جواب برای حالت پایه نتیجه می‌دهد

$$\begin{aligned} E_{0,l'} &= \frac{1}{2} \frac{1}{\left(\frac{4\mu^2 g^2}{\tilde{m}^2} + 4(l'+1)^2 \frac{\mu}{\tilde{m}} \right)} \left(-\left(\frac{8\mu^2 g^2}{\tilde{m}} + 8\mu(l'+1) \right) \right. \\ &\quad \left. \pm \sqrt{\left(\frac{8\mu^2 g^2}{\tilde{m}^2} + 8\mu(l'+1) \right)^2 - 16\mu^2 g^2 \left(\frac{4\mu^2 g^2}{\tilde{m}^2} + 4(l'+1)^2 \frac{\mu}{\tilde{m}} \right)} \right), \end{aligned} \quad (21-5-4)$$

که با جواب دقیق همخوانی دارد.

جدول ۳،۴ انرژی پتانسیل هسته-نرم

$ n,l\rangle$	$E_{0,l}$	δ	η	ξ	f
$ 0,0\rangle$	- 0.1707706162	0.933012701	0.03227418780	- 0.4043265578	0.3534547473
$ 0,1\rangle$	- 0.03278598585	1.979019946	0.01347214880	- 0.1803254159	0.2305701629
$ 0,2\rangle$	- 0.01208578196	2.987468593	0.006547063199	- 0.1097691461	0.1612972308
$ 0,3\rangle$	- 0.00604976309	3.991060011	0.003787635925	- 0.0777213817	0.1228542183

۶-۶ کرنل^۱

این بار پتانسیل کرنل را در نظر می‌گیریم:

$$V(r) = ar + \frac{b}{r}. \quad (1-6-4)$$

با جایگذاری در معادله اصلی داریم

$$\left[\frac{d^2}{dr^2} + \frac{A}{r^2} + \frac{B}{r} + Cr^2 + fr + h \right] \psi_{n,l}(r) = 0, \quad (2-6-4)$$

که

$$\begin{aligned} A &= -l(l+1) + \frac{\mu b^2}{\hbar^2 \tilde{m}}, \\ B &= -\frac{2\mu b}{\hbar^2} - \frac{2E_{n,l}b\mu}{\hbar^2 \tilde{m}}, \\ C &= \frac{\mu a^2}{\hbar^2 \tilde{m}}, \\ f &= -\frac{2\mu a}{\hbar^2} - \frac{2\mu E_{n,l}a}{\hbar^2 \tilde{m}}, \\ h &= \frac{2\mu E_{n,l}}{\hbar^2} + \frac{\mu E_{n,l}^2}{\hbar^2 \tilde{m}} + \frac{2ab\mu}{\hbar^2 \tilde{m}}. \end{aligned} \quad (3-6-4)$$

اکنون جوابی به فرم

$$\psi_{n,l}(r) = g_n(r) \exp(y_l(r)), \quad (4-6-4)$$

را پیشنهاد می‌دهیم که در آن

¹ Cornell

$$g_n(r) = \begin{cases} 1, & \text{if } n=0 \\ \prod_{i=1}^n (r - \alpha_i^n), & \text{if } n \geq 1 \end{cases}, \quad (5-6-4)$$

مطلوب آن‌چه در بخش سوم گفته شد، با حل معادله ریکاتی متناظر داریم

$$g_n(r) = 1, \quad (6-6-4)$$

$$y_l(r) = \delta \ln(r) + \beta r^2 + \gamma r. \quad (7-6-4)$$

پس از جایگذاری داریم

$$\psi''_{n,l}(r) = [(\delta^2 - \delta) \frac{1}{r^2} + (2\delta\gamma) \frac{1}{r} + 4\beta^2 r^2 + 4\beta\gamma r + (\gamma^2 + 2\beta + 4\beta\delta)] \psi_{n,l}(r). \quad (8-6-4)$$

که نتیجه می‌دهد

$$\begin{aligned} \delta^2 - \delta &= -A, \\ 2\delta\gamma &= -B, \\ 4\beta^2 &= -C, \\ 4\beta\gamma &= -f, \\ \gamma^2 + 2\beta + 4\beta\delta &= -h. \end{aligned} \quad (9-6-4)$$

به راحتی می‌توان از این رابطه طیف حالت بدون گره را تعیین کرد.

فصل پنجم

معادله دی-کی-پی تحت برهمنشی های مختلف

۱-۵ کی پی تحت پتانسیل نمایی

این بار پتانسیل نمایی

$$U_v = V e^{-a(r-r_0)}, \quad (1-1-5)$$

را انتخاب می‌کنیم. جواب‌های متناظر این معادله با روشی تحلیلی قابل حل نیست و ناچاریم از

روشی تقریبی استفاده کنیم. معادله متناظر عبارتست از

$$\left(\frac{d^2}{dr^2} - \frac{J(J+1)}{r^2} + E^2 + 2EV \exp(-a(r-r_0)) + V^2 \exp(-2a(r-r_0)) - m^2 \right) F(r) = 0. \quad (2-1-5)$$

که با انتخاب تقریب

$$\begin{aligned} \frac{1}{r^2} &\approx (C_0 + C_1 e^{-\alpha x} + C_2 e^{-2\alpha x}), \\ x &= \frac{r-r_0}{r_0}, \\ \alpha &= ar_0, \end{aligned} \quad (3-1-5)$$

$$\begin{aligned} C_0 &= \frac{1}{r_0^2} \left(1 - \frac{3}{\alpha} + \frac{3}{\alpha^2} \right), \\ C_1 &= \frac{1}{1r_0^2} \left(\frac{4}{\alpha} - \frac{6}{\alpha^2} \right), \\ C_2 &= \frac{1}{r_0^2} \left(\frac{-1}{\alpha} + \frac{3}{\alpha^2} \right). \end{aligned} \quad (4-1-5)$$

تبدهی می‌شود به

$$\begin{aligned} \left(\frac{d^2}{dx^2} - e^{-\alpha x} (C_1 J(J+1) - 2EV) r_0^2 + e^{-2\alpha x} (V^2 - C_2 J(J+1)) r_0^2 + (C_0 J(J+1) + E^2 - m^2) r_0^2 \right) \\ F(x) = 0, \end{aligned} \quad (5-1-5)$$

این معادله در واقع همان پتانسیل غیرنسبیتی مورس است که در آن

$$\begin{aligned} B &= \pm r_0 \sqrt{(V^2 - C_2 J(J+1))}, \\ A &= \pm r_0 \sqrt{C_0 J(J+1)}, \\ \beta &= \frac{r_0^2 (C_1 J(J+1) - 2EV)}{B} - 2A. \end{aligned} \quad (6-1-5)$$

و بنابراین جواب‌ها عبارتند از

$$\begin{aligned}
F(x) &= C_n y^{s-n} \exp(-y/2) L_n^{2s-2n}(y), \\
y &= (2B/\beta) \exp(-\beta x), \\
s &= A/\beta.
\end{aligned} \tag{7-1-5}$$

و ویژه‌توابع انرژی از رابطه

$$\begin{aligned}
\varepsilon_n &= r_0^2 (E^2 - m^2) = \\
C_0 J(J+1) r_0^2 - r_0 &\left(\pm \sqrt{C_0 J(J+1)} - n \left(\frac{(C_1 J(J+1) - 2EV)}{\pm \sqrt{(V^2 - C_2 J(J+1))}} \mp 2\sqrt{C_0 J(J+1)} \right) \right)^2.
\end{aligned} \tag{8-1-5}$$

قابل محاسبه هستند.

۲-۵ پتانسیل یوکاوا

با جایگذاری پتانسیل یوکاوا داریم

$$\left(\frac{d^2}{dr^2} - \frac{J(J+1)}{r^2} + \left(E_{n,J} + \frac{\eta}{r} e^{-\alpha r} \right)^2 - m^2 \right) F_{n,J}(r) = 0. \tag{1-2-5}$$

اکنون تقریب زیر را معرفی می‌کنیم

$$\frac{1}{r^2} \approx \frac{4\alpha^2 e^{-2\alpha r}}{(1-e^{-2\alpha r})^2}, \tag{2-2-5}$$

و معادله تبدیل می‌شود به

$$\left(\frac{d^2}{dr^2} - \frac{4J(J+1)\alpha^2 e^{-2\alpha r}}{(1-e^{-2\alpha r})^2} + E_{n,J}^2 + \frac{4\eta^2 \alpha^2 e^{-4\alpha r}}{(1-e^{-2\alpha r})^2} + \frac{4E_{n,J}\eta\alpha e^{-2\alpha r}}{(1-e^{-2\alpha r})} - m^2 \right) F_{n,J}(r) = 0. \tag{3-2-5}$$

برای حل این معادله ابتدا تبدیل $s = e^{-2\alpha r}$ را اعمال می‌کنیم و معادله را به فرم زیر می‌نویسیم

$$\begin{aligned}
\frac{d^2}{ds^2} + \frac{(1-s)}{s(1-s)} \frac{d}{ds} + \\
\frac{1}{s^2(1-s)^2} \left\{ s^2 \left[\frac{E^2}{4\alpha^2} + \eta^2 - \frac{m^2}{4\alpha^2} - \frac{E\eta}{\alpha} \right] + s \left[-J(J+1) - \frac{E^2}{2\alpha^2} + \frac{E\eta}{\alpha} + \frac{m^2}{2\alpha^2} \right] + \frac{E^2}{4\alpha^2} - \frac{m^2}{4\alpha^2} \right\} F_{n,J}(r) = 0.
\end{aligned} \tag{4-2-5}$$

۱-۲-۵- حالت‌های مقی م

معادله اخیر به فرم استاندارد معادله NU تبدیل شده است و اکنون می‌توان جواب‌های آن را به آسانی با مقایسه به دست آورد:

$$n(n+1) + \frac{1}{2} + (2n+1)\sqrt{\frac{1}{4} + J(J+1)} + (2n+1)\sqrt{\frac{-E_{n,J}^2}{4\alpha^2} + \frac{m^2}{4\alpha^2}} + \\ J(J+1) - \frac{E_{n,J}\eta}{\alpha} + 2\sqrt{(\frac{1}{4} + J(J+1))(-\frac{E_{n,J}^2}{4\alpha^2} + \frac{m^2}{4\alpha^2})} = 0, \quad (5-2-5)$$

و ویژه توابع متناظر بر حسب توابع ژاکوبی عبارتند از

$$F_{n,J} = s^{\sqrt{\frac{-E_{n,J}^2 + m^2}{4\alpha^2 + 4\alpha^2}}} (1-s)^{\frac{1}{2} + \sqrt{\frac{1}{4} + J(J+1)}} P_n^{(2\sqrt{\frac{-E_{n,J}^2 + m^2}{4\alpha^2 + 4\alpha^2}}, 2\sqrt{\frac{1}{4} + J(J+1)})} (1-2s). \quad (6-2-5)$$

جدول ۱.۵. انرژی پتانسیلی و کاوا به ازای $\alpha = 0.001, \eta = 0.7, m = 1$

$ n, J\rangle$	for $E_{0,J}$ $\alpha = 0.001, \eta = 0.7$	$ n, J\rangle$	for $E_{1,J}$ $\alpha = 0.001, \eta = 0.7$	$ n, J\rangle$	for $E_{2,J}$ $\alpha = 0.001, \eta = 0.7$	$ n, J\rangle$	for $E_{3,J}$ $\alpha = 0.001, \eta = 0.7$
$ 0,0\rangle$	0.974500	$ 1,0\rangle$	0.985702	$ 2,0\rangle$	0.991016	$ 3,0\rangle$	0.993936
$ 0,1\rangle$	0.985702	$ 1,1\rangle$	0.991016	$ 2,1\rangle$	0.993936	$ 3,1\rangle$	0.995706

$ 0,2\rangle$	0.991016	$ 1,2\rangle$	0.993936	$ 2,2\rangle$	0.995706	$ 3,2\rangle$	0.996856
$ 0,3\rangle$	0.993936	$ 1,3\rangle$	0.995706	$ 2,3\rangle$	0.996856	$ 3,3\rangle$	0.997644
$ 0,4\rangle$	0.995706	$ 1,4\rangle$	0.996856	$ 2,4\rangle$	0.997644	$ 3,4\rangle$	0.998205
$ 0,5\rangle$	0.996856	$ 1,5\rangle$	0.997644	$ 2,5\rangle$	0.998205	$ 3,5\rangle$	0.998618
$ 0,6\rangle$	0.997644	$ 1,6\rangle$	0.998205	$ 2,6\rangle$	0.998618	$ 3,6\rangle$	0.998928
$ 0,7\rangle$	0.998205	$ 1,7\rangle$	0.998618	$ 2,7\rangle$	0.998928	$ 3,7\rangle$	0.999167
$ 0,8\rangle$	0.998618	$ 1,8\rangle$	0.998928	$ 2,8\rangle$	0.999172	$ 3,8\rangle$	0.999352
$ 0,9\rangle$	0.998928	$ 1,9\rangle$	0.999167	$ 2,9\rangle$	0.999352	$ 3,9\rangle$	0.999499
$ 0,10\rangle$	0.999167	$ 1,10\rangle$	0.999352	$ 2,10\rangle$	0.999499	$ 3,10\rangle$	0.999615

۳-۵- دی کی پی تحت وودز-ساکسون

همان طور که در قسمت مربوط به معادله سالپیتر گفته شد، این پتانسیل دارای فرم

$$V(r) = \frac{V_0}{1 + \exp\left(\frac{r-a}{r_0}\right)} \quad (1-3-5)$$

است که در آن V_0 و r_0 ثابت هستند. اکنون با معرفی تقریب

$$\frac{1}{r^2} \sim b + \frac{c}{1 + \exp\left(\frac{r-a}{r_0}\right)} + \frac{d}{(1 + \exp\left(\frac{r-a}{r_0}\right))^2} \quad (2-3-5)$$

که در آن

$$b = \frac{1}{a^2} \left(1 - \frac{3r_0}{a} + \frac{3r_0^2}{a^2}\right) \quad (3-3-5)$$

$$c = \frac{1}{a^2} \left(\frac{4r_0}{a} - \frac{6r_0^2}{a^2}\right) \quad (4-3-5)$$

$$d = \frac{1}{a^2} \left(-\frac{r_0}{a} + \frac{3r_0^2}{a^2}\right) \quad (5-3-5)$$

جواب‌های معادله عبارتند از []

$$F_{n,J} = \left(\frac{1}{1 + \exp\left(\frac{r-a}{r_0}\right)} \right)^{r_0 \sqrt{bJ(J+1)+m^2-E_{n,J}^2}} \left(1 - \frac{1}{1 + \exp\left(\frac{r-a}{r_0}\right)} \right)^{r_0 \sqrt{J(J+1)(b+c+d)-(E_{n,J}-eV_0)^2+m^2}} \\ \times P_n^{(2r_0 \sqrt{bJ(J+1)+m^2-E_{n,J}^2}, 2r_0 \sqrt{J(J+1)(b+c+d)-(E_{n,J}-eV_0)^2+m^2})} \left(1 - \frac{2}{1 + \exp\left(\frac{r-a}{r_0}\right)} \right) \quad (6-5-5)$$

و رابطه انرژی عبارتست از

$$2n + (2n+1)r_0(\sqrt{J(J+1)(b+c+d)-(E_{n,J}-eV_0)^2+m^2} + \sqrt{bJ(J+1)+m^2-E_{n,J}^2}) + \\ n(n+1) + r_0^2(2eV_0E_{n,J} + cJ(J+1)) + 2r_0^2(bJ(J+1)+m^2-E_{n,J}^2) - \\ 2r_0^2\sqrt{(bJ(J+1)+m^2-E_{n,J}^2)[J(J+1)(b+c+d)-(E_{n,J}-eV_0)^2+m^2]} = 0 \quad (7-3-5)$$

۴-۴ معادله **DKP** تحت یک برهمنش برداری هالسن

در این کار پتانسیل هالسن را مورد بررسی قرار می‌دهیم، یعنی

$$U_v^0(r) = -\frac{U_0}{e^{\alpha r} - 1}, \quad (1-4-5)$$

که U_0 یک کمیت ثابت است. برای حل تحلیلی معادله، از تقریب مناسب زیر استفاده می‌کنیم

$$\frac{1}{r^2} \approx \frac{\alpha^2}{(e^{\alpha r} - 1)^2}, \quad (2-4-5)$$

با این کار، داریم

$$\left\{ -\frac{d^2}{dr^2} + V_{eff,n,J}(r) \right\} F_{n,J}(r) = \lambda_{n,J} F_{n,J}(r), \quad (3-4-5)$$

که

$$V_{eff,n,J}(r) = \frac{U_0^2 + J(J+1)\alpha^2}{(e^{\alpha r} - 1)^2} - \frac{2E_{n,J}U_0}{(e^{\alpha r} - 1)}, \quad (4-4-5)$$

$$\lambda_{n,J} = E_{n,J}^2 - m_0^2, \quad (5-4-5)$$

اکنون با در ذهن داشتن روش مکانیک کوانتمی ابرتقارنی، ابرپتانسیل را مطابق

$$\Phi(r) = \frac{-A}{(e^{\alpha r} - 1)} + B, \quad (6-4-5)$$

انتخاب می‌کنیم که در آن

$$A = \frac{\alpha + \sqrt{\alpha^2 + 4\{U_0^2 + J(J+1)\alpha^2\}}}{2},$$

$$B = \frac{(-A^2 + U_0^2 + J(J+1)\alpha^2 + 2E_{n,J}U_0)}{2A}$$

$$\lambda_{0,J} = -B^2, \quad (7-4-5)$$

و $A, B > 0$ داشتیم.

$$V_{\pm}(r) = \Phi^2(r) \pm \Phi'(r) \quad (8-4-5)$$

و تابع موج حالت پایه مطابق زیر به دست می‌آید

$$F_{0,J}(r) = N_{0,J} \exp\left[-\int \Phi(r) dr\right], \quad (9-4-5)$$

پتانسیل‌های همراه در این وضعیت عبارتند از

$$V_+(r) = \frac{A(A+\alpha)e^{\alpha r}}{(e^{\alpha r} - 1)^2} - \frac{(U_0^2 + J(J+1)\alpha^2) + (2E_{n,l}U_0)}{e^{\alpha r} - 1} + \frac{(-A^2 + U_0^2 + J(J+1)\alpha^2 + 2E_{n,l}V_0)}{2A},$$

$$V_-(r) = \frac{A(A-\alpha)e^{\alpha r}}{(e^{\alpha r} - 1)^2} - \frac{(U_0^2 + J(J+1)\alpha^2) + (2E_{n,l}U_0)}{e^{\alpha r} - 1} + \frac{(-A^2 + U_0^2 + J(J+1)\alpha^2 + 2E_{n,l}U_0)}{2A}, \quad (10-4-5)$$

و همانطور که می‌بینیم تحت یک نگاشت انتقالی ناوردا هستند. ویژه مقادیر انرژی عبارتند از

$$\lambda_{0,J}^{(-)} = 0$$

$$\lambda_{n,J}^{(-)} = \sum_{k=1}^n R(a_k) =$$

$$\left(\frac{A^2 - (U_0^2 + J(J+1)\alpha^2) - (2E_{n,J}U_0)}{2A} \right)^2 - \left(\frac{(A+n\alpha)^2 - (U_0^2 + J(J+1)\alpha^2) - (2E_{n,J}U_0)}{2(A+n\alpha)} \right)^2 \quad (11-4-5)$$

و در نتیجه طیف کامل سیستم عبارتست از

$$\lambda_{n,J} = \lambda_{n,J}^{(-)} + \lambda_{0,J} = -\left(\frac{(A+n\alpha)^2 - (U_0^2 + J(J+1)\alpha^2) - (2E_{n,J}U_0)}{2(A+n\alpha)} \right)^2 \quad (12-4-5)$$

یا به فرم فشرده‌تر

$$E_{n,J}^2 = m_0^2 - \left(\frac{(A+n\alpha)^2 - (U_0^2 + J(J+1)\alpha^2) - (2E_{n,J}U_0)}{2(A+n\alpha)} \right)^2. \quad (13-4-5)$$

در جدول زیر ویژه مقادیر انرژی را به ازای $\alpha = 0.15$ گزارش کرده‌ایم.

جدول ۲.۵. انرژی پتانسیل هالسن

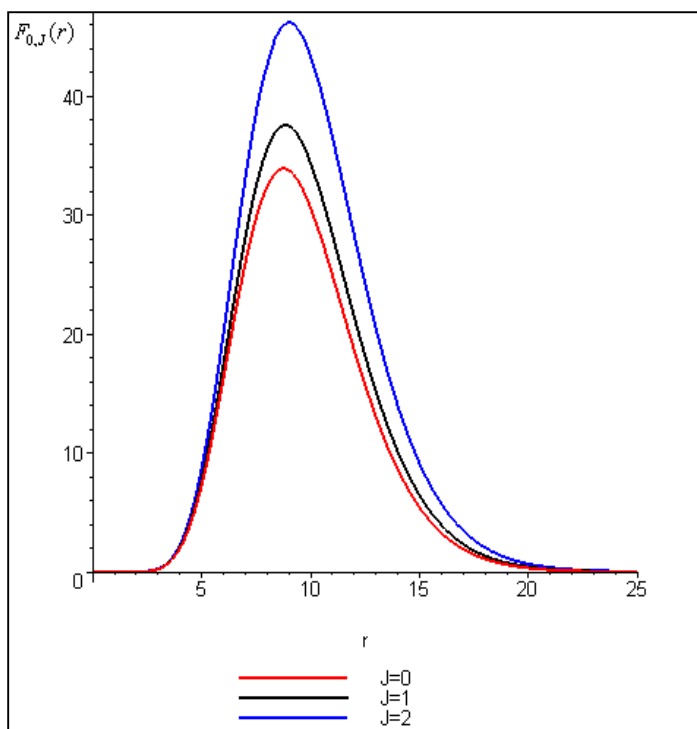
n	J				
	0	1	2	3	4
0	0.769358	0.866548	0.935606	0.978947	0.998528
1	0.780888	0.875047	0.94131	0.982084	0.999257
2	0.806502	0.893658	0.953506	0.988388	0.999998
3	0.841774	0.918638	0.969087	0.995286	0.998594
4	0.881415	0.945541	0.984341	0.999653	0.992323
5	0.920373	0.97013	0.995682	0.998365	0.978278
6	0.954454	0.988851	0.999999	0.98852	0.953413
7	0.980478	0.998907	0.994653	0.967319	0.914167
8	0.996132	0.998068	0.977211	0.93162	0.855383
9	0.999654	0.984321	0.944968	0.876967	0.767092
10	0.989454	0.955383	0.894063	0.795046	0.618465

باید توجه داشته باشیم تقریبی که استفاده می‌کنیم در محدوده $0.2 < \alpha$ تقریب مناسبی است. با توجه به

روابطی که پیشتر داشتیم، تابع موج حالت پایه برابر است با

$$F_{0,J}(r) = N_{0,J} (e^{\alpha r} - 1)^{\frac{A}{\alpha}} \times \exp[\{ \frac{(-A^2 + U_0^2 + J(J+1)\alpha^2 + 2E_{n,l}V_0)}{2A} - A \} r] \quad (14-4-5)$$

که در شکل زیر آمده است.



شکل ۱,۵. تابع موج تحت هالسن

توابع موج مراتب بالاتر به راحتی از روابط (۱۹) قابل محاسبه هستند. نتیجه اینکه تابع موج کلی سیستم

به صورت زیر است

$$\begin{aligned} \psi_{JM}(r) &= \begin{pmatrix} f_{nJ}(r)Y_{JM}(\Omega) \\ g_{nJ}(r)Y_{JM}(\Omega) \\ i \sum_L h_{nJL}(r)Y_{JL1}^M(\Omega) \end{pmatrix} \\ &= \left(\begin{array}{l} Y_{JM}(\Omega) \\ \frac{(E_{0,J} - U_v^0)}{mc^2} Y_{JM}(\Omega) \\ i \frac{\alpha_J}{mc^2} \left\{ A \frac{e^{\alpha r}}{(e^{\alpha r} - 1)} + \left\{ \frac{(-A^2 + U_0^2 + J(J+1)\alpha^2 + 2E_{0,J}V_0)}{2A} - A \right\} - \frac{J+1}{r} \right\} Y_{J11}^M(\Omega) \end{array} \right) r F_{0,J}(r), \\ &\quad + i \frac{\zeta_J}{mc^2} \left\{ A \frac{e^{\alpha r}}{(e^{\alpha r} - 1)} + \left\{ \frac{(-A^2 + U_0^2 + J(J+1)\alpha^2 + 2E_{0,J}V_0)}{2A} - A \right\} + \frac{J}{r} \right\} Y_{J-11}^M(\Omega) \end{aligned} \quad (15-4-5)$$

بررسی مبسوط‌تر ساختار ابرتقارنی معادله DKP در مرجع آمده است. نکته دیگری که باید توجه داشت

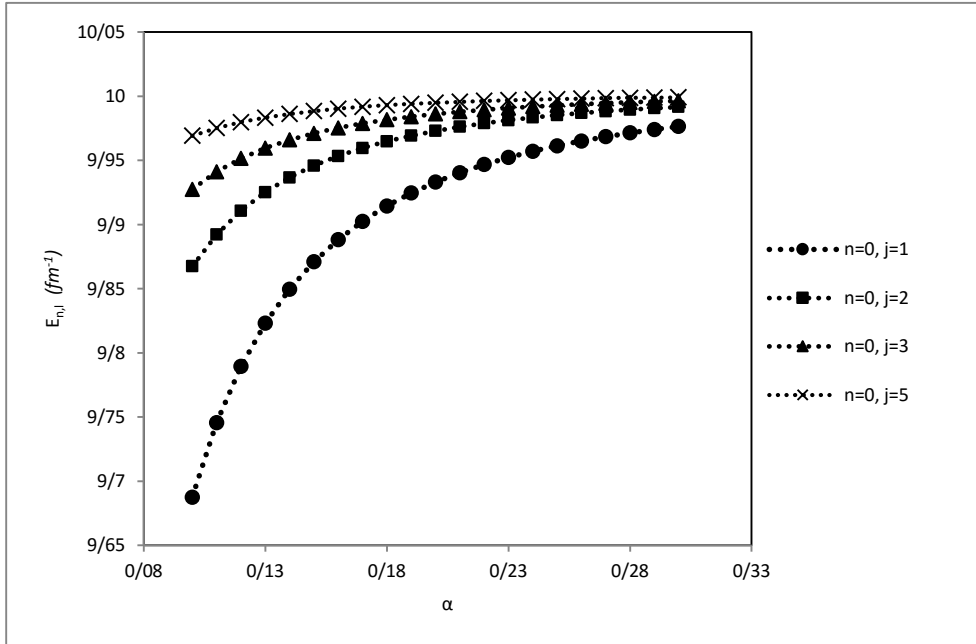
این است وقتی یک مسئله نیم-خط را (منظور معادلاتی هستند که در آن ها r کروی داریم و بنابر این

($0 \leq r < +\infty$) با یک وضعیت تمام خط (شامل $x = -\infty$ و $x = +\infty$) مشابهتسازی می کنیم، بایستی دقت

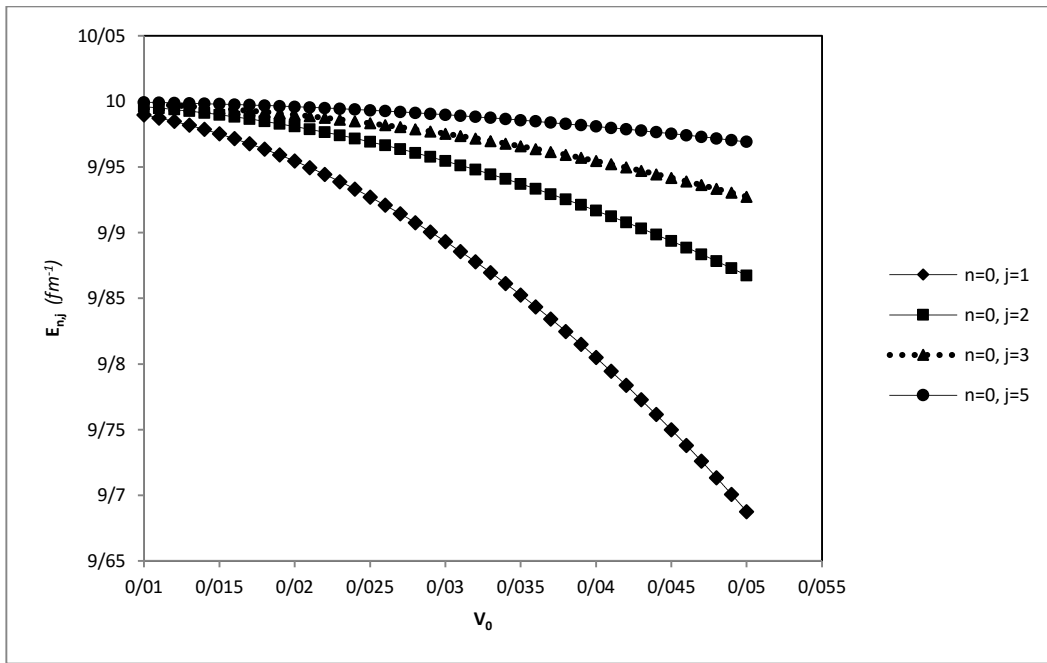
کافی مورد اعداد کوانتومی اعمال شود.

جدول ۳.۵. ویژه مقادیر انرژی به ازای حالت‌های مختلف برای پتانسیل برداری هالسن

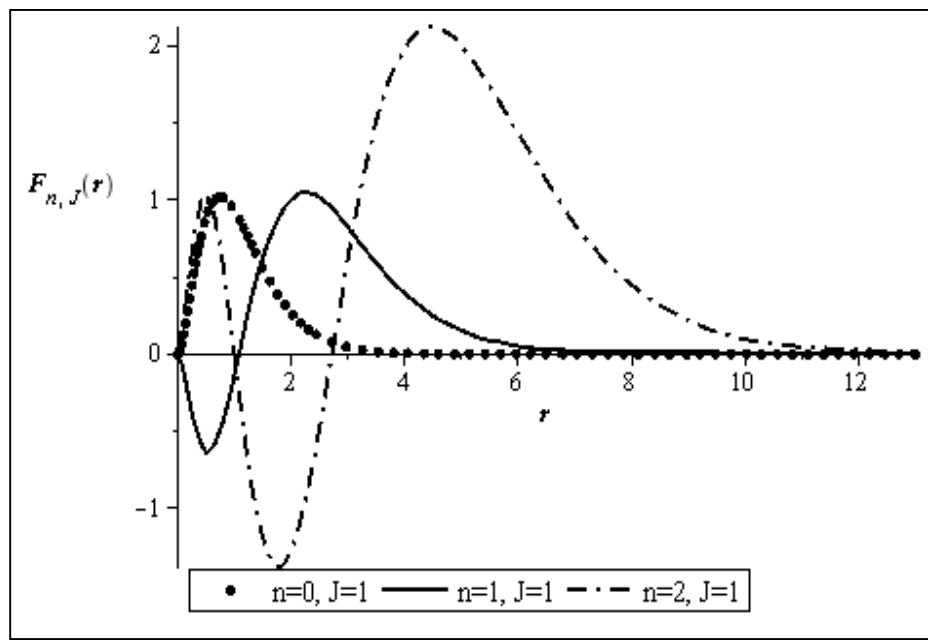
$ n, J\rangle$	$E_{n,J}$	$ n, J\rangle$	$E_{n,J}$
$ 0,0\rangle$	7.096023618	$ 2,0\rangle$	9.830010003
$ 0,1\rangle$	9.687495014	$ 2,1\rangle$	9.939720311
$ 0,2\rangle$	9.867457411	$ 2,2\rangle$	9.966533865
$ 0,3\rangle$	9.927476105	$ 2,3\rangle$	9.979694256
$ 0,4\rangle$	9.954672859	$ 2,4\rangle$	9.987025400
$ 0,5\rangle$	9.969225011	$ 2,5\rangle$	9.991432557
$ 1,0\rangle$	9.511536512	$ 3,0\rangle$	9.922948020
$ 1,1\rangle$	9.874625818	$ 3,1\rangle$	9.969030744
$ 1,2\rangle$	9.935590908	$ 3,2\rangle$	9.982591989
$ 1,3\rangle$	9.961774549	$ 3,3\rangle$	9.989716791
$ 1,4\rangle$	9.975336341	$ 3,4\rangle$	9.993800843
$ 1,5\rangle$	9.983180686	$ 3,5\rangle$	9.996256663



شکل ۲.۵. انرژی سیستم بر حسب پارامتر α برای پتانسیل برداری هولسن



شکل ۳.۵. انرژی سیستم بر حسب پارامتر V_0 برای پتانسیل برداری هولسن



شکل ۵.۵. تابع موج سیستم برای پتانسیل برداری هولسون به ازای مقادیر مختلف n و $\alpha = 0.1$

$$m = 10, V_0 = 0.05$$

۵-۵-۵- معادله DKP در حضور برهمنش اسکالر کولنی

در اینجا پتانسیل اسکالر کولنی زیر را در نظر می‌گیریم [۲۱]

$$U_s = \frac{k}{r}, \quad (1-5-5)$$

معادله متناظر عبارتست از

$$\begin{aligned} \frac{d^2 F_{n,J}(r)}{dr^2} + \frac{dF_{n,J}(r)}{dr} \left[\frac{\frac{k}{r^2}}{m + \frac{k}{r}} \right] \\ + F_{n,J}(r) \left[-\frac{J(J+1)}{r^2} - \frac{kC}{A} \left(\frac{1}{r^3[m + \frac{k}{r}]} \right) - \frac{1}{\alpha_J^2 A} (m + \frac{k}{r})^2 + \frac{E_{n,J}^2}{\alpha_J^2 A} \right] = 0, \end{aligned} \quad (2-5-5)$$

که در آن

$$\begin{aligned} A &= 1 + \frac{\zeta_J^2}{\alpha_J^2}, \\ C &= J + 1 - \frac{\zeta_J^2}{\alpha_J^2} J. \end{aligned} \quad (3-5-5)$$

با تغییر متغیر

$$F_{n,J}(r) = \sqrt{m + \frac{k}{r}} \phi_{n,J}(r), \quad (4-5-5)$$

می‌رسی \mathfrak{M} به

$$\begin{aligned} & \frac{d^2\phi_{n,J}(r)}{dr^2} + \left[\frac{k}{r^3(m + \frac{k}{r})} - \frac{3k^2}{2r^4(m + \frac{k}{r})^2} - \frac{J(J+1)}{r^2} \right. \\ & \left. - \frac{kC}{A(m + \frac{k}{r})} \frac{1}{r^3} - \frac{m^2}{\alpha_J^2 A} + \frac{E_{n,J}^2}{\alpha_J^2 A} - \frac{k^2}{\alpha_J^2 A} \frac{1}{r^2} - \frac{2mk}{\alpha_J^2 A} \frac{1}{r} \right] \phi_{n,J}(r) = 0, \end{aligned} \quad (6-5-5)$$

معادله اخیر، پس از جداسازی متغیرها تبدیل می‌شود به

$$\begin{aligned} & \frac{d^2\phi_{n,J}(r)}{dr^2} + \left[\left(\frac{2m}{k} + \frac{Cm}{Ak} - \frac{2mk}{\alpha_J^2 A} \right) \frac{1}{r} + \left(-\frac{1}{2} - J(J+1) - \frac{C}{A} - \frac{k^2}{\alpha_J^2 A} \right) \frac{1}{r^2} \right. \\ & \left. + \left(-\frac{m^2}{2k} - \frac{Cm^2}{Ak} \right) \frac{1}{k+mr} - \frac{3}{2} m^2 \frac{1}{(k+mr)^2} + \left(\frac{E_{n,J}^2}{\alpha_J^2 A} - \frac{m^2}{\alpha_J^2 A} \right) \right] \phi_{n,J}(r) = 0. \end{aligned} \quad (7-5-5)$$

اکنون جوابی به فرم

$$\phi_{n,J}(r) = f_n(r) \exp(g_J(r)), \quad (8-5-5)$$

را پیشنهاد می‌کنی \mathfrak{M} که در آن

$$\begin{aligned} f_n(r) &= \begin{cases} 1 & n=0 \\ \prod_{i=1}^n (r - \alpha_i^n) & n>0, \end{cases} \\ g_J(r) &= \gamma \ln(mr + k) + \delta \ln(r) + \xi r. \end{aligned} \quad (9-5-5)$$

با جایگذاری این جواب داری \mathfrak{M}

$$\begin{aligned} & \phi''_{n,J}(r) = \\ & [(2\xi\delta + \frac{2\delta\gamma m}{k}) \frac{1}{r} + (\delta^2 - \delta) \frac{1}{r^2} + (2\xi\gamma m - \frac{2\delta\gamma m^2}{k}) \frac{1}{k+mr} + (\gamma^2 m^2 - \gamma m^2) \frac{1}{(k+mr)^2} + \xi^2] \phi_{n,J}(r), \quad (10-5-5) \end{aligned}$$

و با برابر قرار دادن توان‌های متناظر می‌رسی \mathfrak{M} به

$$\begin{aligned}
2\xi\delta + \frac{2\delta\gamma m}{k} &= -\left(\frac{2m}{k} + \frac{Cm}{Ak} - \frac{2mk}{\alpha_J^2 A}\right), \\
\delta^2 - \delta &= -\left(-\frac{1}{2} - J(J+1) - \frac{C}{A} - \frac{k^2}{\alpha_J^2 A}\right), \\
2\xi\gamma m - \frac{2\delta\gamma m^2}{k} &= -\left(-\frac{m^2}{2k} - \frac{Cm^2}{Ak}\right), \\
\gamma^2 m^2 - \gamma m^2 &= \frac{3}{2} m^2, \\
\xi^2 &= -\left(\frac{E_{n,J}^2}{\alpha_J^2 A} - \frac{m^2}{\alpha_J^2 A}\right). \tag{11-5-5}
\end{aligned}$$

که در آن

$$\begin{aligned}
\delta &= \frac{1}{2} [1 \pm (1 + 4(\frac{1}{2} + J(J+1) + \frac{C}{A} + \frac{k^2}{\alpha_J^2 A}))^{\frac{1}{2}}], \\
\gamma &= \frac{1 \pm \sqrt{7}}{2}, \\
\xi &= \pm \sqrt{\left(\frac{m^2}{\alpha_J^2 A} - \frac{E_{n,J}^2}{\alpha_J^2 A}\right)}, \\
2\xi\delta m + 2\xi\gamma m + \frac{3m^2}{2k} - \frac{2m^2 k}{\alpha_J^2 A} &= 0. \tag{12-5-5}
\end{aligned}$$

بنابراین، جواب نهایی عبارتست از

$$F_{0,J}(r) = \sqrt{m + \frac{k}{r}} (mr + k)^{\gamma} r^{\delta} \exp(\xi r). \tag{13-5-5}$$

۵-۶ معادله DKP تحت پتانسیل‌های اسکالر و برداری کرنل

که یکی از موفق ترین بر همکنش‌های فیزیک ذرات است و هر دو جمله محبوس کننده و غیر محبوس کننده را داراست. ضرب جمله کولنی در واقع در برگیرنده ضرب جفت شدگی قوی است و ضرب جمله خطی فاصله بین کوارکی است و در بسیاری موارد این برهمنش را به صورت $-\frac{4}{3} \frac{\alpha_s}{r} + kr$ - می‌نویسن. در حضور پتانسیل‌های اسکالر و برداری کرنل معادلات (۲۴-۴-a) و (۲۴-۴-b)

[۲۴] (۲۴)

$$\begin{aligned}
U_s &= a_s r + \frac{b_s}{r} \\
U_v^0 &= a_v r + \frac{b_v}{r} \tag{1-6-5}
\end{aligned}$$

که یکی از موفق‌ترین برهمکنش‌های فیزیک ذرات است و هر دو جمله محبوس‌کننده و غیرمحبوس کننده را داراست. ضریب جمله کولنی درواقع در برگیرنده ضریب جفت‌شدگی قوی است و ضریب جمله خطی فاصله بین کوارکی است و در بسیاری موارد این برهمکنش را به صورت $r - \frac{4\alpha_s}{3} + kr$ داریم.

با جای‌گذاری نویسنده، معادله در اصلی داریم:

$$\frac{d^2 F_{n,J}(r)}{dr^2} - \frac{dF_{n,J}(r)}{dr} \left[\frac{\frac{a_s - \frac{b_s}{r^2}}{m + a_s r + \frac{b_s}{r}}}{r[m + a_s r + \frac{b_s}{r}]} \right] + F_{n,J}(r) \left[-\frac{J(J+1)}{r^2} + \frac{C}{A} \left(\frac{\frac{a_s - \frac{b_s}{r^2}}{r[m + a_s r + \frac{b_s}{r}]}}{r[m + a_s r + \frac{b_s}{r}]} \right) - \frac{1}{\alpha_J^2 A} \left\{ (m + a_s r + \frac{b_s}{r})^2 - (E_{n,J} - a_v r - \frac{b_v}{r})^2 \right\} \right] = 0, \quad (2-6-5)$$

که

$$A = 1 + \frac{\zeta_J^2}{\alpha_J^2}, \\ C = J + 1 - \frac{\zeta_J^2}{\alpha_J^2} J. \quad (3-6-5)$$

معادله اخیر با روش‌های مرسوم حل نمی‌شود و بنابراین ناگزیر از روش حدس‌زن استفاده خواهد بود. به این منظور، ابتدا تغییر متغیر

$$F_{n,J}(r) = \sqrt{m + a_s r + \frac{b_s}{r}} \phi_{n,J}(r), \quad (4-6-5)$$

را اعمال می‌کنیم تا معادله قبل تبدیل شود به

$$\frac{d^2 \phi_{n,J}(r)}{dr^2} + \left[\frac{b_s}{a_s} \frac{1}{r^2(r^2 + \frac{m}{a_s}r + \frac{b_s}{a_s})} - \frac{3r^2}{4(r^2 + \frac{m}{a_s}r + \frac{b_s}{a_s})^2} + \frac{3b_s}{2a_s} \frac{1}{(r^2 + \frac{m}{a_s}r + \frac{b_s}{a_s})^2} \right. \\ \left. - \frac{Cb_s}{Aa_s} \frac{1}{r^2(r^2 + \frac{m}{a_s}r + \frac{b_s}{a_s})} - \frac{3b_s^2}{4a_s^2} \frac{1}{r^2(r^2 + \frac{m}{a_s}r + \frac{b_s}{a_s})^2} \right. \\ \left. - (J(J+1) + \frac{(b_s^2 - b_v^2)}{A\alpha_J^2}) \frac{1}{r^2} + \frac{C}{A} \frac{1}{(r^2 + \frac{m}{a_s}r + \frac{b_s}{a_s})} \right. \\ \left. - \frac{1}{A\alpha_J^2} (m^2 + 2a_s b_s - E_{n,J}^2 - 2a_v b_v) - \frac{(a_s^2 - a_v^2)}{A\alpha_J^2} r^2 \right. \\ \left. - \frac{(2ma_s + 2E_{n,J}a_v)}{\alpha_J^2 A} r - \frac{(2mb_s + 2E_{n,J}b_v)}{\alpha_J^2 A} \frac{1}{r} \right] \phi_{n,J}(r) = 0. \quad (5-6-5)$$

این معادله را کمی مرتبتر و به صورت زیر می‌نویسیم

$$\begin{aligned}
 & \frac{d^2\phi_{n,J}}{dr^2} + [(-\frac{3b_2}{4} + \frac{3b_s b_3}{2a_s} - \frac{3b_s^2 h}{4a_s^2}) \frac{1}{(r+r_1)^2} + \\
 & (-\frac{3d_2}{4} + \frac{3b_s d_3}{2a_s} - \frac{3b_s^2 N}{4a_s^2}) \frac{1}{(r+r_2)^2} \\
 & + (\frac{b_s d_1}{a_s} - \frac{3c_2}{4} + \frac{3b_s c_3}{2a_s} - \frac{3b_s^2 M}{4a_s^2} + \frac{cb_5}{A} - \frac{cb_s d_1}{a_s A}) \frac{1}{(r+r_2)} \\
 & + (\frac{b_s c_1}{a_s} - \frac{3a_2}{4} + \frac{3b_s a_3}{2a_s} - \frac{3b_s^2 g}{4a_s^2} + \frac{ca_5}{A} - \frac{cb_s c_1}{Aa_s}) \frac{1}{(r+r_1)} \\
 & + (\frac{b_s a_1}{a_s} - \frac{3b_s^2 s}{4a_s^2} - \frac{(2mb_s + 2E_{n,J}b_v)}{A\alpha_J^2} - \frac{cb_s a_1}{a_s A}) \frac{1}{r} + \\
 & (\frac{b_s b_1}{a_s} - \frac{3b_s^2 f}{4a_s^2} - J(J+1) + \frac{(-b_s^2 + b_v^2)}{A\alpha_J^2} - \frac{cb_s b_1}{Aa_s}) \frac{1}{r^2} \\
 & - \frac{(2ma_s + 2E_{n,J}a_v)}{A\alpha_J^2} r - \frac{(a_s^2 - a_v^2)}{A\alpha_J^2} r^2 - \frac{1}{A\alpha_J^2} (m^2 + 2a_s b_s - E_{n,J}^2 - 2a_v b_v)] \phi_{n,J}(r) = 0. \quad (6-6-5)
 \end{aligned}$$

که در آن

$$\begin{aligned}
 r_1 &= \frac{\frac{m}{a_s} + \sqrt{\frac{m^2}{a_s^2} - 4\frac{b_s}{a_s}}}{2}, \quad r_2 = \frac{\frac{m}{a_s} - \sqrt{\frac{m^2}{a_s^2} - 4\frac{b_s}{a_s}}}{2}, \\
 a_1 &= -\frac{r_1 + r_2}{(r_1 r_2)^2}, \quad d_1 = \frac{1}{(r_1 - r_2)r_2^2}, \\
 b_1 &= \frac{1}{r_1 r_2}, \quad c_1 = -a_1 - d_1, \quad a_2 = \frac{2r_2 r_1}{(r_1 - r_2)^3}, \quad c_2 = -\frac{2r_2 r_1}{(r_1 - r_2)^3} \\
 b_2 &= \frac{r_1^2}{(r_1 - r_2)^2}, \quad d_2 = \frac{r_2^2}{(r_1 - r_2)^2}, \quad a_3 = \frac{2}{(r_1 - r_2)^3}, \quad c_3 = -\frac{2}{(r_1 - r_2)^3} \\
 b_3 &= \frac{1}{(r_2 - r_1)^2}, \quad d_3 = \frac{1}{(r_2 - r_1)^2}, \quad s = -\frac{2(r_2 + r_1)}{r_1^3 r_2^3}, \quad f = \frac{1}{(r_1 r_2)^2}, \quad h = \frac{1}{r_1^2 (r_1 - r_2)^2} \\
 g &= \frac{2(2r_1 - r_2)}{r_1^3 (r_1 - r_2)^3}, \quad M = \frac{2(-2r_2 + r_1)}{r_2^3 (r_1 - r_2)^3}, \quad N = \frac{1}{r_2^2 (r_1 - r_2)^2} \\
 a_5 &= \frac{1}{r_2 - r_1}, \quad b_5 = \frac{1}{r_1 - r_2}, \quad (7-6-5)
 \end{aligned}$$

فرم	به	جوابی
$\phi_{n,J}(r) = f_n(r) \exp(g_J(r))$,		
		اکنون
		(8-6-5)
را پیشنهاد می‌دهیم که در آن		

$$f_n(r) = \begin{cases} 1 & n=0 \\ \prod_{i=1}^n (r - \alpha_i^n) & n>0, \end{cases}$$

$$g_J(r) = \beta \ln(r+r_1) + \gamma \ln(r+r_2) + \xi \ln(r) + \delta r + \eta r^2. \quad (9-6-5)$$

با جایگذاری این معادله در معادله داری ϕ

$$\begin{aligned} \phi''_{0,J}(r) = & [(\beta^2 - \beta) \frac{1}{(r+r_1)^2} + (\gamma^2 - \gamma) \frac{1}{(r+r_2)^2} + (2\delta\gamma - 4\gamma\eta r_2 + 2\beta\gamma b_5 - \frac{2\xi\gamma}{r_2}) \frac{1}{(r+r_2)} \\ & + (2\beta\delta - 4\eta\beta r_1 - \frac{2\xi\beta}{r_1} + 2\beta\gamma a_5) \frac{1}{(r+r_1)} + (2\xi\delta + \frac{2\beta\xi}{r_1} + \frac{2\gamma\xi}{r_2}) \frac{1}{r} + (\xi^2 - \xi) \frac{1}{r^2} \\ & + 4\eta^2 r^2 + (4\delta\eta)r + (\delta^2 + 2\eta + 4\eta\beta + 4\eta\gamma + 4\eta\xi)] \phi_{0,J}(r). \end{aligned} \quad (10-6-5)$$

با مساوی قرار دادن توان‌های متناظر در طرفین داری ϕ

$$\begin{aligned} \beta^2 - \beta & = -(-\frac{3b_2}{4} + \frac{3b_s b_3}{2a_s} - \frac{3b_s^2 h}{4a_s^2}) \\ \gamma^2 - \gamma & = -(-\frac{3d_2}{4} + \frac{3b_s d_3}{2a_s} - \frac{3b_s^2 N}{4a_s^2}) \\ 2\delta\gamma - 4\gamma\eta r_2 + 2\beta\gamma b_5 - \frac{2\xi\gamma}{r_2} & = -(\frac{b_s d_1}{a_s} - \frac{3c_2}{4} + \frac{3b_s c_3}{2a_s} - \frac{3b_s^2 M}{4a_s^2} + \frac{cb_5}{A} - \frac{cb_s d_1}{a_s A}) \\ 2\beta\delta - 4\eta\beta r_1 - \frac{2\xi\beta}{r_1} + 2\beta\gamma a_5 & = -(\frac{b_s c_1}{a_s} - \frac{3a_2}{4} + \frac{3b_s a_3}{2a_s} - \frac{3b_s^2 g}{4a_s^2} + \frac{ca_5}{A} - \frac{cb_s c_1}{Aa_s}) \\ 2\xi\delta + \frac{2\beta\xi}{r_1} + \frac{2\gamma\xi}{r_2} & = -(\frac{b_s a_1}{a_s} - \frac{3b_s^2 s}{4a_s^2} - \frac{(2mb_s + 2E_{n,J}b_v)}{A\alpha_J^2} - \frac{cb_s a_1}{a_s A}) \\ \xi^2 - \xi & = -(\frac{b_s b_1}{a_s} - \frac{3b_s^2 f}{4a_s^2} - J(J+1) + \frac{(-b_s^2 + b_v^2)}{A\alpha_J^2} - \frac{cb_s b_1}{Aa_s}) \\ 4\eta^2 & = \frac{(a_s^2 - a_v^2)}{A\alpha_J^2} \\ 4\delta\eta & = \frac{(2ma_s + 2E_{n,J}a_v)}{A\alpha_J^2} \\ \delta^2 + 2\eta + 4\eta\beta + 4\eta\gamma + 4\eta\xi & = \frac{1}{A\alpha_J^2} (m^2 + 2a_s b_s - E_{n,J}^2 - 2a_v b_v). \end{aligned} \quad (11-6-5)$$

۴۵

$$\begin{aligned}\beta &= \frac{1 \pm \sqrt{1 - 4(-\frac{3b_2}{4} + \frac{3b_s b_3}{2a_s} - \frac{3b_s^2 h}{4a_s^2})}}{2}, \\ \gamma &= \frac{1 \pm \sqrt{1 - 4(-\frac{3d_2}{4} + \frac{3b_s d_3}{2a_s} - \frac{3b_s^2 N}{4a_s^2})}}{2}, \\ \xi &= \frac{1 \pm \sqrt{1 - 4(\frac{b_s b_1}{a_s} - \frac{3b_s^2 f}{4a_s^2} - J(J+1) + \frac{(-b_s^2 + b_v^2)}{A\alpha_J^2} - \frac{cb_s b_1}{Aa_s})}}{2}, \\ \eta &= \pm \sqrt{\frac{(a_s^2 - a_v^2)}{4A\alpha_J^2}}, \\ \delta &= -\frac{1}{2\beta} \left(\frac{b_s c_1}{a_s} - \frac{3a_2}{4} + \frac{3b_s a_3}{2a_s} - \frac{3b_s^2 g}{4a_s^2} + \frac{ca_5}{A} - \frac{cb_s c_1}{Aa_s} - 4\eta\beta r_1 - \frac{2\xi\beta}{r_1} + 2\beta\gamma a_5 \right). \quad (12-6-5)\end{aligned}$$

که رابطه انرژی را مطابق زیر نتیجه می‌دهد:

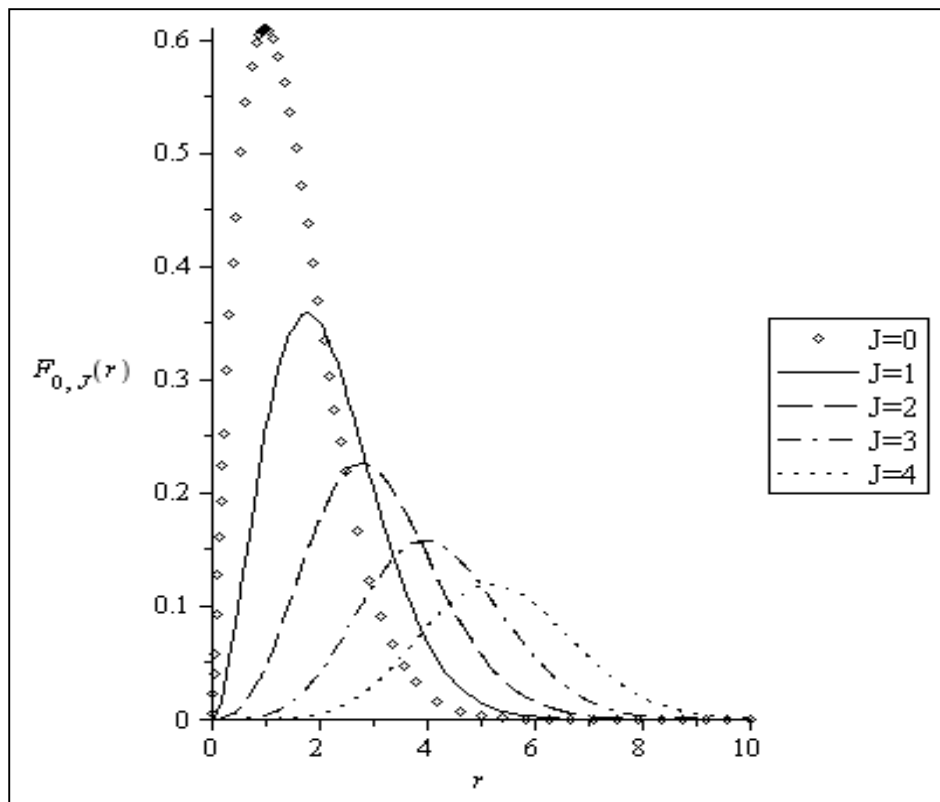
$$\begin{aligned}2\xi\delta + \frac{2\beta\xi}{r_1} + \frac{4\gamma\xi}{r_2} - 2\delta\gamma + 4\gamma\eta r_2 - 2\beta\gamma b_5 \\ + 4\delta\eta + \delta^2 + 2\eta + 4\eta\beta + 4\eta\gamma + 4\eta\xi = -\left(\frac{b_s a_1}{a_s} - \frac{3b_s^2 s}{4a_s^2} - \frac{(2mb_s + 2E_{n,J}b_v)}{A\alpha_J^2} - \frac{cb_s a_1}{a_s A}\right) \\ + \left(\frac{b_s d_1}{a_s} - \frac{3c_2}{4} + \frac{3b_s c_3}{2a_s} - \frac{3b_s^2 M}{4a_s^2} + \frac{cb_5}{A} - \frac{cb_s d_1}{a_s A}\right) \\ + \frac{(2ma_s + 2E_{n,J}a_v)}{A\alpha_J^2} + \frac{1}{A\alpha_J^2} (m^2 + 2a_s b_s - E_{n,J}^2 - 2a_v b_v). \quad (13-6-5)\end{aligned}$$

ویژه‌مقادیر انرژی سیستم و ضریب بهنجارش در جدول آمده‌اند. تابع موج در شکل رسم شده است.

جدول ۴,۵. ثابت بهنجارش و انرژی کرنل برای

$$a_s = 0.4, \quad b_s = 0.3, \quad a_v = 0.2, \quad b_v = 0.1, \quad m = 1 \\ \eta = -0.1732050808, \quad \gamma = -0.5000000005, \quad \beta = -0.500000000$$

$ n,J\rangle$	$E_{n,J}$	ξ	δ	$N_{n,J}$
$ 0,0\rangle$	2.637824618	1.539230485	0.727027635 5	2.372602902
$ 0,1\rangle$	3.495550051	2.254992878	0.394329650 3	0.7201493353
$ 0,2\rangle$	4.112492347	3.160826939	0.026716733 7	0.0829224123
$ 0,3\rangle$	4.430201988	4.116628264	0.470988712 7	0.0040171377 57
$ 0,4\rangle$	4.480450270	5.091296113	0.924030160 0	0.0000859787 71



شکل ۵,۵. تابع موج تحت کرنل

۷-۵ دی کی پی تحت دنگ فن

این بار معادله دی-کی-پی را تحت برهمکنش‌های برداری و اسکالار

$$U_s = V_0 + \frac{V_1}{e^{\alpha r} - 1} + \frac{V_2}{(e^{\alpha r} - 1)^2},$$

$$U_v^0 = u_0 + \frac{u_1}{e^{\alpha r} - 1} + \frac{u_2}{(e^{\alpha r} - 1)^2}, \quad (1-7-5)$$

در نظر می‌گیریم. این برهمکنش حالت کلی‌تر برهمکنش هالسن است و در حالت حدی علاوه بر جمله کولنی، دارای یک جمله عکس مجددی نیز هست. معادله حاصل با روش‌های شناخته شده قابل حل نیست. بنابراین ابتدا تبدیلی به فرم

$$F_{n,J}(r) = \sqrt{m+U_s} u_{n,J}(r), \quad (2-7-5)$$

را اعمال می‌کنیم تا معادله دی-کی-پی تبدیل شود به

$$\left[\frac{d^2}{dr^2} + \frac{U''_s}{2} \frac{1}{m+U_s} - \frac{3}{4} \frac{U'^2_s}{(m+U_s)^2} - \frac{J(J+1)}{r^2} + \frac{C U'_s}{A(m+U_s)} \frac{1}{r} - \frac{1}{A \alpha_J^2} [(m+U_s)^2 - (E_{n,J} - U_v^0)^2] \right] u_{n,J}(r) = 0. \quad (3-7-5)$$

که در آن

$$A = 1 + \frac{\zeta_J^2}{\alpha_J^2}, \quad C = J + 1 - \frac{\zeta_J^2}{\alpha_J^2} J, \quad (4-7-5)$$

اکنون با جایگذاری پتانسیل دنگ - فن داریم

$$\begin{aligned} & \left[\frac{d^2}{dr^2} + \frac{1}{2} (-\alpha^2 V_1 \frac{e^{\alpha r}}{(e^{\alpha r}-1)^2} + 2\alpha^2 V_1 \frac{e^{2\alpha r}}{(e^{\alpha r}-1)^3} - 2\alpha^2 V_2 \frac{e^{\alpha r}}{(e^{\alpha r}-1)^3} + 6\alpha^2 V_2 \frac{e^{2\alpha r}}{(e^{\alpha r}-1)^4}) \right. \\ & \times \frac{1}{m+V_0 + \frac{V_1}{e^{\alpha r}-1} + \frac{V_2}{(e^{\alpha r}-1)^2}} \\ & \left. - \frac{3}{4} \frac{1}{(m+V_0 + \frac{V_1}{e^{\alpha r}-1} + \frac{V_2}{(e^{\alpha r}-1)^2})^2} \left(-\frac{\alpha V_1 e^{\alpha r}}{(e^{\alpha r}-1)^2} - \frac{2\alpha V_2 e^{\alpha r}}{(e^{\alpha r}-1)^3} \right)^2 - \frac{J(J+1)}{r^2} \right. \\ & \left. + \frac{C}{A(m+V_0 + \frac{V_1}{e^{\alpha r}-1} + \frac{V_2}{(e^{\alpha r}-1)^2})} \left(-\frac{\alpha V_1 e^{\alpha r}}{(e^{\alpha r}-1)^2} - \frac{2\alpha V_2 e^{\alpha r}}{(e^{\alpha r}-1)^3} \right) \frac{1}{r} \right. \\ & \left. - \frac{1}{A \alpha_J^2} [(m+V_0 + \frac{V_1}{e^{\alpha r}-1} + \frac{V_2}{(e^{\alpha r}-1)^2})^2 - (E_{n,J} - u_0 - \frac{u_1}{e^{\alpha r}-1} - \frac{u_2}{(e^{\alpha r}-1)^2})^2] \right] u_{n,J}(r) = 0 \end{aligned} \quad (5-7-5)$$

برای به دست آوردن جواب حالت کلی، تقریب‌های زیر را معرفی می‌کنیم

$$\begin{aligned} \frac{1}{r^2} & \approx \frac{\alpha^2}{(e^{\alpha r}-1)^2}, \\ \frac{1}{r} & \approx \frac{\alpha}{e^{\alpha r}-1}, \end{aligned} \quad (6-7-5)$$

با این کار می‌رسیم به

$$\begin{aligned}
& \left[\frac{d^2}{dr^2} + \left(-\frac{\alpha^2 V_1}{2} \frac{e^{\alpha r}}{(e^{\alpha r}-1)^2} + \alpha^2 V_1 \frac{e^{2\alpha r}}{(e^{\alpha r}-1)^3} - \alpha^2 V_2 \frac{e^{\alpha r}}{(e^{\alpha r}-1)^3} \right. \right. \\
& \left. \left. + 3\alpha^2 V_2 \frac{e^{2\alpha r}}{(e^{\alpha r}-1)^4} \right) \frac{1}{m + V_0 + \frac{V_1}{e^{\alpha r}-1} + \frac{V_2}{(e^{\alpha r}-1)^2}} \right. \\
& \left. + \left(-\frac{3}{4} \alpha^2 V_1^2 \frac{e^{2\alpha r}}{(e^{\alpha r}-1)^4} - 3\alpha^2 V_2^2 \frac{e^{2\alpha r}}{(e^{\alpha r}-1)^6} - 3\alpha^2 V_1 V_2 \frac{e^{2\alpha r}}{(e^{\alpha r}-1)^5} \right) \frac{1}{(m + V_0 + \frac{V_1}{e^{\alpha r}-1} + \frac{V_2}{(e^{\alpha r}-1)^2})^2} \right. \\
& \left. - J(J+1)\alpha^2 \left(\frac{1}{e^{\alpha r}-1} \right)^2 + \right. \\
& \left. \frac{C\alpha}{A} \left(\frac{1}{e^{\alpha r}-1} \right) \left(-\alpha V_1 \frac{e^{\alpha r}}{(e^{\alpha r}-1)^2} - 2\alpha V_2 \frac{e^{\alpha r}}{(e^{\alpha r}-1)^3} \right) \frac{1}{m + V_0 + \frac{V_1}{e^{\alpha r}-1} + \frac{V_2}{(e^{\alpha r}-1)^2}} \right. \\
& \left. - \frac{1}{A\alpha_J^2} \left\{ \left(m + V_0 + \frac{V_1}{e^{\alpha r}-1} + \frac{V_2}{(e^{\alpha r}-1)^2} \right)^2 - \left(E_{n,J} - u_0 - \frac{u_1}{e^{\alpha r}-1} - \frac{u_2}{(e^{\alpha r}-1)^2} \right)^2 \right\} \right] u_{n,J}(r) = 0. \quad (7-7-5)
\end{aligned}$$

در این مرحله تبدیلی به فرم

$$u_{n,J}(z) = \frac{\phi_{n,J}(z)}{\sqrt{z}}, \quad (8-7-5)$$

را اعمال می‌کنیم و پس از تغییر متغیر

$$z = e^{\alpha r}, \quad (9-7-5)$$

می‌رسیم به

$$\begin{aligned}
& \left[\frac{d^2}{dz^2} + \frac{1}{4} \frac{1}{z^2} + \left(-\frac{V_1}{2(m+V_0)} \frac{1}{z} + \frac{V_1}{(m+V_0)} \frac{1}{z-1} - \frac{V_2}{(m+V_0)} \frac{1}{z(z-1)} + \right. \right. \\
& \left. \left. \frac{3V_2}{(m+V_0)} \frac{1}{(z-1)^2} \right) \left(\frac{1}{(z+z_1)(z+z_2)} \right) \right. \\
& \left. + \left(-\frac{3V_1^2}{4(m+V_0)^2} - \frac{3V_2^2}{(m+V_0)^2} \frac{1}{(z-1)^2} - \frac{3V_2 V_1}{(m+V_0)^2} \frac{1}{z-1} \right) \left(\frac{1}{(z+z_1)(z+z_2)} \right)^2 \right. \\
& \left. - J(J+1) \frac{1}{z^2(z-1)^2} + \frac{1}{(z+z_1)(z+z_2)} \left\{ -\frac{CV_1}{A(m+V_0)} \frac{1}{z(z-1)} - \frac{2CV_2}{A(m+V_0)} \frac{1}{z(z-1)^2} \right\} \right. \\
& \left. - \frac{1}{A\alpha^2 \alpha_J^2} ((m+V_0)^2 - (E_{n,J} - u_0)^2) \frac{1}{z^2} \right. \\
& \left. - \frac{1}{A\alpha^2 \alpha_J^2} (V_1^2 - u_1^2 + 2V_2(m+V_0) + 2u_2(E_{n,J} - u_0)) \frac{1}{z^2(z-1)^2} \right. \\
& \left. - \frac{1}{A\alpha^2 \alpha_J^2} (2V_1(m+V_0) + 2u_1(E_{n,J} - u_0)) \frac{1}{z^2(z-1)} \right. \\
& \left. - \frac{1}{A\alpha^2 \alpha_J^2} (2V_2 V_1 - 2u_1 u_2) \frac{1}{z^2(z-1)^3} - \frac{1}{A\alpha^2 \alpha_J^2} (V_2^2 - u_2^2) \frac{1}{z^2(z-1)^4} \right] \phi_{n,J}(z) = 0. \quad (10-7-5)
\end{aligned}$$

پس از تجزیه کسرها داریم

$$\begin{aligned}
& \left[\frac{d^2}{dz^2} + \frac{\lambda}{z} + \frac{\omega}{z^2} + \frac{s}{z-1} + \frac{q}{(z-1)^2} + \frac{p}{(z-1)^3} + \frac{N}{(z-1)^4} + \frac{g}{z+z_1} \right. \\
& \left. + \frac{h}{(z+z_1)^2} + \frac{\chi}{z+z_2} + \frac{\kappa}{(z+z_2)^2} \right] \phi_{n,J}(z) = 0. \quad (11-7-5)
\end{aligned}$$

ک

$$\begin{aligned}
z_1 &= \frac{1}{2} \left(\frac{V_1 - 2(m+V_0)}{m+V_0} + \sqrt{\left(\frac{V_1 - 2(m+V_0)}{m+V_0} \right)^2 - 4 \frac{m+V_0 - V_1 + V_2}{m+V_0}} \right) \\
z_2 &= \frac{1}{2} \left(\frac{V_1 - 2(m+V_0)}{m+V_0} - \sqrt{\left(\frac{V_1 - 2(m+V_0)}{m+V_0} \right)^2 - 4 \frac{m+V_0 - V_1 + V_2}{m+V_0}} \right) \\
\lambda &= -\frac{V_1}{2z_1 z_2 (m+V_0)} + \frac{1}{z_1 z_2} \left(\frac{V_2}{m+V_0} + \frac{CV_1}{A(m+V_0)} \right) + \frac{2V_1(m+V_0)}{A\alpha_J^2 \alpha^2} + \frac{2u_1(E_{n,J} - u_0)}{A\alpha_J^2 \alpha^2} \\
&- 2J(J+1) - \frac{2}{A\alpha_J^2 \alpha^2} (V_1^2 - u_1^2 + 2V_2(m+V_0) + 2u_2(E_{n,J} - u_0)) + \\
&\frac{3}{A\alpha_J^2 \alpha^2} (2V_1 V_2 - 2u_1 u_2) - \frac{4}{A\alpha_J^2 \alpha^2} (V_2^2 - u_2^2) \\
&- \frac{2CV_2}{Az_1 z_2 (m+V_0)} \\
\omega &= \frac{1}{4} - \frac{1}{A\alpha_J^2 \alpha^2} ((m+V_0)^2 - (E_{n,J} - u_0)^2) + \frac{2V_1(m+V_0)}{A\alpha_J^2 \alpha^2} + \frac{2u_1(E_{n,J} - u_0)}{A\alpha_J^2 \alpha^2} - J(J+1) \\
&- \frac{1}{A\alpha_J^2 \alpha^2} (V_1^2 - u_1^2 + 2V_2(m+V_0) + 2u_2(E_{n,J} - u_0)) + \frac{1}{A\alpha_J^2 \alpha^2} (2V_1 V_2 - 2u_1 u_2) - \frac{1}{A\alpha_J^2 \alpha^2} (V_2^2 - u_2^2)
\end{aligned}$$

$$\begin{aligned}
S &= \frac{V_1}{(m+V_0)(z_1+1)(z_2+1)} + \frac{1}{(z_1+1)(z_2+1)} \left(-\frac{V_2}{m+V_0} - \frac{CV_1}{A(m+V_0)} \right) - \frac{3V_2(z_1+z_2+2)}{(z_1+1)^2(z_2+1)^2(m+V_0)} \\
&+ \frac{6V_2^2(z_1+z_2+2)}{(z_1+1)^3(z_2+1)^3(m+V_0)^2} - \frac{3V_1 V_2}{(m+V_0)^2(z_1+1)^2(z_2+1)^2} - \frac{2V_1(m+V_0)}{A\alpha_J^2 \alpha^2} - \frac{2u_1(E_{n,J} - u_0)}{A\alpha_J^2 \alpha^2} \\
&+ 2J(J+1) + \frac{2}{A\alpha_J^2 \alpha^2} (V_1^2 - u_1^2 + 2V_2(m+V_0) + 2u_2(E_{n,J} - u_0)) - \frac{3}{A\alpha_J^2 \alpha^2} (2V_1 V_2 - 2u_1 u_2) \\
&+ \frac{4}{A\alpha_J^2 \alpha^2} (V_2^2 - u_2^2) + \frac{2CV_2(z_1 z_2 + 2z_1 + 2z_2 + 3)}{A(m+V_0)(z_1+1)^2(z_2+1)^2} \\
q &= \frac{3V_2}{(m+V_0)(z_1+1)(z_2+1)} - \frac{3V_2^2}{(m+V_0)^2(z_1+1)^2(z_2+1)^2} - J(J+1) - \frac{1}{A\alpha_J^2 \alpha^2} (V_1^2 - u_1^2 + 2V_2(m+V_0) + 2u_2(E_{n,J} - u_0)) \\
&+ \frac{2}{A\alpha_J^2 \alpha^2} (2V_1 V_2 - 2u_1 u_2) - \frac{3}{A\alpha_J^2 \alpha^2} (V_2^2 - u_2^2) - \frac{2CV_2}{A(m+V_0)(z_1+1)(z_2+1)} \\
g &= -\frac{V_1}{2z_1(z_1-z_2)(m+V_0)} + \frac{V_1}{(z_1+1)(z_1-z_2)(m+V_0)} + \frac{1}{z_1(z_1-z_2)(z_1+1)} \left(\frac{V_2}{m+V_0} + \frac{CV_1}{A(m+V_0)} \right) \\
&- \frac{3V_2}{(m+V_0)(z_1+1)^2(z_1-z_2)} - \frac{6V_1^2}{4(m+V_0)^2(z_1-z_2)^3} - \frac{6V_2^2(-z_2+2z_1+1)}{(m+V_0)^2(z_1-z_2)^3(z_1+1)^3} + \frac{3V_2 V_1(-z_2+3z_1+2)}{(m+V_0)^2(z_1-z_2)^3(z_1+1)^2} \\
&- \frac{2CV_2}{Az_1(m+V_0)(z_1-z_2)(z_1+1)^2}
\end{aligned}$$

$$\begin{aligned}
p &= -\frac{1}{A\alpha_J^2 \alpha^2} (2V_1 V_2 - 2u_1 u_2) + \frac{2}{A\alpha_J^2 \alpha^2} (V_2^2 - u_2^2) \\
N &= -\frac{1}{A\alpha_J^2 \alpha^2} (V_2^2 - u_2^2)
\end{aligned}$$

$$\begin{aligned}
h &= -\frac{3V_1^2}{4(m+V_0)^2(z_2-z_1)^2} - \frac{3V_2^2}{(m+V_0)^2(z_1-z_2)^2(z_1+1)^2} + \frac{3V_1V_2}{(m+V_0)^2(z_1-z_2)^2(z_1+1)} \\
\chi &= \frac{V_1}{2z_2(z_1-z_2)(m+V_0)} + \frac{V_1}{(z_2+1)(z_2-z_1)(m+V_0)} + \frac{1}{z_2(z_2-z_1)(z_2+1)} \left(\frac{V_2}{m+V_0} + \frac{CV_1}{A(m+V_0)} \right) \\
&\quad - \frac{3V_2}{(m+V_0)(z_2+1)^2(z_2-z_1)} + \frac{6V_1^2}{4(m+V_0)^2(z_1-z_2)^3} - \frac{6V_2^2(-z_1+2z_2+1)}{(m+V_0)^2(z_2-z_1)^3(z_2+1)^3} \\
&\quad + \frac{3V_2V_1(-z_1+3z_2+2)}{(m+V_0)^2(z_2-z_1)^3(z_2+1)^2} - \frac{2CV_2}{Az_2(m+V_0)(z_2-z_1)(z_2+1)^2} \\
\kappa &= -\frac{3V_1^2}{4(m+V_0)^2(z_2-z_1)^2} - \frac{3V_2^2}{(m+V_0)^2(z_1-z_2)^2(z_2+1)^2} + \frac{3V_1V_2}{(m+V_0)^2(z_1-z_2)^2(z_2+1)}. \quad (12-7-5)
\end{aligned}$$

اکنون جوابی به فرم

$$\phi_{n,J}(z) = f_n(z) \exp(g_J(z)), \quad (20)$$

$$f_n(z) = \begin{cases} 1 & n = 0 \\ \prod_{i=1}^n (z - \alpha_i^n) & n > 0, \end{cases} \quad (21-a)$$

$$g_J(z) = \gamma \ln(z) + \beta \ln(z-1) + \frac{\eta}{z-1} + \xi \ln(z+z_1) + \delta \ln(z+z_2). \quad (13-7-5)$$

را پیشنهاد می‌دهیم. با جایگذاری داریم

$$\begin{aligned}
\phi''_{0,J}(z) &= [(-2\beta\gamma - 2\gamma\eta + \frac{2\gamma\xi}{z_1} + \frac{2\gamma\delta}{z_2}) \frac{1}{z} + (\gamma^2 - \gamma) \frac{1}{z^2} \\
&\quad + (2\beta\gamma + 2\gamma\eta + \frac{2\beta\xi}{1+z_1} + \frac{2\beta\delta}{1+z_2} + \frac{2\eta\xi}{(1+z_1)^2} + \frac{2\eta\delta}{(1+z_2)^2}) \frac{1}{z-1} \\
&\quad + (\beta^2 - \beta - 2\gamma\eta - \frac{2\eta\xi}{1+z_1} - \frac{2\eta\delta}{1+z_2}) \frac{1}{(z-1)^2} \\
&\quad + (2\eta - 2\beta\eta) \frac{1}{(z-1)^3} + \eta^2 \frac{1}{(z-1)^4} + (-\frac{2\gamma\xi}{z_1} - \frac{2\beta\xi}{1+z_1} - \frac{2\eta\xi}{(1+z_1)^2} + \frac{2\xi\delta}{z_2-z_1}) \frac{1}{z+z_1} \\
&\quad + (\xi^2 - \xi) \frac{1}{(z+z_1)^2} + (-\frac{2\delta\gamma}{z_2} - \frac{2\beta\delta}{1+z_2} - \frac{2\eta\delta}{(1+z_2)^2} - \frac{2\xi\delta}{z_2-z_1}) \frac{1}{z+z_2} \\
&\quad + (\delta^2 - \delta) \frac{1}{(z+z_2)^2}] \phi_{0,J}(z) \quad (14-7-5)
\end{aligned}$$

در نتیجه، برای حالت بدون گره داریم

$$\begin{aligned}
& -2\beta\gamma - 2\gamma\eta + \frac{2\gamma\xi}{z_1} + \frac{2\gamma\delta}{z_2} = -\lambda \\
& \gamma^2 - \gamma = -\omega \\
& 2\beta\gamma + 2\gamma\eta + \frac{2\beta\xi}{1+z_1} + \frac{2\beta\delta}{1+z_2} + \frac{2\eta\xi}{(1+z_1)^2} + \frac{2\eta\delta}{(1+z_2)^2} = -S \\
& \beta^2 - \beta - 2\gamma\eta - \frac{2\eta\xi}{1+z_1} - \frac{2\eta\delta}{1+z_2} = -q \\
& 2\eta - 2\beta\eta = -p \\
& \eta^2 = -N \\
& -\frac{2\gamma\xi}{z_1} - \frac{2\beta\xi}{1+z_1} - \frac{2\eta\xi}{(1+z_1)^2} + \frac{2\xi\delta}{z_2 - z_1} = -g \\
& \xi^2 - \xi = -h \\
& -\frac{2\delta\gamma}{z_2} - \frac{2\beta\delta}{1+z_2} - \frac{2\eta\delta}{(1+z_2)^2} - \frac{2\xi\delta}{z_2 - z_1} = -\chi \\
& \delta^2 - \delta = -\kappa
\end{aligned} \tag{15-7-5}$$

که انرژی سیستم را تعیین می کند.

فصل شش

بررسی مزون‌های B و D

۱-۶ بررسی مزون‌های B و D تحت کرنل

تابع

$$\zeta(y) = 1 - \rho^2(y-1) + c(y-1)^2 \quad (1.6)$$

$$\zeta(y) = \int_0^\infty 4\pi r^2 |\Psi(r)|^2 \cos(pr) dr \quad (2.6)$$

که در آن

$$p^2 = 2\mu^2(y-1), \quad (3.6)$$

$$\rho^2 = 4\pi\mu^2 \int_0^\infty r^4 |\Psi(r)|^2 dr, \quad (4.6)$$

$$c = \frac{2}{3}\pi\mu^4 \int_0^\infty r^6 |\Psi(r)|^2 dr, \quad (5.6)$$

یکی از بهترین معیارها برای بررسی مزون‌هاست. در این فصل نتایج پتانسیل کرنل را برای مزون‌های و اعمال کرده‌ایم. همان‌طور که می‌بینیم، نتایج همخوانی خوبی دارند.

جدول ۱.۶. مشخصات مزون B به ازای $\mu = 0.318$

r_0	N_3 (ours)	ρ^2 (ours)	ρ^2 [9]	ρ^2 [22]	ρ^2 [55]	c (ours)	c [9]	c [33]
3.5	8.2365	0.1746	-	0.83	1.04	0.0151	-	1.36
4.0	8.1626	0.2306	0.6699			0.0268	0.0268	
4.5	8.1092	0.3004	0.7030			0.0460	0.1118	
5.0	8.0655	0.3930	1.1758			0.0794	0.3451	
5.5	8.0112	0.5270	2.0523			0.1415	0.8722	
6.0	7.9118	0.7360	2.7854			0.2629	1.4441	
6.5	7.7132	1.0735	-			0.5028	-	
7.0	7.3458	1.6058	-			0.9562	-	
7.5	6.7498	2.3785	-			1.7376	-	
8.0	5.9215	3.3656	-			2.9221	-	

جدول ۲.۶. مشخصات مزون D به ازای $\mu = 0.2761$

r_0	N_3 (ours)	ρ^2 (ours)	ρ^2 [9]	ρ^2 [40, 41]	ρ^2 [42]	c (ours)	c [9]
-------	--------------	-----------------	--------------	-------------------	---------------	------------	---------

3.5	8.1466	0.1300	-	1.67	1.35	0.0082	-
4.0	8.1130	0.1694	-			0.0141	-
4.5	8.1186	0.2170	-			0.0236	-
5.0	8.1499	0.2811	0.6821			0.0402	0.1138
5.5	8.1730	0.3827	1.2249			0.0747	0.3571
6.0	8.11430	0.5677	1.9099			0.1543	0.7342
6.5	7.8407	0.9139	2.463			0.3374	1.1247
7.0	7.1873	1.4976	-			0.7097	-
7.5	6.0965	2.2928	-			1.3224	-
8.0	4.7511	3.1433	-			2.1281	-

. $\mu = 0.368$ جدول ۳،۶. مشخصات مزون D_s به ازای

r_0	N_3 (ours)	ρ^2 (ours)	ρ^2 [9]	c (ours)	c [9]
3.5	8.2974	0.2517	-	0.0322	-
4.0	8.1860	0.3401	-	0.0592	-
4.5	8.0783	0.4545	-	0.1057	-
5.0	7.9638	0.6080	2.1054	0.1867	0.9665
5.5	7.8275	0.8221	1.0707	0.3296	0.2882
6.0	7.6489	1.1286	3.8782	0.5823	2.6875
6.5	7.4025	1.5697	-	1.0226	-
7.0	7.0614	2.1923	-	1.7628	-
7.5	6.6050	3.0327	-	2.9409	-
8.0	6.0307	4.0964	-	4.6894	-

. $\mu = 0.4401$ جدول ۴،۶. مشخصات مزون B_s به ازای

r_0	N_3	ρ^2 (ours)	ρ^2 [9]	c (ours)	c [9]
3.5	8.2427	0.4424	0.9809	0.0971	0.2101
4.0	8.0616	0.6236	1.0924	0.1886	0.2805
4.5	7.8637	0.8666	2.2312	0.3504	1.1423
5.0	7.6400	1.1935	3.6471	0.6291	2.5282
5.5	7.3810	1.6322	-	1.0951	-
6.0	7.0778	2.2142	-	1.8497	-
6.5	6.7241	2.9697	-	3.0267	-
7.0	6.3176	3.9223	-	4.7874	-
7.5	5.8625	5.0814	-	7.3063	-
8.0	5.3694	6.4388	-	10.7511	-

فصل هفت

نتیجە گىرى و پىشىھادات

همان طور که دی‌دی‌م معادلات سالپی‌تر بدون اسپین و دی-کی-پی هر دو به صورت معادلات شبه-شروعی‌نگر تبدیل شدند. با استفاده از روش‌های تحلیلی توانایی مانند مکانیک کوانتومی ابرتقارنی، روش نیکی‌فروو-ووارو، و روش آنساز توانستیم این معادلات را تحت برهم‌کنش‌های مهم فیزیکی حل کنیم و توابع موج و ویژه‌مقادیر انرژی حالت‌های پایه و برانگیخته را محاسبه کنیم. همان‌طور که انتظار داشتیم پتانسیل کرنل به دلیل داشتن جمله محبوس‌کننده نتایج قابل قبولی داشت. به عنوان یک پیشنهاد، می‌توان پتانسیل کرنل را با پتانسیل‌های نمایی و ایکاوا ترکیب کرد و نتایج را بررسی نمود. نتایج حاصل را می‌توان برای محاسبه انرژی بستگی، خواص گذار، شعاع باری، انتقال بار، فرم فکتورها و ... به کار بست.

منابع :

- [1] A. W. Thomas, A. Weise, (2001), "Structure of the Nucleon, Wiley-VCH".
- [2] B. Thaller, (1992), "The Dirac Equation, Springer-Verlag".
- [3] J. N. Ginocchio, (2005), "Relativistic symmetries in nuclei", Phys. Rep. 414 165.
- [4] Salpeter, E.E., Bethe, H.A, (1951), " relativistic equation for bound-state problems.", A Phys. Rev. 84, 1232–1242
- [5] Wick, G.C. (1954)," Properties of Bethe–Salpeter wave function.", Phys. Rev. 96, 1124–1134
- [6] Pieter, M., Roberts, C.D, (2003), " Dyson Schwinger equations." Int. J. Mod. Phys. E 12, 297–365
- [7] Chang, L., Roberts, C.D, (2009)," Sketching the Bethe–Salpeter kernel.", Phys. Rev. Lett. 103, 081601
- [8] Pieter, M., Roberts, C.D., (1997)," π - and K-meson Bethe–Salpeter amplitudes.", Phys. Rev. C 56, 3369–3383.
- [9] Nakanishi, N., (1969), " A general survey of the theory of the Bethe–Salpeter equation.", Prog. Theor. Phys. Suppl. 43, 1–81.

- [10] Li, Z.F. et al., (2008), " Stability in the instantaneous Bethe–Salpeter formalism: a reduced exact-propagator bound-state equation with harmonic interaction." *J. Phys. G: Nucl. Part. Phys* 35, 115002.
- [11] Lucha, W., Schoberl, F.F, (1999), " Semirelativistic treatment of bound states.", *Int. J. Mod. Phys. A* 14, 2309–2334.
- [12] Lucha, W., Schoberl, F.F., (2002), " Instantaneous Bethe–Salpeter equation: improved analytical solution.", *Int. J. Mod. Phys. A* 17, 2233
- [13] Hall, R., Lucha, W., (2005), " Schrödinger upper bounds to semirelativistic eigenvalues.", *J. Phys. A: Math. Gen* 38, 7997
- [14] Hall, R., Lucha, W., (2010), " Klein–Gordon lower bound to the semirelativistic ground-state energy.", *Phys. Lett. A* 374, 1980–1984
- [15] Lucha, W., Schoberl, F.F., (1996)," Relativistic Coulomb problem: analytic upper bounds on energy levels. ", *Phys. Rev. A* 54, 3790–3794
- [16] Lucha, W., Schöberl, F.F., (2000)," Accuracy of approximate eigenstates.", *Int. J. Mod. Phys. A* 15, 3221–3236
- [17] Hall, R., Lucha, W., Schöberl, F.F., (2003), " Discrete spectra of semirelativistic hamiltonians.", *Int. J. Mod. Phys. A* 18, 2657–2680
- [18] Hall, R., Lucha, W., Schöberl, F.F., (2001),"Energy bounds for the spinless Salpeter equation: harmonic oscillator.", *J. Phys. A* 34, 5059–5064
- [19] Hall, R., Lucha, W., Schöberl, F.F., (2002), "Discrete spectra of semirelativistic Hamiltonians from envelope theory.", *Int. J. Mod. Phys. A* 17, 1931–1952
- [20] Hall, R., Lucha, W., (2008), " Semirelativistic stability of N-boson systems bound by $1/r_{ij}$ pair potentials.", *J. Phys. A: Math. Theor.* 41, 355202
- [21] Lucha, W., Schoberl, F.F., (1994), " Variational approach to the spinless relativistic Coulomb problem.", *Phys. Rev. D* 50, 5443–5445
- [22] Hall, R., Lucha,W., Schoberl, F.F., (2001), " bounds for the spinless Salpeter equation: harmonic oscillator.", *Energy J. Phys. A:Math. Gen.* 34, 5059
- [23] Hall, R., Lucha, W., (2007)," Schrödinger secant lower bounds to semirelativistic eigenvalues.", *Int. J. Mod. Phys. A* 22, 1899–1904
- [24] Lucha, W., Schöberl, F.F., Gromes, D., (1991), " Bound states of quarks.", *Phys. Rep.* 200, 127–240

- [25] Ikhdair, S.M., Sever, R., (2008), " Bound-states of the spinless Salpeter equation for the pt-symmetric generalized Hulthen potential by the Nikiforov–Uvarov Method. ", Int. J. Mod. Phys. E 17, 1107
- [26] Jaczko, G., Durand, L., (1998), " Understanding the success of nonrelativistic potential models for relativistic quark–antiquark bound state.", Phys. Rev. D 58, 114017
- [27] Ikhdair, S.M., Sever, R., (1992), " Heavy-quark bound states in potentials with the Bethe–Salpeter equation.", Z. Phys. C 56, 155
- [28] Ikhdair, S.M., Sever, R., (1993), " Bethe–Salpeter equation for non-self conjugate mesons in a power-law potential.", Z. Phys. C58, 153
- [29] Ikhdair, S.M., Sever, R., (2005), " Mass spectra of heavy quarkonia and B_c decay constant for static scalar-vector interactions with relativistic kinematics.", Int. J. Mod. Phys. A 20(28), 6509
- [30] Arafah, M.R. et al., (1992), " Power law potential and quarkonium.", Ann. Phys. 220, 55
- [31] Olson, C. et al., (1992), " QCD, relativistic flux tubes, and potential models.", Phys. Rev. D 45, 4307
- [32] Durand, B., Durand, L., (1982)," Relativistic duality, and relativistic and radiative corrections for heavy-quark systems.", Phys. Rev. D 25, 2312.
- [33] Durand, B., Durand, L., (1984), " Connection of relativistic and nonrelativistic wave functions in the calculation of leptonic widths.", Phys. Rev. D 30, 1904
- [34] Nickisch, J., Durand, L., Durand, B., (1984), " Salpeter equation in position space: numerical solution for arbitrary confining potentials.", Phys. Rev. D 30, 660
- [35] Li, B.Q., Chao, K.T., (2009), " Higher charmonia and X, Y, Z states with screened potential. Phys.", Rev. D 79, 094004
- [36] Jaczko, G., Durand, L., (1998), " Understanding the success of nonrelativistic potential models for relativistic quark–antiquark bound states.", Phys. Rev. D 58, 114017
- [37] N. Kemmer, (1938), " Quantum Theory of Einstein-Bose Particles and Nuclear Interaction", Proc. R. Soc. A 166, 127.
- [38] R. J. Duffin, (1938), " On The Characteristic Matrices of Covariant Systems ,", Phys. Rev. 54, 1114
- [39] N. Kemmer, (1939), " The Particle Aspect of Meson Theory ", Proc. R. Soc. A, 173, 91

- [40] G. Petiau, (1936), University of Paris thesis published in Acad. Roy. de Belg., A. Sci. Mem. Collect.vol. 16, N 2, 1
- [41] R. Cardoso, L. B. Castro and A. S. de Castro, (2010)," T Effects Due to a Scalar Coupling on the Particle-Antiparticle Production in the Duffin-Kemmer-Petiau Theory.", Int. J. Theor. Phys. 49 10-17.
- [42] T. R. Cardoso, L. B. Castro and A. S. de Castro. (2008), "Inconsistencies of a purported probability current in the Duffin Kemmer Petiau theory", Phys. Lett. A 372, 5964.
- [43] L. Chetouani, M. Merad, T. Boudjedaa and A. Lecheheb, (2004)," Bound-states of the (1+1)-dimensional DKP equation with a pseudoscalar linear plus Coulomb-like", Int. J. Theor. Phys. 43, 1147.
- [44] T. R. Cardoso, L. B. Castro and A. S. de Castro, (2010), " On the nonminimal vector coupling in the Duffin-Kemmer-Petiau theory and the confinement of massive bosons by a linear potential", J. Phys. A: Math. Theor. 43 055306.
- [45] A. S. de Castro, (2011), " Bound states of the Duffin-Kemmer-Petiau equation with a mixed minimal-nonminimal vector cusp potential.", J. Phys. A: Math. Theor. 44 035201.
- [45] R.E. Kozack, et al., (1988), " Relativistic deuteron-nucleus scattering in the Kemmer-Duffin-Petiau formalism.", Phys. Rev. C 37 2898.
- [46] R.E. Kozack, (1989), " Spin-one Kemmer-Duffin-Petiau equations and intermediate-energy deuteron-nucleus scattering", Phys. Rev. C 40 2181.
- [47] V.K. Mishra, et al., (1991), " Implications of various spin-one relativistic wave equations for intermediate-energy deuteron-nucleus scattering.", Phys. Rev. C 43 (1991) 801.
- [48] B.C. Clark, et al., (1998)," Pion-nucleus scattering at medium energies with densities from chiral effective field theories.", Phys. Lett. B 427 (1998) 231
- [49] V. Gribov, (1999), " QCD at large and short distances", Eur. Phys. J. C 10 71.
- [50] J.T. Lunardi, B.M. Pimentel, R.G. Teixeira, J.S. Valverde, (2000), " Remarks on Duffin-Kemmer-Petiau theory and gauge invariance", Phys. Lett. A 268 165.
- [51] J.T. Lunardi, L.A. Manzoni, B.M. Pimentel, J.S. Valverde, (2002), " Duffin-Kemmer-Petiau Theory in the Causal Approach", Int. J. Mod. Phys. A 17 205.
- [52] M. Nawakowski, (1998), " The electromagnetic coupling in Kemmer-Duffin-Petiau theory", Phys. Lett. A 244 329.

- [53] T. R. Cardoso, L. B. Castro and A. S. deCastro, (2010), " Effects Due to a Scalar Coupling on the Particle-Antiparticle Production in the Duffin-Kemmer-Petiau Theory", Int J. Theor. Phys. 49 10.
- [54] M. de Montigny, F.C. Khanna, A.E. Santana, E.S. Santos, (2000), " Galilean covariance and the Duffin-Kemmer-Petiau equation", J. Phys. A 33 L273.
- [55] Y. Nedjadi and R. C. Barrett, (1993), " On the properties of Duffin-Kemmer-Petiau equation.", J. Phys. G: Nucl. Part. Phys. 19 87-98.
- [56] R.F. Furnstahl, J.J. Rusnak, B.D. Serot, (1998), " The nuclear spin-orbit force in chiral effective field theories", Nucl. Phys. A 632 607.
- [57] K. Sogut and A. Havare, (2010), " Scattering of vector bosons by an asymmetric Hulthen potential", J. Phys. A: Math. Theor., 43 225204.
- [58] A. Okninski, (2011)," Supersymmetric content of the Dirac and Duffin-Kemmer-Petiau equations", Int. J. Theor. Phys. 50 729-736.
- [59] Junker, G., (1996), " Supersymmetric Methods in Quantum and Statistical Physics.", Springer, Berlin
- [60] Bagchi, B., (2000), " Supersymmetry in Quantum and Classical Mechanics", Chapman and Hall/CRC, Boca Raton
- [61] Cooper, F. et al., (1995), " Supersymmetry and quantum mechanics.", Phys. Rep. 251, 267–385
- [62] Lahiri, A., Roy, P.K., Bagchi, B., (1987), " Supersymmetry in atomic physics and the radial problem.", J. Phys. A 20, 3825.
- [63] Kostelecky, V.A., Nieto, M.M., (1985)," Evidence form alkali-metal-atom transition probabilities for a phenomenological supersymmetry.", Phys. Rev. A 32, 1293
- [64] Kostelecky, V.A., Nieto, M.M., (1984), " Evidence for a phenomenological supersymmetry in atomic physics." Phys. Rev. Lett. 53, 2285
- [65] Kostelecky, V.A., Nieto, M.M., (1985), " Supersymmetry and the relationship between the Coulomb and oscillator problems in arbitrary dimensions.", Phys. Rev. D 32, 3243.
- [66] Zarrinkamar, S., Rajabi, A. A, and Hassanabadi, H., (2011) , " Dirac Equation for a Coulomb Scalar, Vector and Tensor Interaction", Int. J. Mod. Phys. A 26 1011.
- [67] Zarrinkamar, S., Rajabi, A. A., and Hassanabadi, H., (2010) , "Dirac equation for the harmonic scalar and vector potentials and linear plus coulomb-like tensor potential"; the SUSY approach, Ann. Phys. (New York) 325 1720.

- [68] Zarrinkamar, S., Rajabi, A. A., and Hassanabadi, H., (2010), "Dirac equation in the presence of coulomb and linear terms in (1 + 1) dimensions", the supersymmetric approach, Ann. Phys. (New York) 325 2522.
- [69] Nikiforov, A. F. and Uvarov, V. B., (1988), " Special Functions of Mathematical Physics." Birkhaauser: Basel.
- [70] Dong, S. H., (2000)," A new approach to the relativistic Schrödinger equation with central potential: ansatz method", Int. J. Theor. Phys. 39, 1119.
- [71] Tezcan, C., Sever, R., (2009), " A general approach to solution of Schrödinger equation", Int. J. Theor. Phys. 48, 337.
- [72] Dong, S. H., (2011), " Wave Equations in Higher Dimensions", Springer.
- [73] Zarrinkamar, S., Hassanabadi, H., Rajabi, A. A. and Ghalandari, P., (2012), "A note on Poschll-Teller equation", Eur. Phys. J. Plus 127 56.
- [74] Agboola, D. and Zhang, Y. Z., (2012), " Quasi-exactly solvable relativistic soft-core Coulomb models", Ann. Phys. 327 2275-2287.
- [75] Zarrinkamar, S., Hassanabadi, H. and Rajabi, A. A., (2013) , " What is the most simple solution of Wheeler-DeWitt equation?", Astr. Spac. Sci. 343 391.
- [76] Zarrinkamar, S., Hassanabadi, H. and Rajabi, A. A., (2013), " On the non-canonical noncommutative Wheeler-Dewitt equation for Schwarzschild and Kantowski-Sachs black holes", Astr. Spac. Sci. DOI: 10.1007/s10509-012-1329-6.
- [77] Zarrinkamar, S., Rajabi, A. A., and Hassanabadi, H., (2012), "The Schrodinger Equation under a q-deformed Morse plus Coulomb interaction", 15th Physical Chemistry Conference, Tehran University, Tehran.
- [78] Hassanabadi, H., Zarrinkamar, S., and Rajabi, A. A., (2013), "A simple efficient methodology for Dirac equation in minimal length quantum mechanics", Phys. Lett. B 718 1111.
- [79] Zarrinkamar, S., Rajabi, A. A., Hassanabadi, H., and Rahimov, H., (2011), "Analytical treatment of the two-body spinless Salpeter equation with the Hulthén potential", Phys. Scr. 84 065008.
- [80] Hassanabadi, S., Rajabi, A. A., and Zarrinkamar, S., (2012), "Cornell and Kratzer Potentials Within the Semi-relativistic Treatment", Mod. Phys. Lett. A 27 1250057.
- [81] Zarrinkamar, S., Rajabi, A. A., and Hassanabadi, H., (2012), "Solutions of the Two-Body Salpeter Equation Under an Exponential Potential for Any l-State", Few-Body Sys. 52 165.

- [82] Zarrinkamar, S., Rajabi, A. A., Yazarloo, B. H., and Hassanabadi, H., (2013), "the Soft-core Coulomb potential in the semi-relativistic two-body basis", Few-Body Sys. 10.1007/s00601-012-0527-7.
- [83] Zarrinkamar, S., Rajabi, A. A., and Hassanabadi, H., (2012), "The exponential potential within a semi-relativistic two-body formulation via Nikiforov-Uvarov technique, 15th hysical Chemistry conference", Tehran university, Tehran, Iran.
- [84] Yazarloo, B. H., Hassanabadi, H., Zarrinkamar, S., and Rajabi, A. A., (2011), "Duffin-Kemmer-Petiau equation under a scalar Coulomb interaction", Phys. Rev. C. 84 064003.
- [85] Zarrinkamar, S., Rajabi, A. A., Hassanabadi, H., and Rahimov, H., (2011), "DKP Equation Under a Vector HULTHÉN-TYPE Potential: AN Approximate Solution", Mod. Phys. Lett. A 26 1621.
- [86] Hassanabadi, S., Rajabi, A. A., Yazarloo, B. H., Zarrinkamar, S., and Hassanabadi, H., (2012), "Quasi-Analytical Solutions of DKP Equation under the Deng-Fan Interaction", AHEP 804652 doi:10.1155/2012/804652.
- [87] Hassanabadi, S., Rajabi, A. A., Zarrinkamar, S., and Hassanabadi, H., (2013), "DKP equation under vector and scalar Cornell interactions", Phys. Elem. Part. Nucl. Lett. Theor. 10 28.
- [88] Zarrinkamar, S., Rajabi, A. A., Yazarloo, B. H., and Hassanabadi, H., (2013), "An approximate solution of the DKP equation under the Hulthén vector potential", Chin. Phys. C.
- [89] Hassanabadi, h., Yazarloo, B. H., Zarrinkamar, S., Rajabi, A. A., (2013), "DKP equation under scalar and vector Cornell Interactions", accepted in Phys. Elem. Part. Nucl. Lett..
- [90] زرین کمر، صابر، رجبی، علی اکبر، حسن ابادی، حسن : معادله دی کی پس تحت یک پتانسیل برداری نمایی، دومین کنفرانس سالیانه ذرات بنیادی و میدان ها ، دانشگاه سمنان، سمنان ۱۳۹۰ .
- [91] Roy, S., Hazarika, B. J., and Choudhury, D. K., (2012), "Isgur-Wise function for heavy-light mesons in the D-dimensional potential model", Phys. Scr. 86 045101.
- [92] Jugeau, F., et al., (2005), "Decays $\bar{B} \rightarrow D^{**}\pi$ and the Isgur-Wise functions $\tau_{1/2}(w)$, $\tau_{3/2}(w)$ ", Phys. Rev. D 72 094010.
- [93] CLEO Collab., Bartel, J., et al., (1999), "Measurement of the $B \rightarrow D\ell\bar{\nu}$ Branching Fractions and Form Factor", Phys. Rev. Lett. 82 3746.
- [94] CLEO Collab., Alexander, J. B., et al., Determination of $|V_{cb}|$ using the semileptonic decay $\bar{B}^0 \rightarrow D^{*+} e^- \bar{\nu}_e$

[95] BELLE collab, Abe, K., et al., (2002), "Measurement of $\mathcal{B}(\bar{B}^0 \rightarrow D^+ \ell^- \bar{\nu})$ and determination of $|V_{cb}|$ ", Phys Lett B 526 258.

[96] Ebert , D., et al., (2007), "New analysis of semileptonic B decays in the relativistic quark model", Phys.Rev.D75 074008.

Abstract

The potential model is still one of the most challenging models in theoretical nuclear and particle physics. The most important, and probably the most difficult part ingredient of model, is to obtain the solutions of the equation under a successful potential. Till now, many works have been done on the famous equations of nonrelativistic and relativistic quantum mechanics, namely the Schrödinger, Dirac and Klein-Gordon equations. Within this thesis, we will consider the DKP and spinless Salpeter equations which have not sufficiently discussed despite their interesting structures. The former is capable of investigating both spin-zero (which is our topics) and spin-one particles. The second equation, which is derived from the Bethe-Salpeter equation after some approximations, has a semi-relativistic nature and will be introduced in a two-body basis. We first solve these equations by pure-analytical techniques under successful phenomenological potentials including exponential, coulomb, Hulthen, Woods-Saxon, Yukawa and Cornell, and thereby investigate some spin-zero bosons.

Keywords: DKP equation, sapinless Salpeter equation, two-body system, potential model.